

Bauphysikalische Prozesse vs. Schadensprozesse

DI Tobias Steiner



Bauphysikalische Prozesse vs. Schadensprozesse

- ■Relevante Prozesse
- ■Komponente Zeit
- Auffeuchtungsverhalten und Trocknungsverhalten von Baustoffen und Konstruktionen



Übersicht

- •Allgemeines
- ■Porenstruktur von Baustoffen und ihre Eigenschaften
- Verwitterungsprozesse
- Kondensationsprozesse
- Befeuchtungsprozesse
- Deformationsprozesse



Allgemeines

- Schädigungsprozesse in und an Baustoffen
- Ursachen von Feuchteanreicherung in Bauteilen
- Hygrische Prozesse in und an Außenwandkonstruktionen
- ■Schadensschwerpunkte



Übersicht über Schädigungsprozesse in und an Baustoffen

- Hygrische Einwirkungen
- ■Thermische Einwirkungen
- Statische Einwirkungen
- ■Einwirkung aus Herstellung und Gebrauch



- Hygrische Einwirkungen
 - Luftfeuchtigkeit
 - Kapillarwasser
 - Kondenswasser



- **■**Thermische Einwirkungen
 - Hitze
 - Kälte
 - ■Frost



- **■**Statische Einwirkungen
 - Belastung aus Eigengewicht
 - ■Belastung aus Auflast
 - ■Belastung aus Wind



- Einwirkungen aus Herstellung und Gebrauch
 - Heizung
 - Reinigung
 - Wurzelsprengung
 - Beschädigung
 - ■Falsche Materialwahl



Chemische Schädigungen

- Schadstoffbelastung
- Bindemittellösung
- Bindemittelumwandlung
- Salzschädigung



Biologische Schädigungen

- Mikro-Organismen
- Algen und Flechten
- Schimmelpilz
- ■Pilze



Ursachen von Feuchteanreicherung in Bauteilen

- Oberflächenkondensat
- Kernkondensation
- Hygroskopische Feuchteanreicherung
- Feuchtigkeit aus Bewitterung
- Feuchtigkeitszufuhr durch aufsteigende Feuchtigkeit



Oberflächenkondensat

- Taupunktunterschreitung
- ■Überhöhte Feuchteproduktion
- Geringe Lüftung
- Geringe Wärmedämmwerte
- Wärmebrücken
- Verminderung der Wärmedämmung durch Baufehler (Durchfeuchtung, Lufteintritt)



Kernkondensation

- Taupunktunterschreitung in Bauteilen
- Ungünstige Baustoffauswahl
- •Ungünstiger Schichtenaufbau
- Luftkonvektion in Bauteile hinein
- Dampfdichte Beschichtungen
- ■Fehlende Hinterlüftung



Hygroskopische Feuchteanreicherung

- Hygroskopische Stoffe
- salzhaltige Materialen
- Einwanderungen von hygroskopischen Stoffen durch Bewitterung, Bodenfeuchtigkeit und Nutzungsprozesse
- Kapillarkondensation



Feuchtigkeit aus Bewitterung

- Schlagregenbelastung
- Windbelastung
- •geringe Besonnung
- schlechte Feuchtigkeitsabgabe
- •ungeeignete Oberflächensysteme (keine wasserabweisenden bzw. wasserhemmenden Oberflächenschichten)

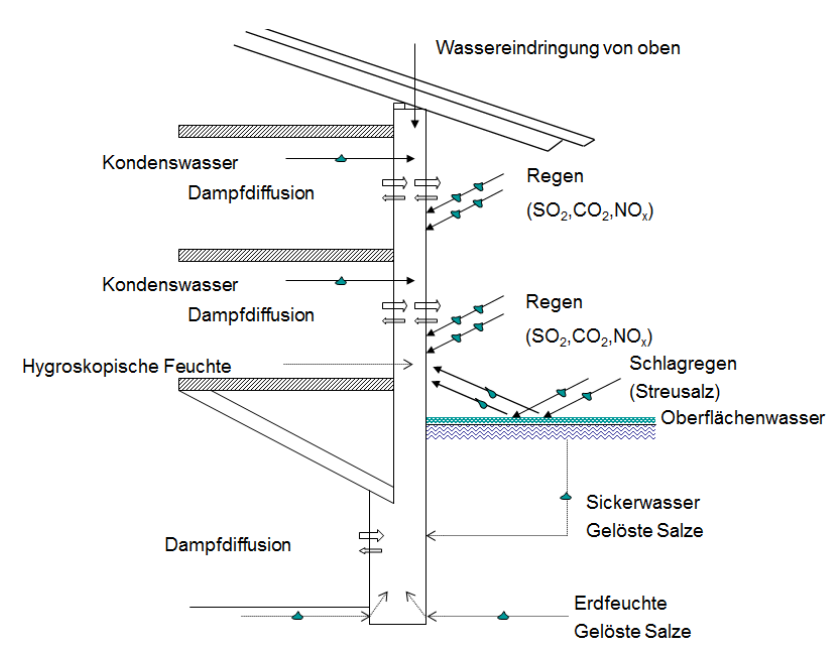


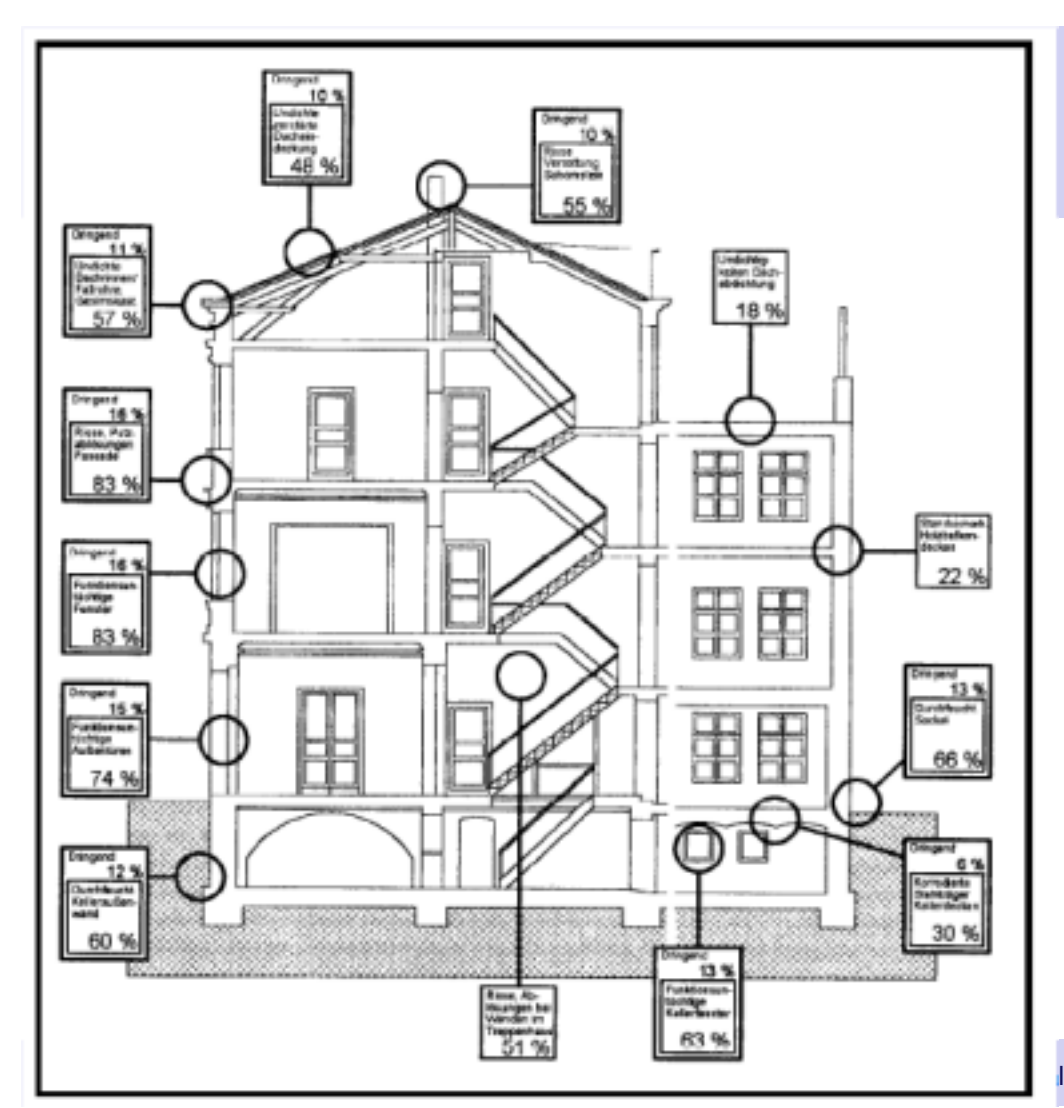
Feuchtigkeitszufuhr durch aufsteigende Feuchtigkeit

- keine oder defekte Feuchtigkeitssperren
- •hohe Bodenfeuchtigkeit
- Belastung durch zeitweise drückendes Wasser oder drückendes Wasser
- •Hangwasser



Hygrische Prozesse in und an Außenwandkonstruktionen

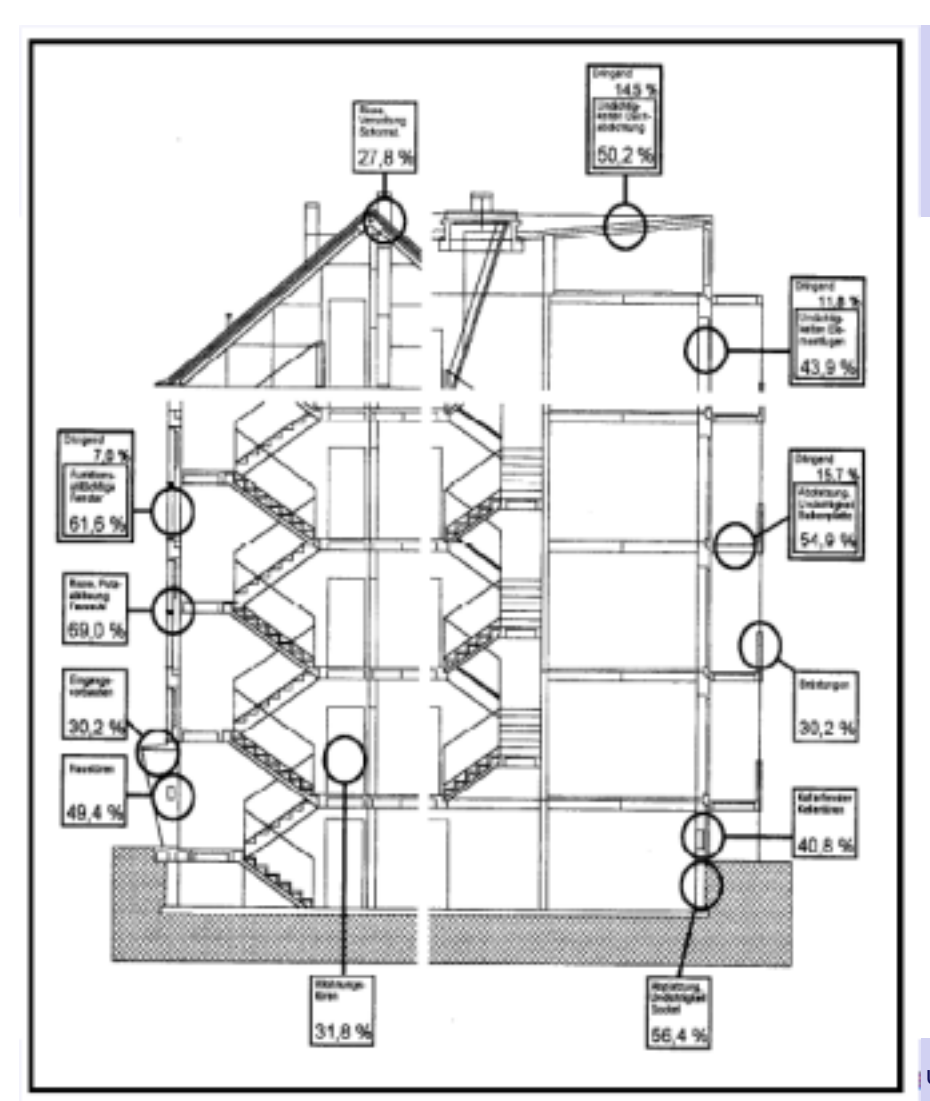






Schadensschwerpunkte am nicht industriell errichteten Mehrfamilienhaus (bis 1960),

Quelle: AlBAU





Schadensschwerpunkte an den Wohnungen in Fertigteilbauweise Quelle: AIBAU



Übersicht

- •Allgemeines
- ■Porenstruktur von Baustoffen und ihre Eigenschaften
- Verwitterungsprozesse
- Kondensationsprozesse
- Befeuchtungsprozesse
- Deformationsprozesse



Porenstruktur von Baustoffen und ihre Eigenschaften

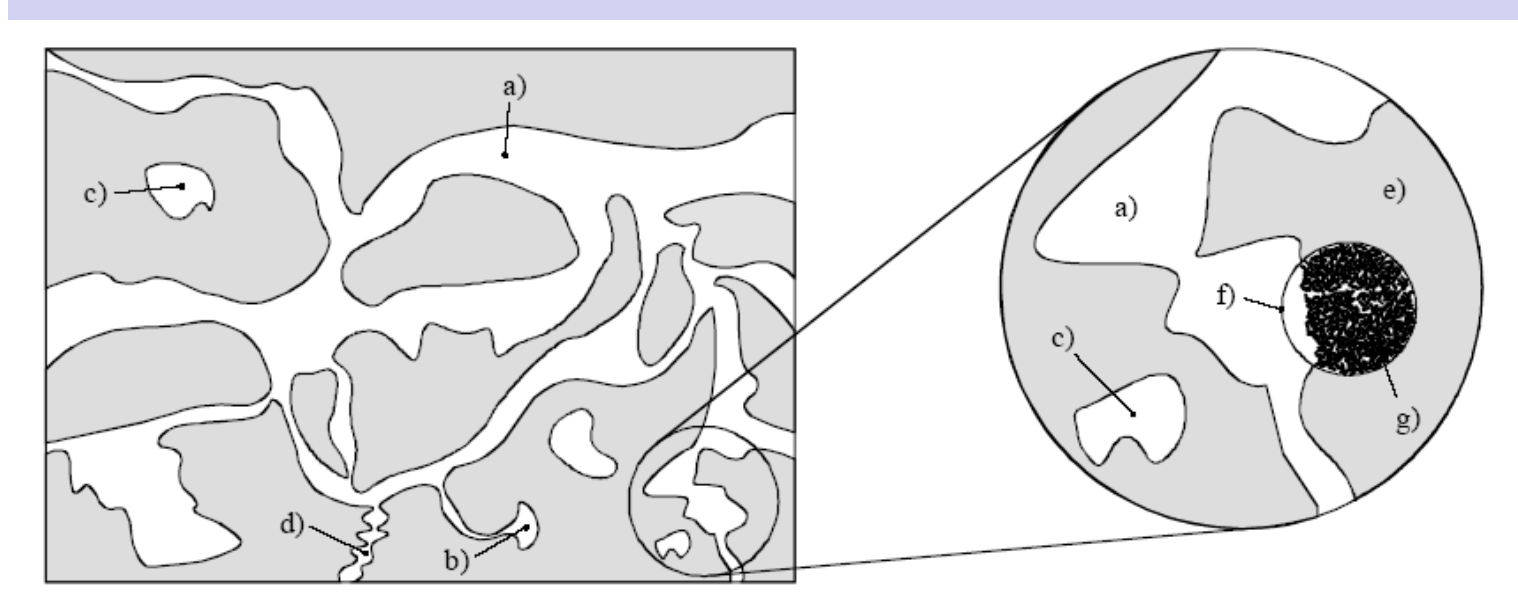
- Hygroskopische Feuchtigkeit
- Transportmechanismen
- Einfluss von Salzen auf den Feuchtehaushalt
- Praktischer Feuchtigkeitsgehalt von Baustoffen
- Kapillare Eigenschaften
- Wasseraufnahmekoeffizient
- Wassereindringkoeffizient



Porenstruktur von Baustoffen und ihre Eigenschaften

- Wasserkapazität
- Kritischer Feuchtigkeitsgehalt
- maximaler Wassergehalt
- Trocknungsverlauf
- Wasserdampfdiffusion durch poröse Baustoffe
- ■Bestimmung der Wasserdampfdurchlässigkeit



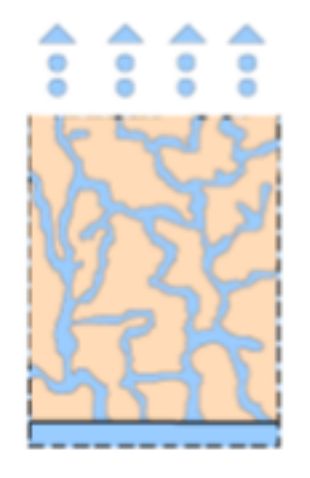


- a) Makropore (offene Pore)
- b) Sackpore
- c) isolierte Pore

- d) "Ink-Bottle"-Pore
- e) Baustoffgerüst (Strukturverband)

- f) Vergrößerungsausschnitt
- g) Mikroporen (Gelporen, ca. 10.000-fach vergrößert)



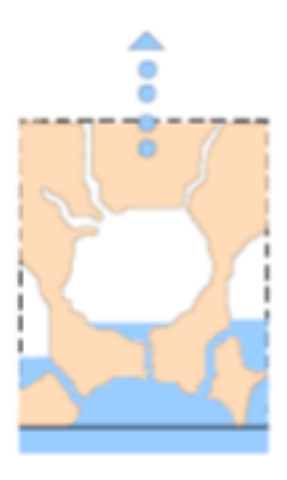


Α

großes Wasseraufnahmevermögen

großes Feuchtigkeitsabgabevermögen

z.B.: Ziegel, Gips



В

großes Wasseraufnahmevermögen

geringes Feuchtigkeitsabgabevermögen

z.B.: Gasbeton



С

geringes Wasseraufnahmevermögen

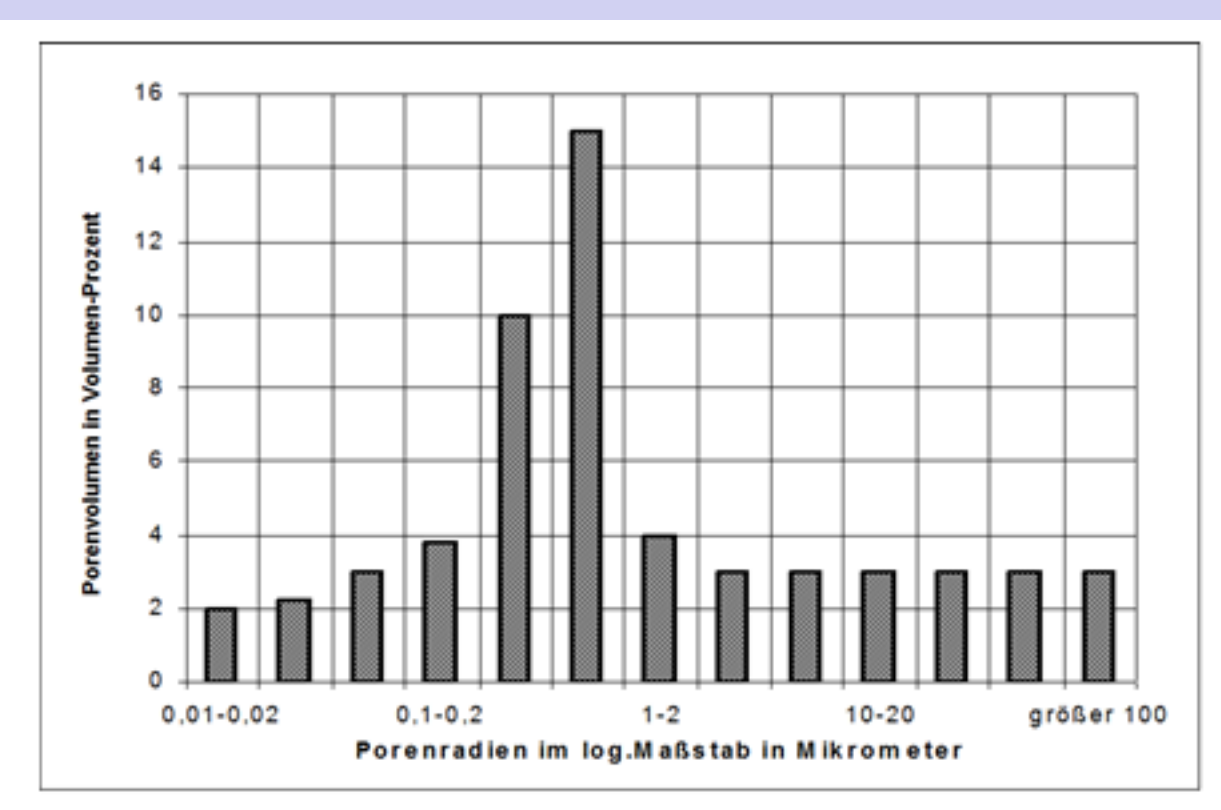
geringes Feuchtigkeitsabgabevermögen

z.B.: Schwerbeton, Blähbeton



Porenradienverteilung von Ziegel

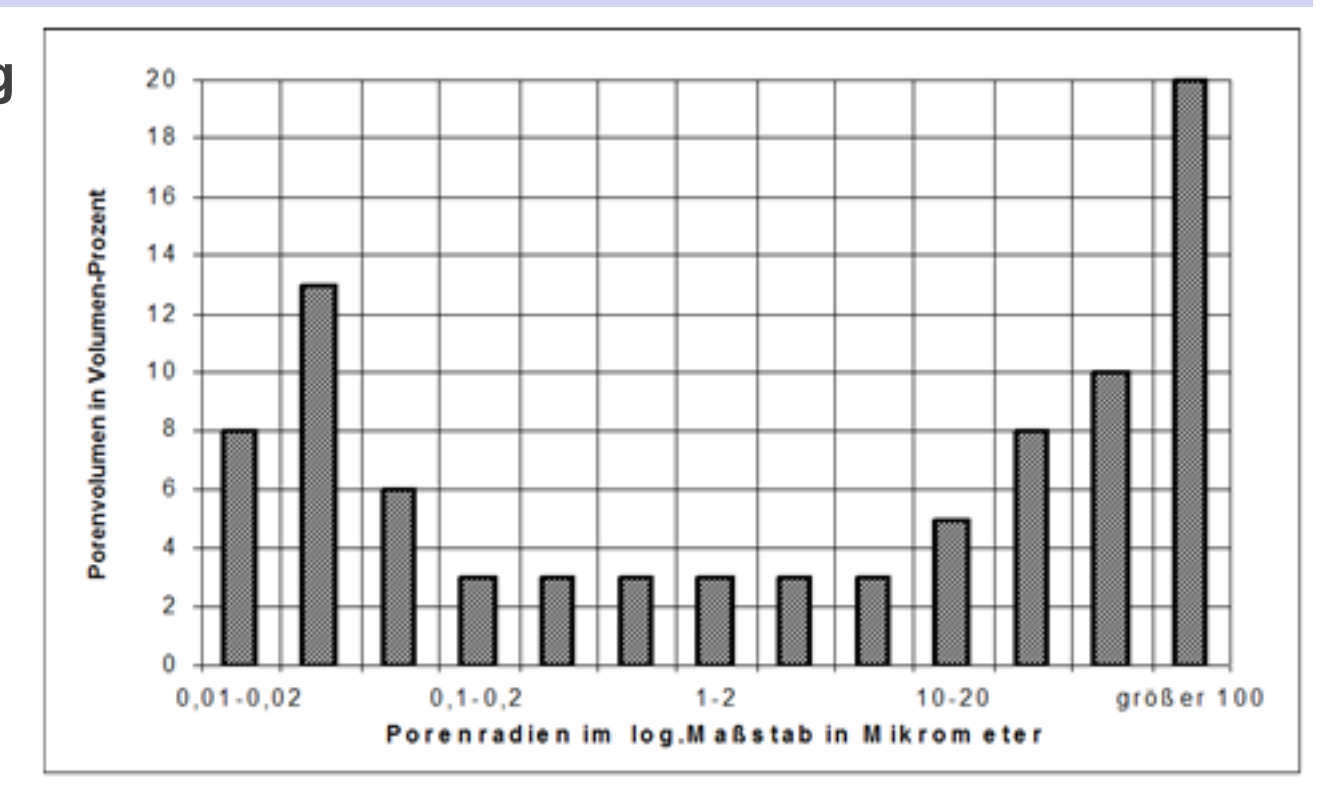
Kapillarer Wassertransport





Porenradienverteilung von Porenbeton

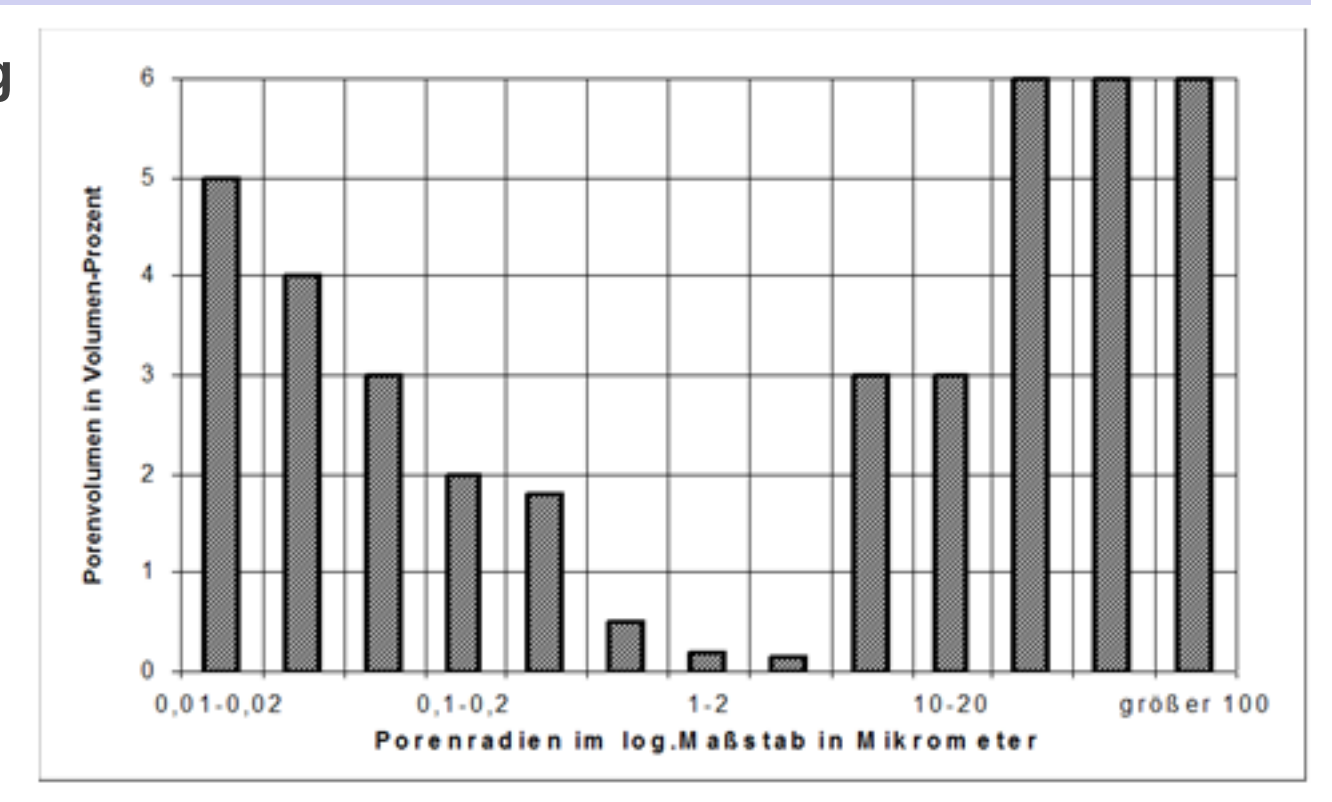
- Sorption
- Regenaufnahme



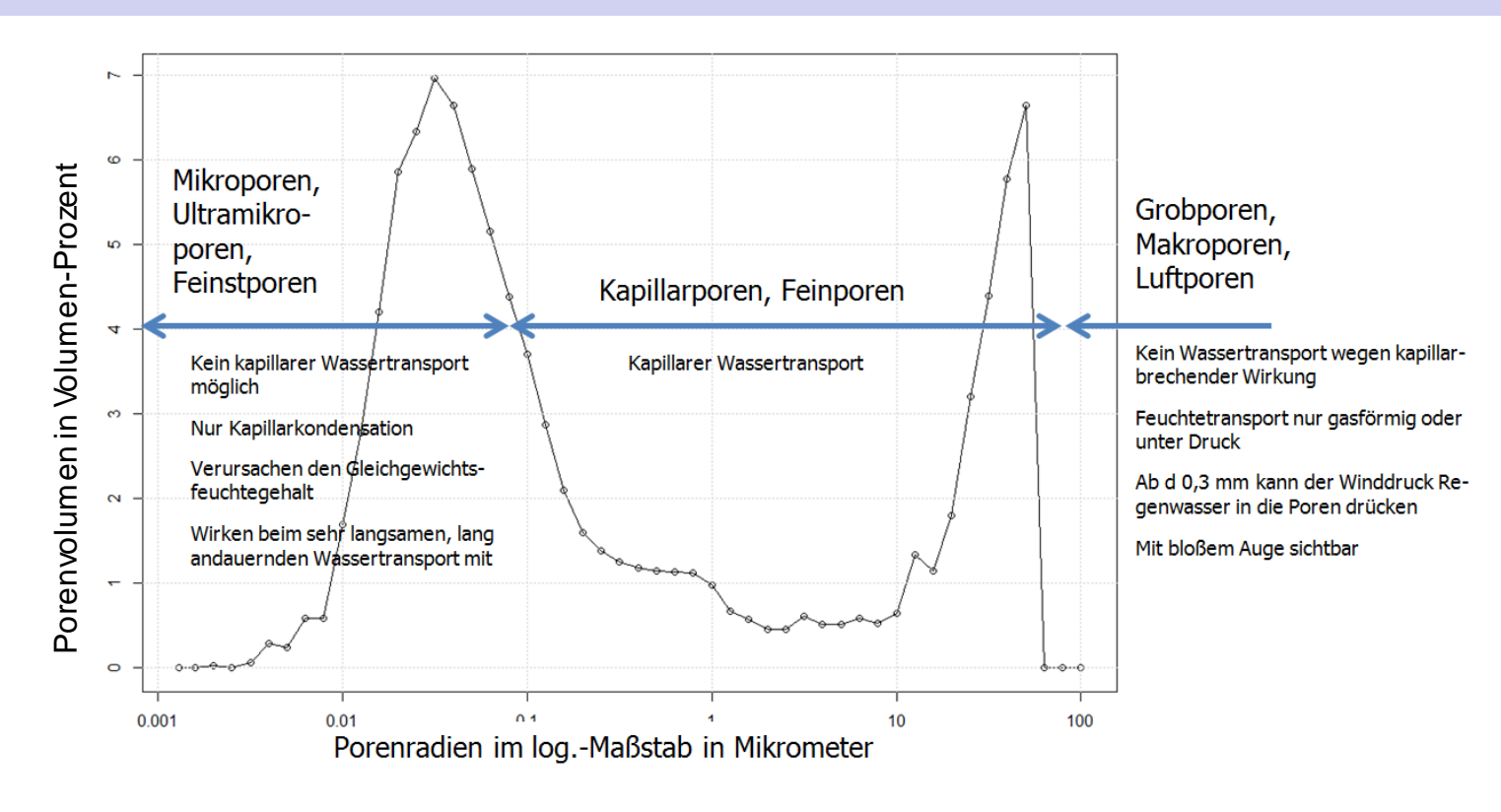


Porenradienverteilung von Kalksandstein

- Sorption
- Regenaufnahme

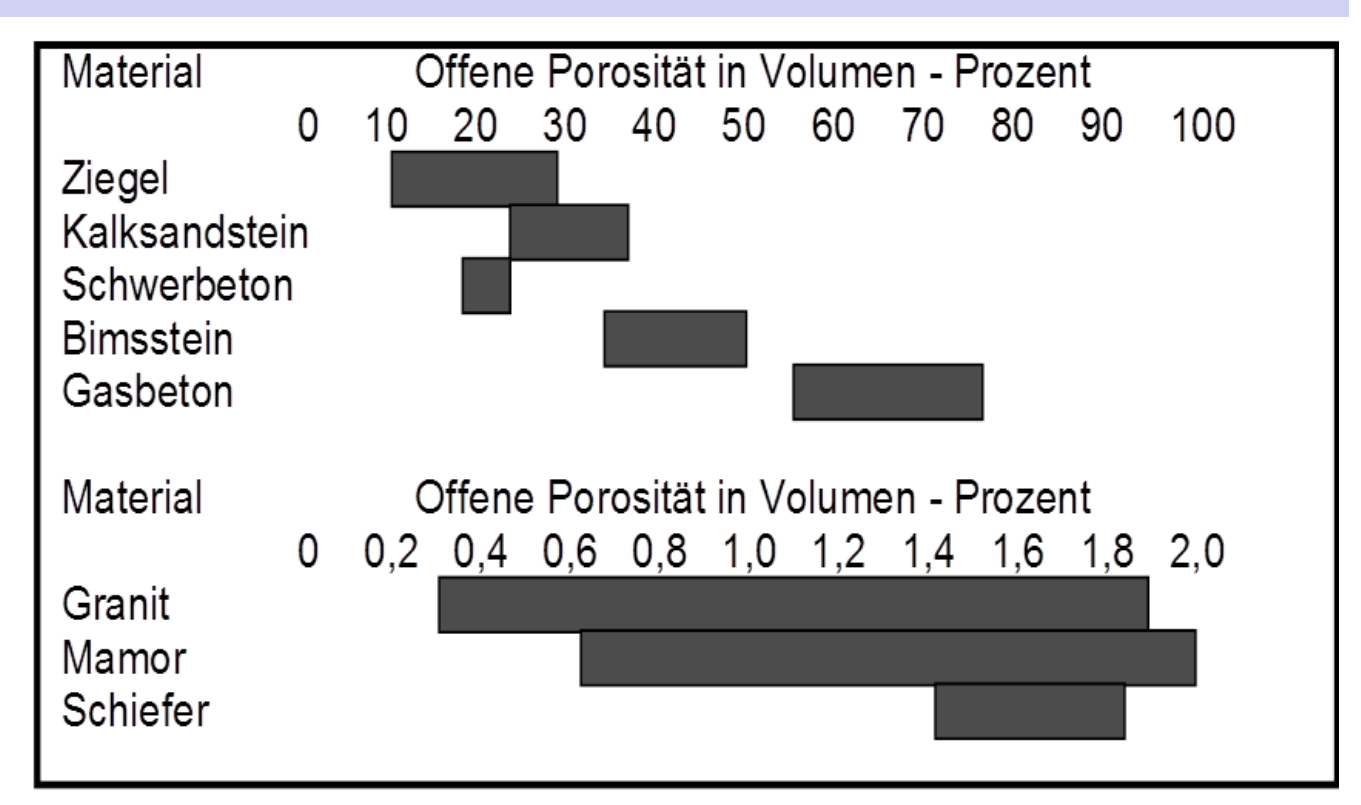








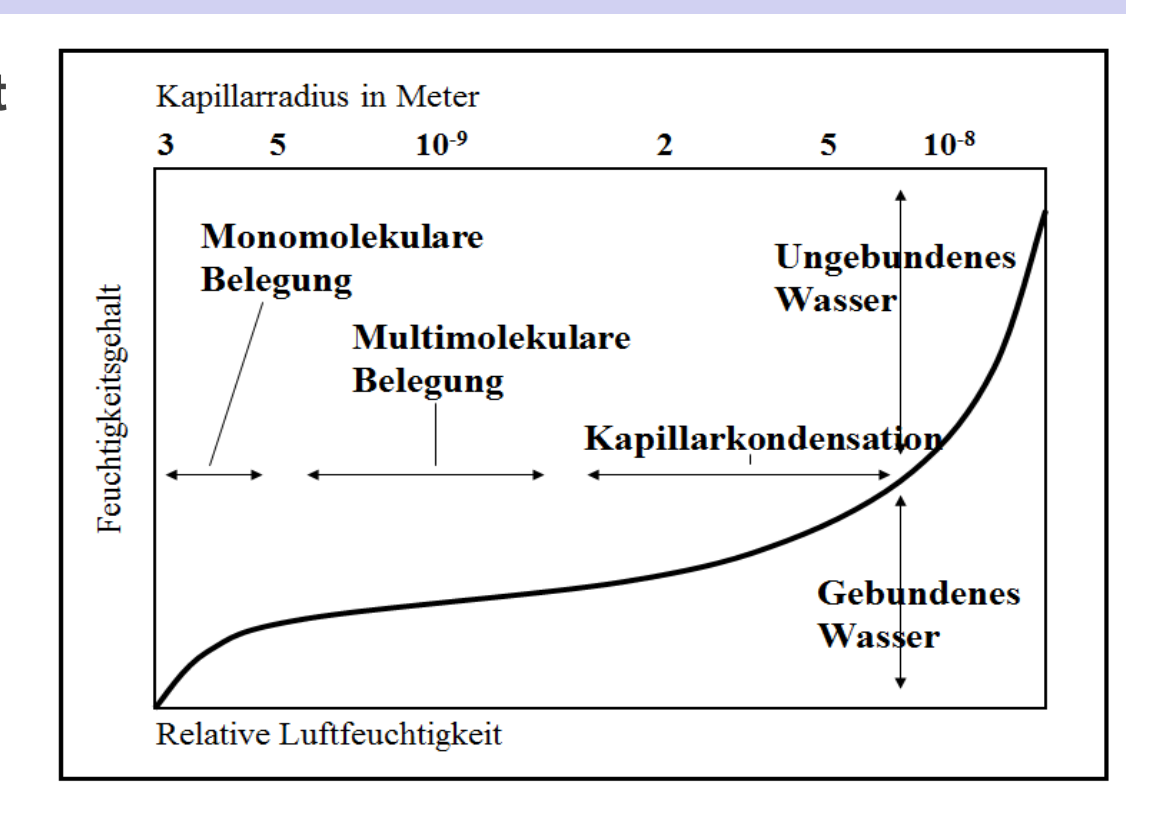
Offene Porosität unterschiedlicher Materialien





Hygroskopische Feuchtigkeit

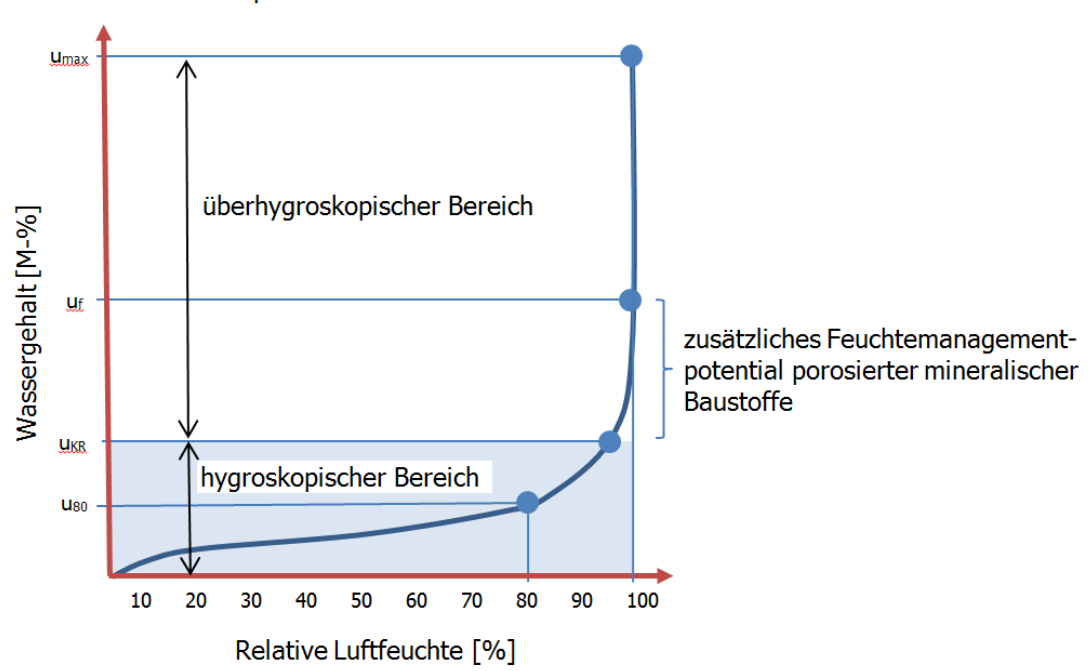
- Kapillarkondensation
- Sorptionsprozesse
- Adsorption
- Hydratation





Sorptionsisotherme

Schematische Darstellung einer typischen Sorptionsisotherme eines porosierten mineralischen Baustoffs

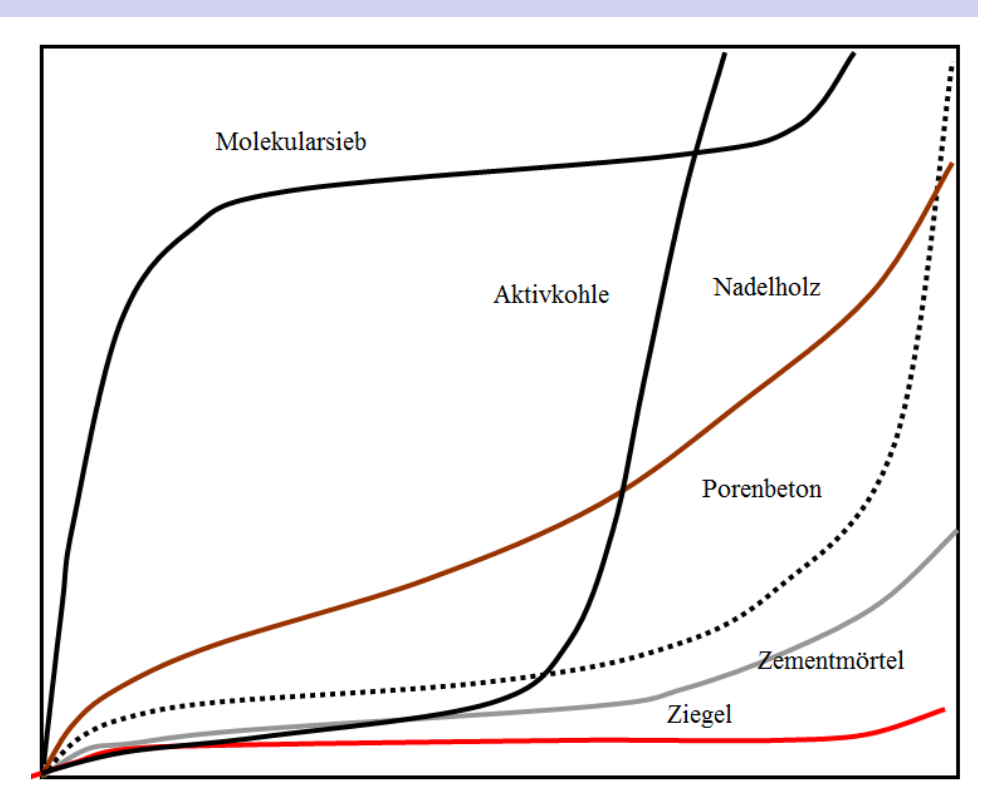




Sorptionsisotherme

- Zementmörtel
- •Mauerziegel
- Porenbeton

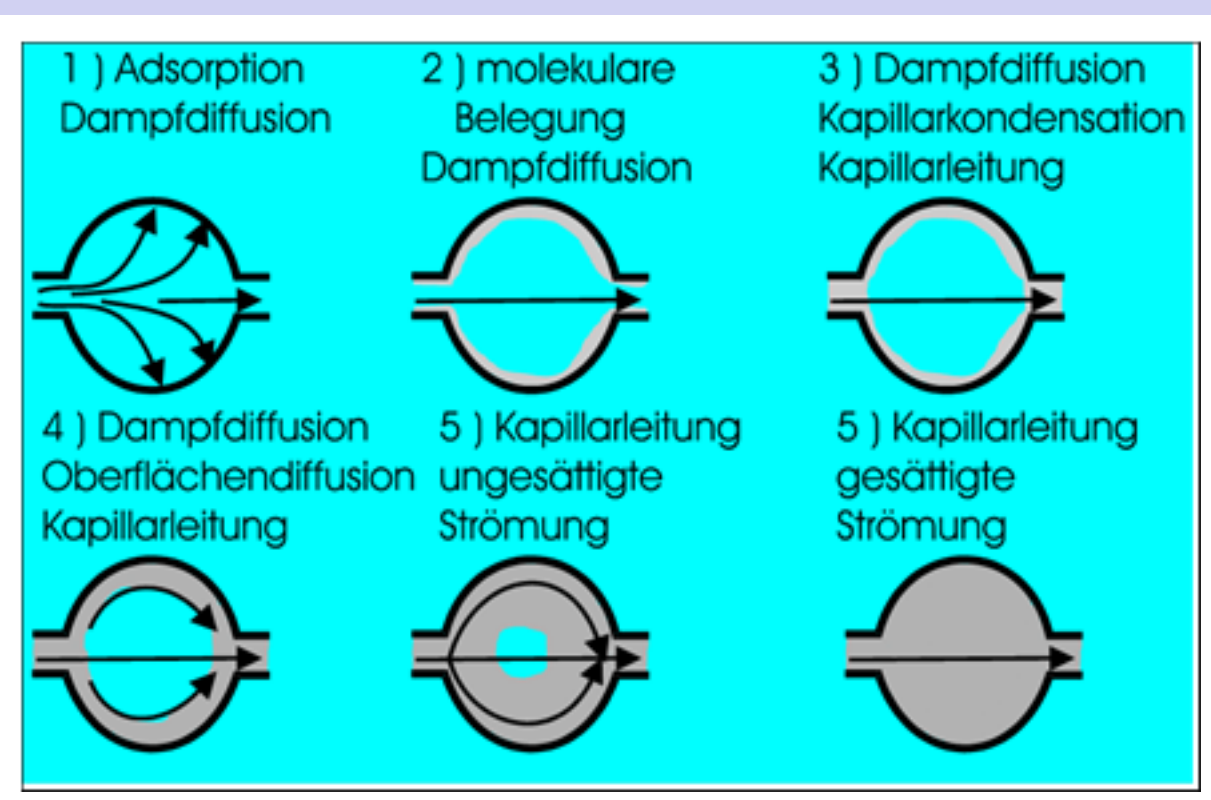
im Vergleich zu zwei Stoffen mit monodispersen Porensystemen (= eine Größenklasse)





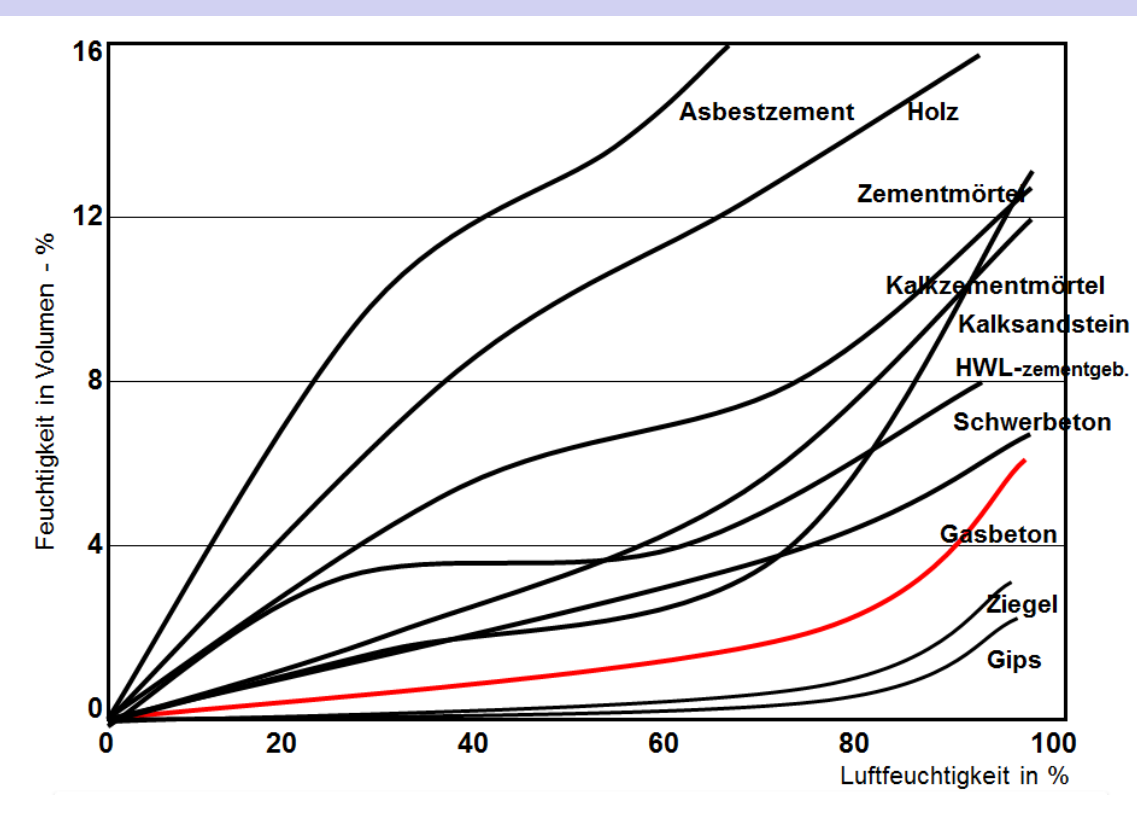
Sorptionsstadien & Transportmechanismen

Darstellung der Sorptionsstadien und Der Transportmechanismen bei zunehmender Befeuchtung eines porösen Stoffes



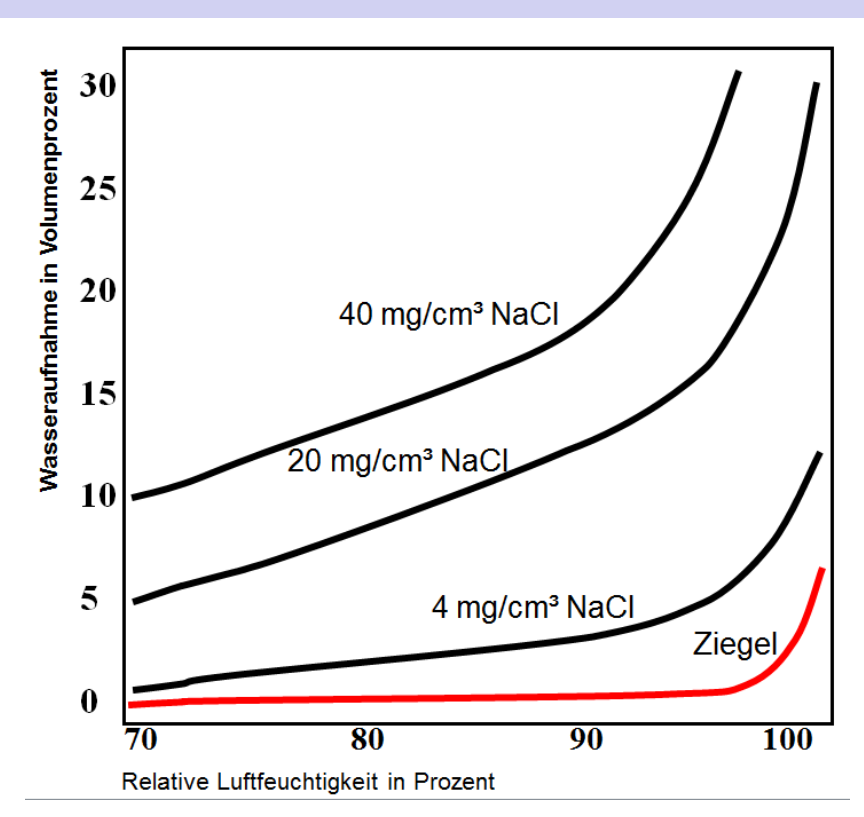


Feuchtigkeitsgleichgewichtszustände Sorptionsisotherme





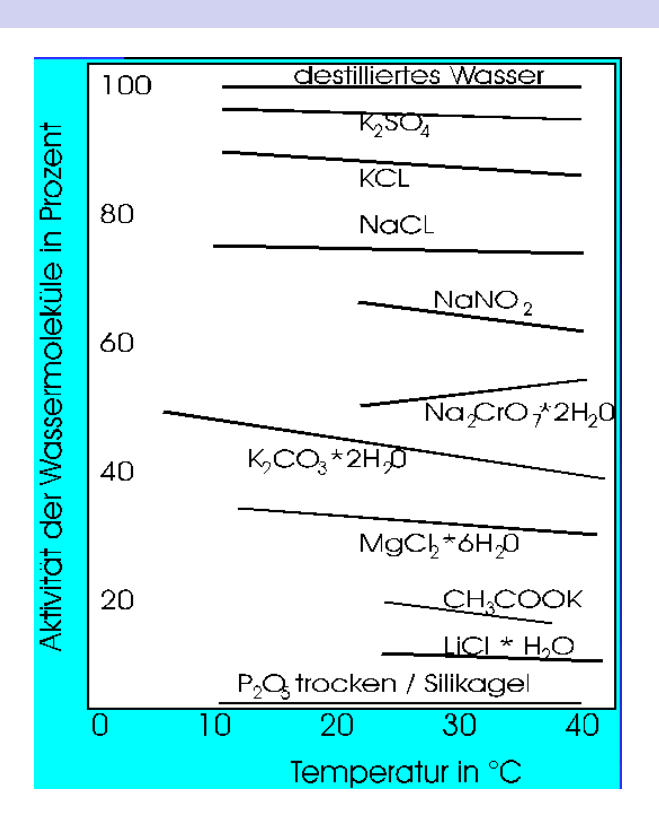
Einfluss von Salzen auf den Feuchtigkeitshaushalt





Aktivität von Salzen

Salze können Wasser anlagern und Lösungen bilden. Je geringer das Aktivitätsniveau ist, umso stärker ist der hygroskopische Effekt





Hygroskopische Eigenschaften von Salzen

Salz	Löslichkeit g /100 ml	Aktivität - ab einer rel. LF
Na2CO3 * 10 H2O		
Soda	21	92
Na2SO4 * 10 H2O		
Glaubersalz	11	87
NaCl		
Kochsalz	36	75
Mg(NO3)2 * 6 * H2O		
Magnesiumnitrat	125	53
Ca(NO3)2 * 4 * H2O		
Calciumnitrat	266	50
K2CO * 2 * H2O		
Pottasche	147	43
MgCI * 6 * H2O	<u> </u>	·
Nagnesiumclorid	167	33
CaCl * H2O		
Calciumclorid	75	29



Hygroskopische Wasseraufnahme von Ziegelsteinen mit und ohne Versalzung

Hygroskopische Wasseraufnahme von Ziegelsteinen mit und ohne Versalzung					
	Versalzungs-	Wasseraufnahme in M-%			
Salzart	grad in mg/g Ziegel	20 Tage 20 Tage 20 Tage 180 Tag 65%r.F. 86%r.F 97%r.F 83%r.F			
		0,1 0,2 0,3 0,3			
NaCl	29	1,0	5,5	9,3	9,5
NaCl	43	1,6 6,2 11,1 13,2			
MgSO ₄	55	2,3	3,1	4,1	4,5
MgSO ₄	28	1,3	2,8	2,2	2,9
Ca(NO ₃) ₂	82	5,1 7,2- 10,8 12,3			
Ca(NO ₃) ₂	107	5,2	9,4	12,1	12,5



Praktischer Wassergehalt nach Cammerer

Material	Wassergehalt in Volumen-Prozent
Vollziegelwände	1,0 - 2,5
Hohlziegelwände	1,5 - 4,0
Kalksandstein	3,5 - 13,0
Bimsbaustoffe	3,5 - 13,0
Gas- u. Schaumbeton	3,5 - 13,0
Kies- u. Splittbeton	3,5 - 13,0
Innenputze	1,0 - 10,0
Außenputze	1,0 - 7,0

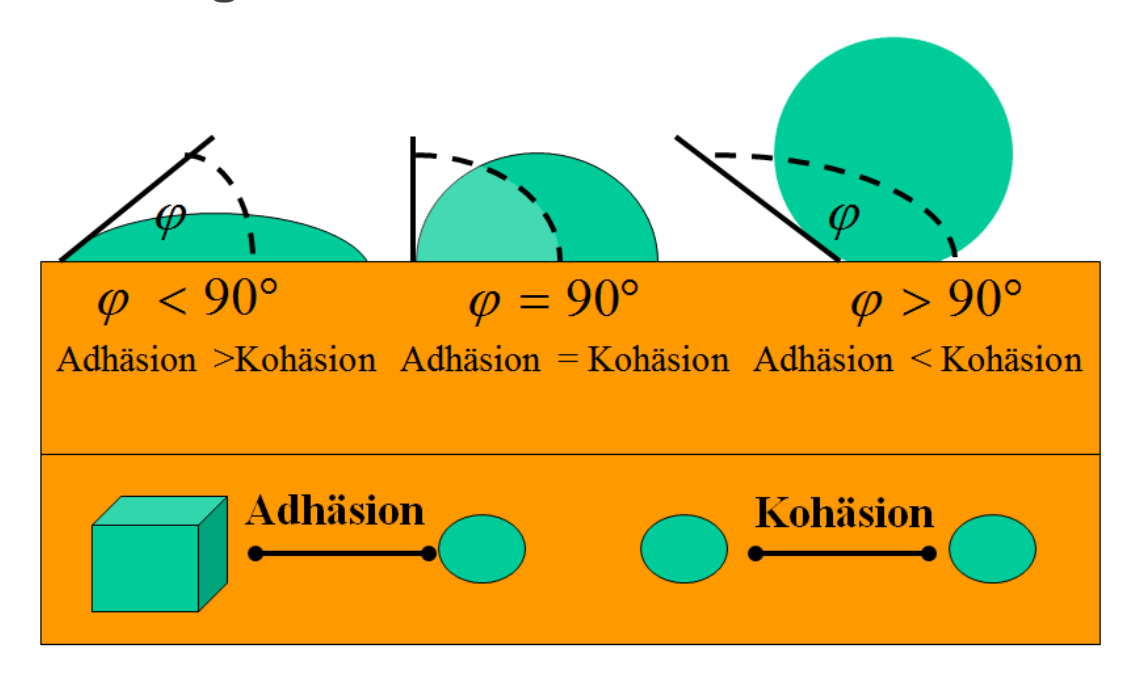


Praktische Feuchtigkeitsgehalte von Baustoffen

Baustoffe	Feuchtegehalt in V - %	Feuchtegehalt in M - %
Ziegel	1,5	-
Kalksandstein	5	-
Beton mit dichten Zuschlägen	5	-
Beton mit porigen Zuschlägen	15	-
Leichtbeton	5	-
Porenbeton	3,5	-
Gips, Anhydrit	2	-
Gußasphalt, Asphaltmastix	0	0
Mineralische Faserdämmstoffe	-	1,5
Schaumglas	0	0
Holz und Holzwerkstoffe	-	15
Schilfrohrmatten, Organische Dämmstoffe.	-	15
Pflanzliche Faserdämmstoffe	-	15
Korkdämmstoffe	-	10
Schaumkunststoffe (Polystyrol,Polyurethan)	-	5



Verhalten von Flüssigkeit an der Oberfläche von Baustoffen





Verhalten von Flüssigkeit an der Oberfläche von Baustoffen



Messgerät DAS 100 ,Krüss'



Wassertropfen auf behandelter Ziegelprobe



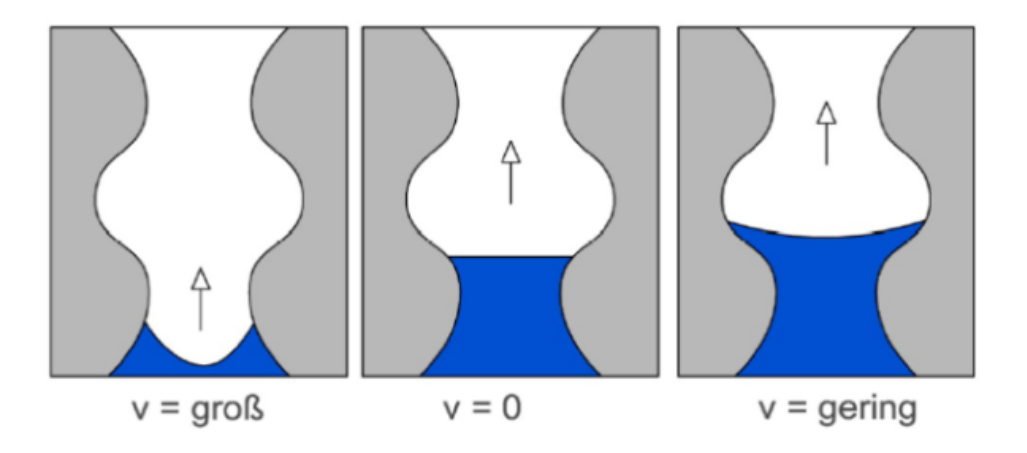
Dosiersystem setzt Tropfen mit definiertem Volumen ab



Flüssigkeit - Feststoff

Oberflächenspannung, Rauhigkeit, Porosität,

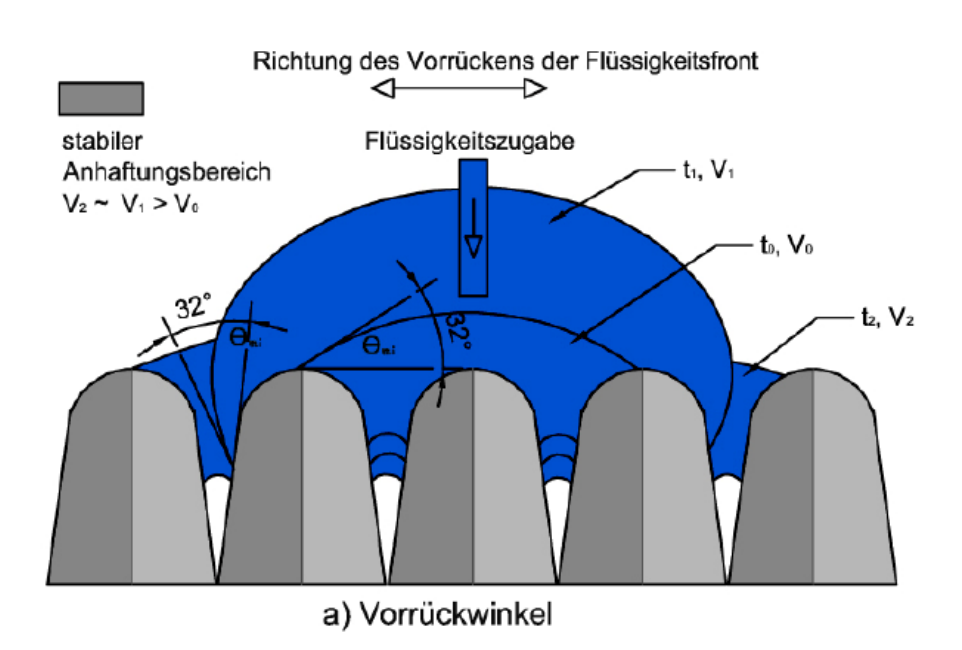
Kapillarität, Homogenität, Chemische Zusammensetzung, ...



Kapillare Steiggeschwindigkeit bei unterschiedlicher Neigung der Kapillarwand



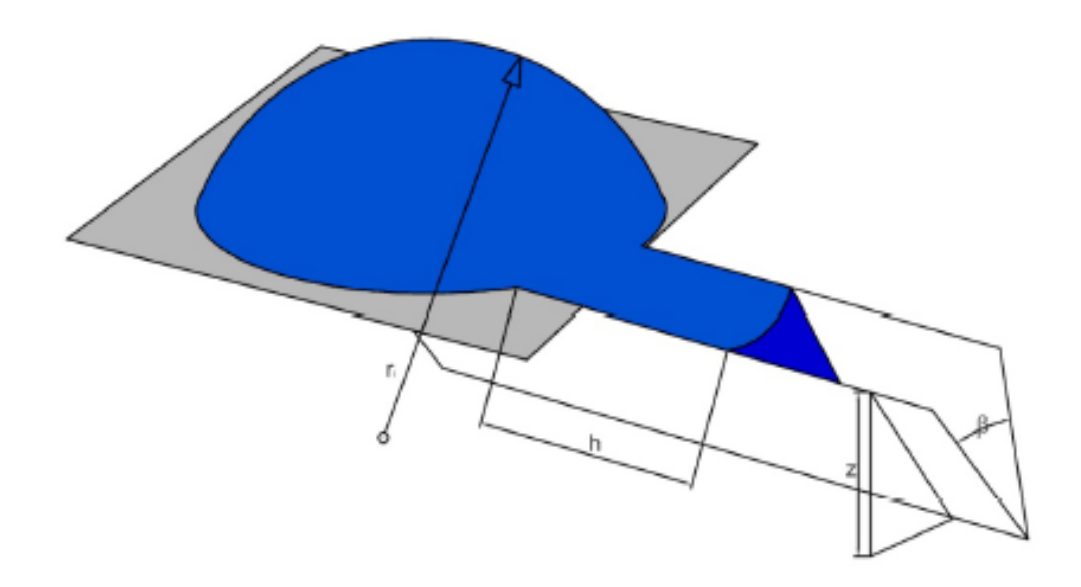
Flüssigkeit - Feststoff



Rauhigkeitseinflüsse auf den makroskopischen Vorrückwinkel



Flüssigkeit - Feststoff





Kapillare Kraft- und Druckverhältnisse und Steighöhe

Kapillarkraft

$$F_{kapillar} = 2 \cdot \pi \cdot r_{kapillar} \cdot \sigma \cdot \cos(\theta)$$

9 – Benetzungswinkel

 σ – Oberfläche nspannung

Kapillardruck

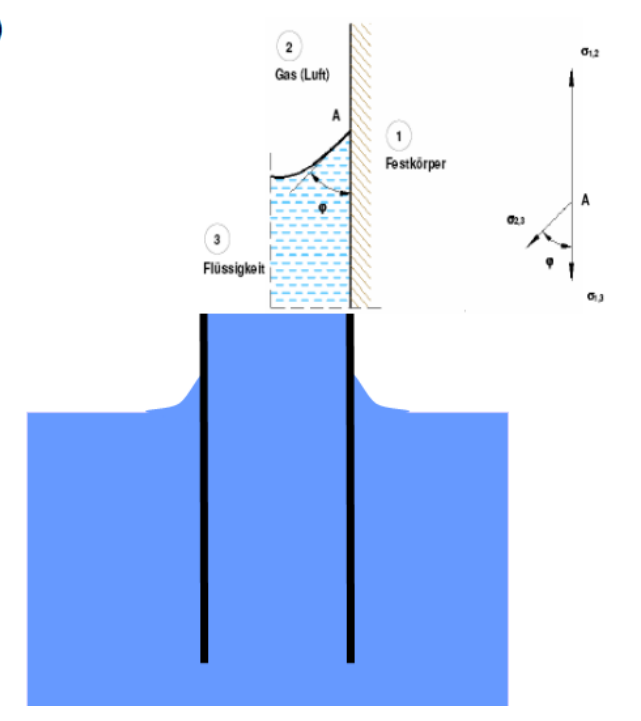
$$p_{\textit{kapillar}} = \frac{2 \cdot \sigma \cdot \cos(\theta)}{r_{\textit{kapillar}}}$$

Kapillare Steighöhe

$$h_{kapillar} = \frac{2 \cdot \sigma \cdot \cos(\vartheta)}{r_{kapillar} \cdot \rho \cdot g}$$

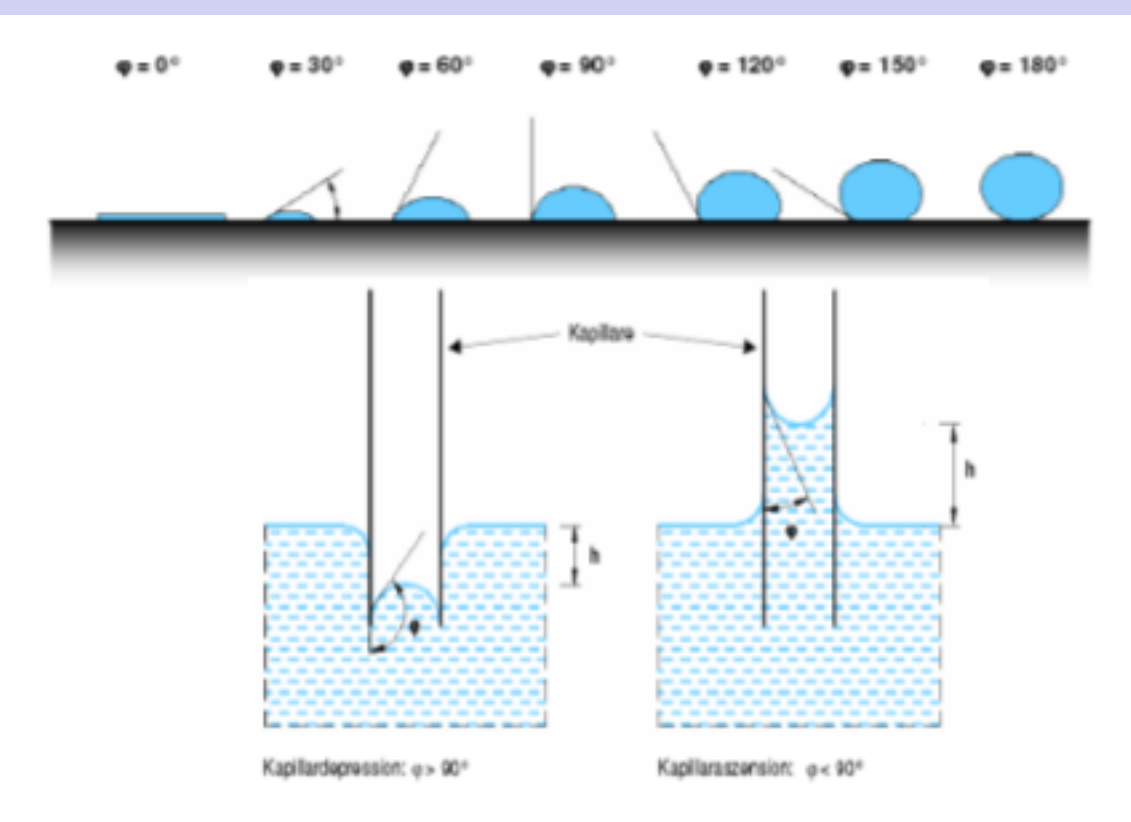
 ρ – Dichte des Wassers

g – Erdbeschle unigung



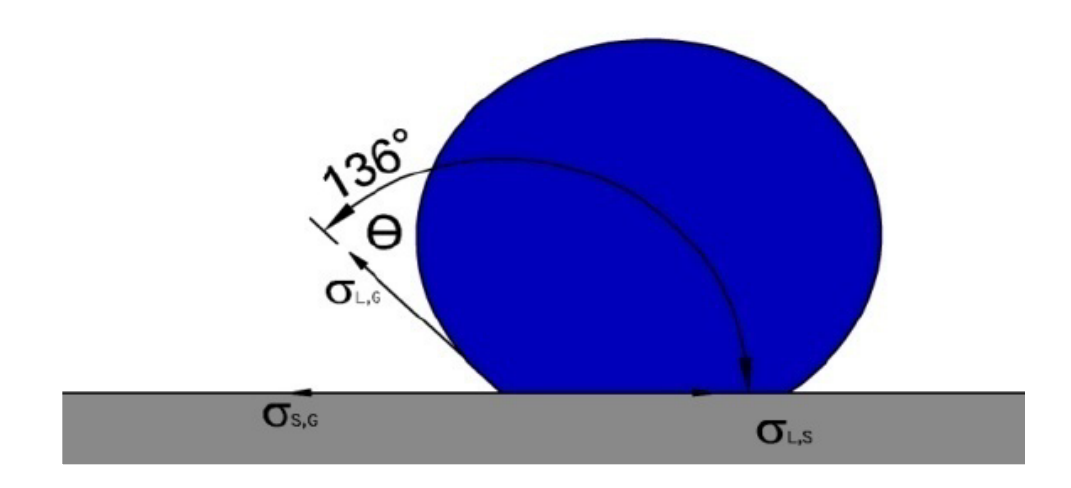


Kapillare Kraft- und Druckverhältnisse und Steighöhe





Statische Messung





Dynamische Messung

Vorrückwinkel Flüssigkeit Luft Luft Festkörper Rückzugswinkel Flüssigkeit Luft Festkörper



Auswertung

- 1) Fotografische Erfassung des Tropfens
- 2) grafisch-mathematische Analyse der Tropfenkontur
- 3) mathematische Modelle zur Berechnung des Kontaktwinkels



Auswertung

146.5 · 146.6

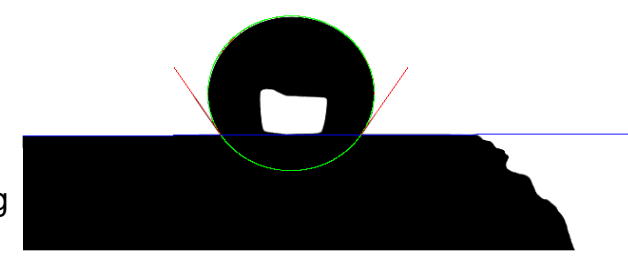
CA [L] 123.3 CA [R] 123.5



Anwendung des Kreissegmentverfahren zur Kontaktwinkelermittlung sinnvoll



Höchste Genauigkeit durch die Anwendung des Young-Laplace Verfahrens

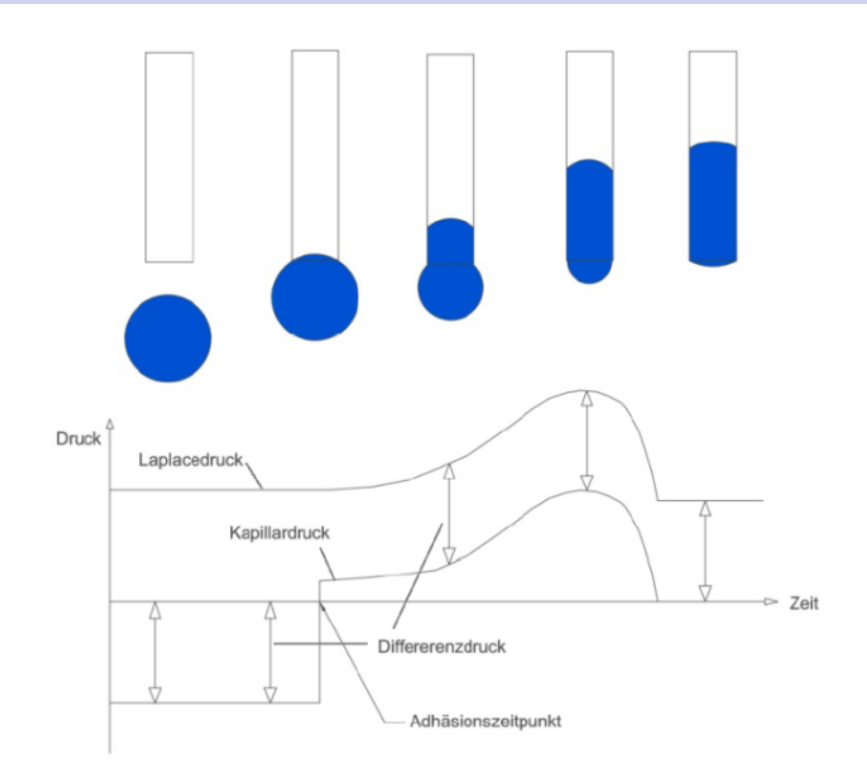


Auswertung anhand des Tangenten-, Höhen-Breiten- oder Young-Laplace-Verfahrens sinnvoll

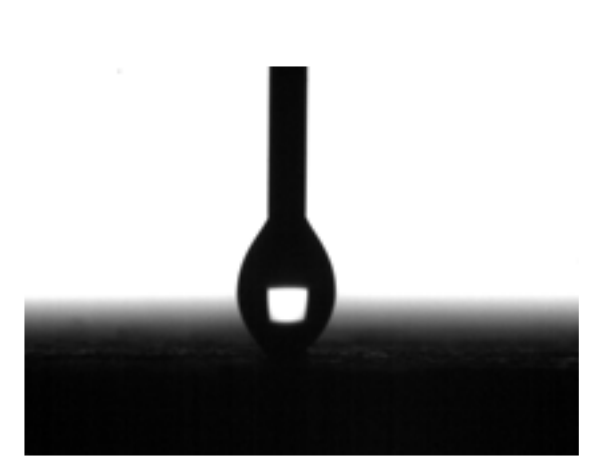


Kapillare Kraft- und Druckverhältnisse und Steighöhe

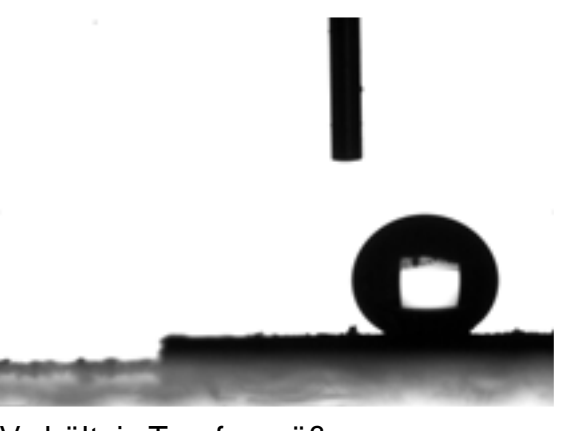
Druckverläufe beim Eindringen einer nicht benetzenden Flüssigkeit in eine Kapillare



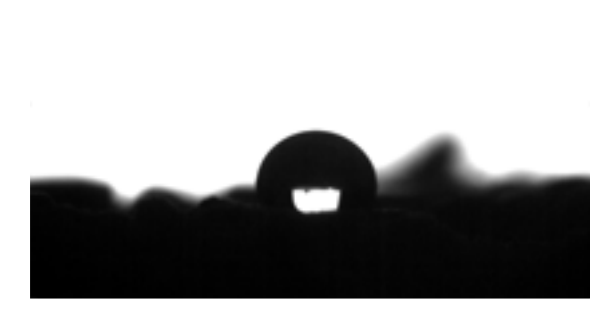




Kräftegleichgewicht zwis chen Nadel und Feststoffoberfläche bei zu kleinem Tropfen



Verhältnis Tropfengröße zu Bohrmehlschichtstärke

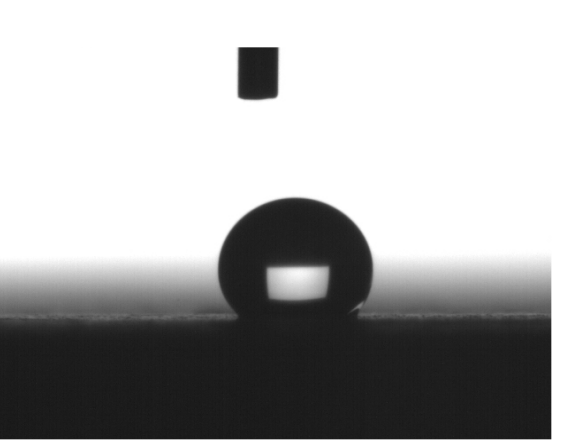


Aus wertbarkeit auch bei nicht horizontalen Probenoberflächen gegeben





Extreme Oberflächenrauhigkeiten beeinflussen die Messgenauigkeit



Typische Tropfenausbildung



Migration von Bohrmehl in die Flüssigkeitsoberfläche beim Absetzen des Tropfens



Kapillare Steighöhen

$$h_{kapillar} = \frac{2 \cdot \sigma \cdot \cos(\theta)}{r_{kapillar} \cdot \rho \cdot g}$$
$$\sigma = 72 \cdot 10^{-3} \frac{N}{m}$$

$$\theta = 90^{\circ}$$

$$\rho = 1000 \, kg / m^3$$

$$g = 9.81 \, m / s^2$$

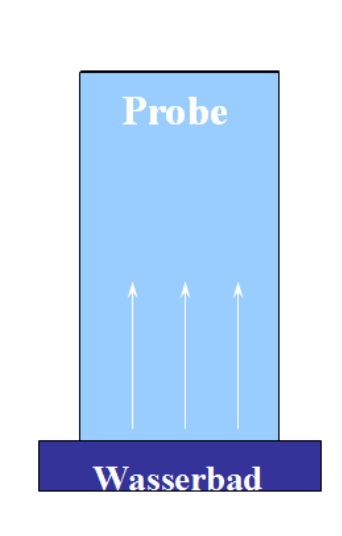
$$h_{kapillar} = \frac{1,468 \cdot 10^{-5} \, m^2}{r_{kapillar}}$$

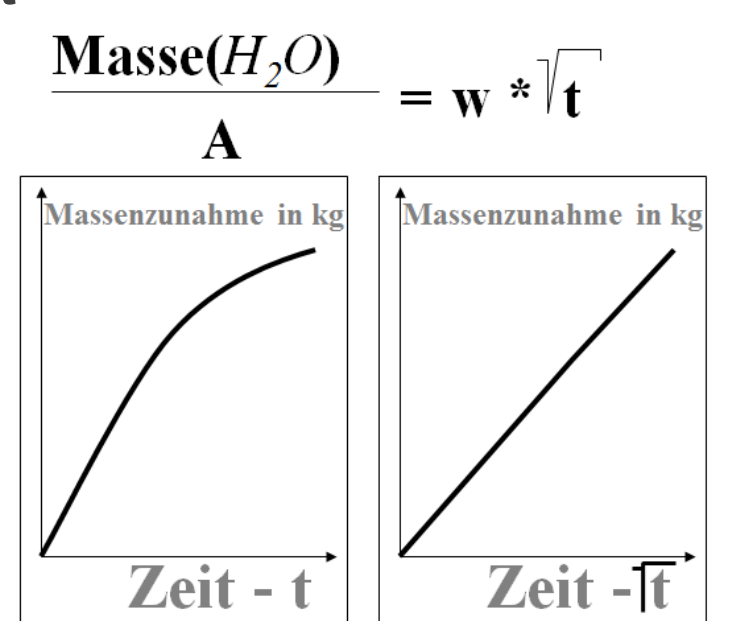
$$h_{kapillar} = \frac{0,01469 \, m \cdot mm}{r_{kapillar}}$$

h _{kapillar}	r _{kapillar}	
1,46 mm	10 mm	
1,46 cm	1 mm	Porenbeton
14,6 cm	0,1 mm	Porenbeton
1,46 m	0,01 mm	Mörtel
14,6 m	0,001 mm	Ziegel
146 m	0,0001 mm	Beton
1,460 km	0,00001 mm	



Wassertransport durch kapillar aktive Bauteile Wasseraufnahmekoeffizient







Wassertransport durch kapillar aktive Bauteile Wasseraufnahmekoeffizient





Flüssigkeitstransport durch kapillar aktive Bauteile





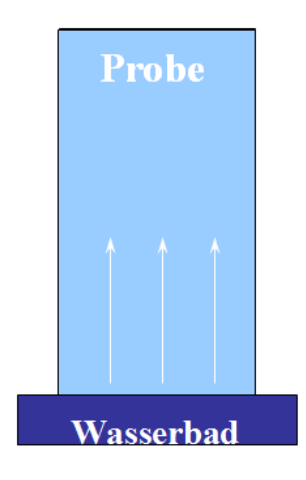
Wasseraufnahmekoeffizient von Baustoffen

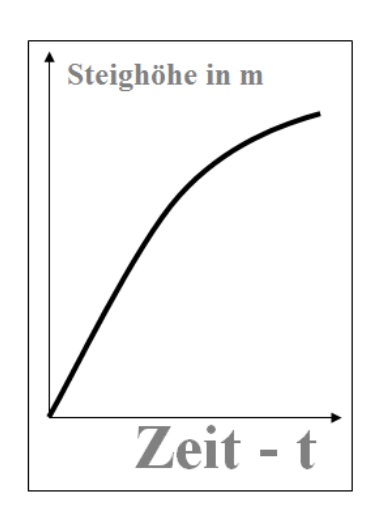
Tabelle Wasseraufnahmekoeffizient von Baustoffen			
Baustoffe	Wasseraufnahmekoeffizient in kg/m²*h 0,5		
Ziegel (1700 kg/m³)	25		
Ziegel (2200 kg/m³)	3		
Kalksandstein (1600 kg/m³)	8		
Kalksandstein (1900 kg/m³)	3		
Schwerbeton	1 – 2		
Porenbeton	4 – 8		
Gipsbauplatten (900 kg/m³)	70		
Gipsbauplatten (600 kg/m³)	35		
Kalkzementputz	2 – 4		
Zementputz	1 – 3		
Kunststoffdispersionsbeschichtung	0,05 - 0,2		

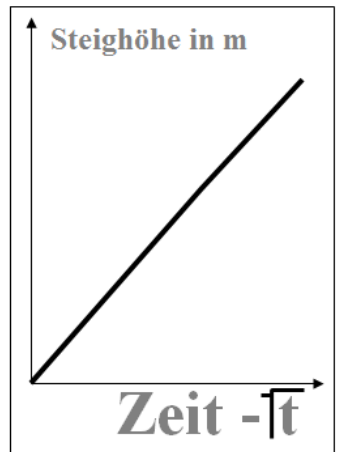


Wassertransport durch kapillar aktive Bauteile Wassereindringkoeffizient

$$h = B * \sqrt{t}$$









Wassereindringkoeffizient von Baustoffen

Wassereindringkoeffizient von Baustoffen		
Baustoff	Wassereindringkoeffizient in m / h 0,5	
Ziegel (1700 kg/m³)	0,14	
Ziegel (2200 kg/m³)	0,005	
Kalksandstein (1600 kg/m³)	0,065	
Kalksandstein (1900 kg/m³)	0,02	
Schwerbeton	0,005	
Porenbeton	0,05	
Gipsbauplatten (900 kg/m³)	0,13	
Gipsbauplatten (600 kg/m³)	0,11	
Kalkzementputz	0,08	
Zementputz	0,02	



Hygrische Kennwerte von Baustoffen für Speicherung und Transport

Unter Wasserspeicherung versteht man den Gehalt an Wasser oder Feuchtigkeit, den ein Baustoff durch unterschiedliche Prozesse aufgenommen hat und der in Masse- oder Volumenprozent angegeben wird. **Der Feuchtigkeitsgehalt** wird angegeben in

$$u \ in \ Masse - \% = \frac{m_{H_2O}}{m_{Trockenmassedes Baustoffs}} \qquad \text{und} \qquad u \ in \ Volumen - \% = \frac{V_{H_2O}}{V_{Baustoff}}$$



Hygroskopischer Feuchtigkeitsgehalt

•Kommt ein Baustoff in Kontakt mit der in der Luft enthaltenen Luftfeuchtigkeit, so sorbiert er den hygroskopischen Feuchtigkeitsgehalt.



Wasserkapazität

■Kommt ein Baustoff mit Wasser in Berührung, so können die Kapillaren auf Grund der ihnen eigenen Kapillarkräfte Wasser aufsaugen. Der Baustoff nimmt nach ausreichend langer Zeit einen Feuchtigkeitsgehalt an, der als freie Wassersättigung oder als Wasserkapazität.



Maximaler Wassergehalt

- Lagert man eine Baustoffprobe sehr lange unter Wasser, erzeugt man über der Wasseroberfläche einen Unterdruck oder erhitzt man bei der Wasserlagerung das Wasserbad auf Siedetemperatur, so kann man die verbleibende Luft austreiben und der Baustoff nimmt den Sättigungsfeuchtigkeitsgehalt, den sogenannten maximalen Wassergehalt an.
- ■Dieser Wert entspricht in etwa dem gesamten freien , d.h. von außen zugänglichen Porenraum eines Baustoffs.

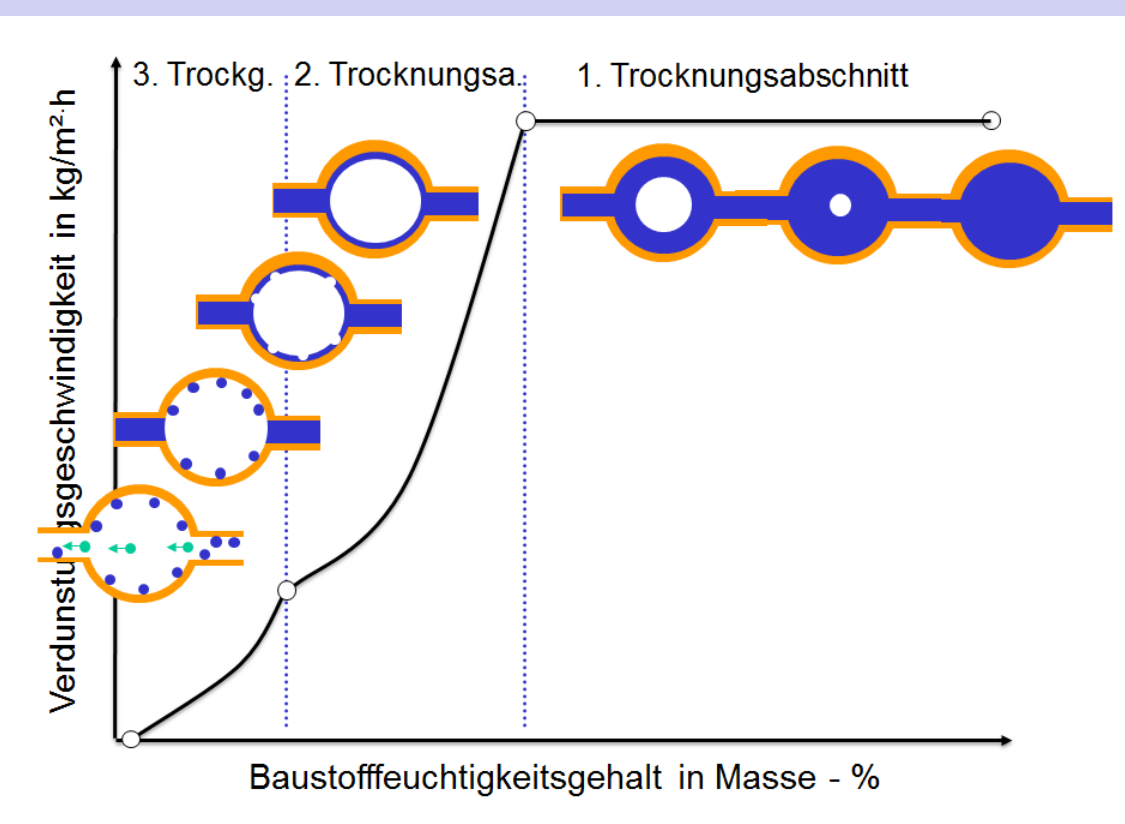


Kritischer Feuchtigkeitsgehalt

- Eine weitere wichtige Größe ist der sogenannte kritische Feuchtigkeitsgehalt.
- ■Es sind durchgehende, Wasser gefüllte Kapillaren vorhanden.
- •Unter diesem Feuchtegehalt ist kein kapillarer Feuchtetransport möglich.
- Ein Baustoff mit einem kleinen kritischen Feuchtigkeitsgehalt trocknet schneller aus als ein Baustoff mit einem hohen kritischen Feuchtigkeitsgehalt.



Trocknungsverlauf eines Baustoffs

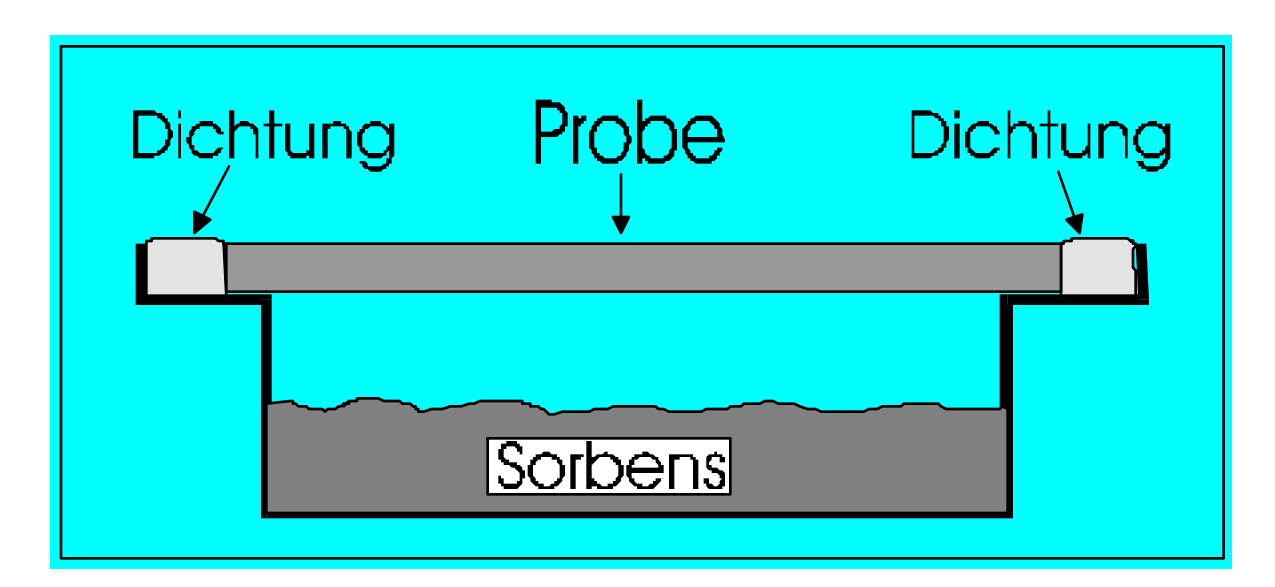




Material	Maximaler Wassergehalt in	Wasser- kapazität	Kritischer Wassergehalt in
iviateriai	V-%	in V-%	V-%
Ziegel	42	30	5
Porenbeton	73	34	18
Kalksandstein	25	21	14
Kalkzementputz	30	20	12
Beton(Kies)	14	11	7
Beton(calcitisch)	19	13	9

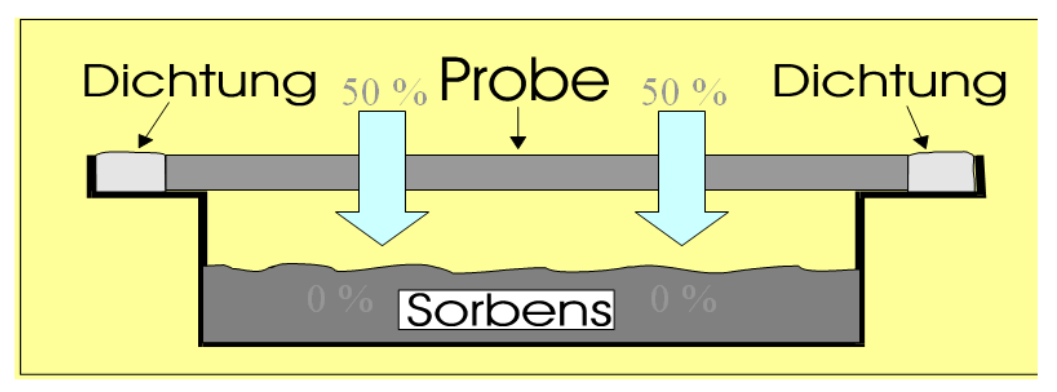


Bestimmung der Wasserdampfdurchlässigkeit von Dämmstoffen





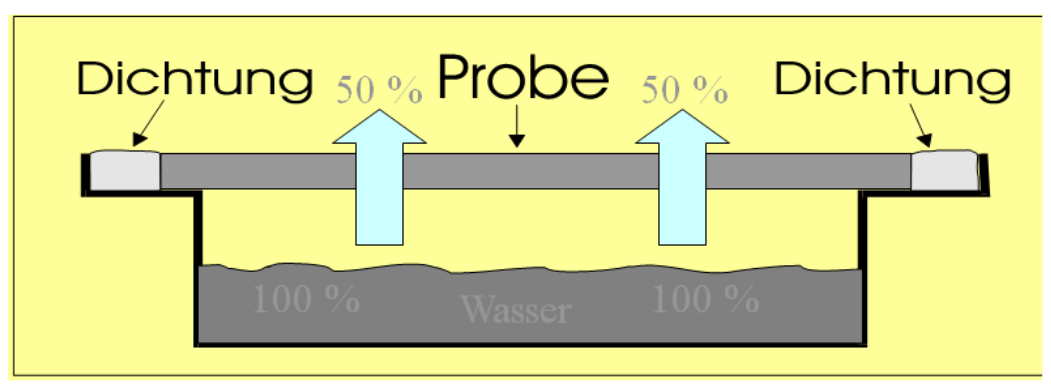
Dry cup - Methode



	Keramik	Klinker	Fliesen
Diffusions- widerstands- koeffizient	50100200	530	502003000



Wet cup - Methode



	Keramik	Klinker	Fliesen
Diffusions- widerstands- koeffizient	50100200	530	502003000



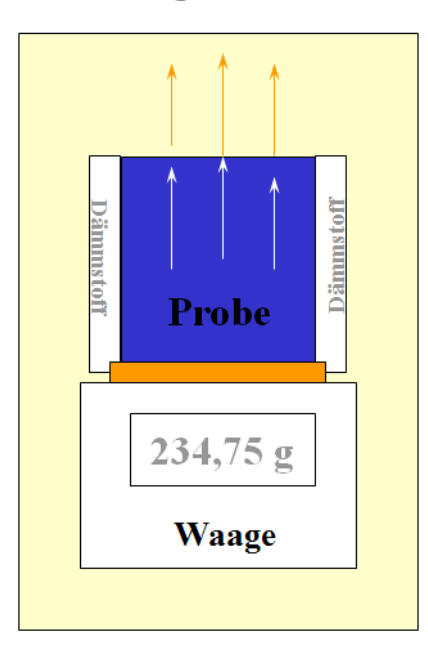
Baustoff	Diffusions- widerstandszahl	Übliche Schichtstärke	Äquivalente Luftschichtdicke
Aluminiumfolie	2000000	0,0002 m	400 m
Öllackfilm	23000	0,00015 m	3,45 m
Dispersionsfilm	6000	0,0002 m	1,2 m
Klinker	420	0,25 m	100,8 m
Kunstharzputz	140	0,002 m	0,28 m
Holz	30	0,025	0,75 m
Beton	30	0,15 m	4,5 m
Polystyrol	30	0,06 m	1,8 m
Zementputz	20	0,025 m	0,5 m
Kalkputz	11	0,025 m	0,275 m
Ziegel	9	0,25 m	2,16 m
Porenbeton	6	0,30 m	1,8 m
Bimsbeton	5	0,24 m	1,2 m
Mineralwolle	1	0,06 m	0,06 m



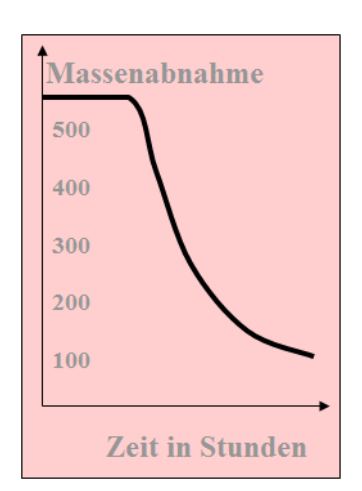
Diffusionswiderstandszahl von Sandsteinen		
Sandstein	-	
Eichenbühler Roter Mainsandstein	45	
- senkrecht zur Schichtung	47	
	49	
Eichenbühler Roter Mainsandstein – parallel zur Schichtung	30	
	31	
	31	
Bucher Sandstein	11,8	
- senkrecht zur Schichtung	11,8	
	12,0	
Bucher Sandstein	8,9	
- parallel zur Schichtung	13,5	
	9,2	

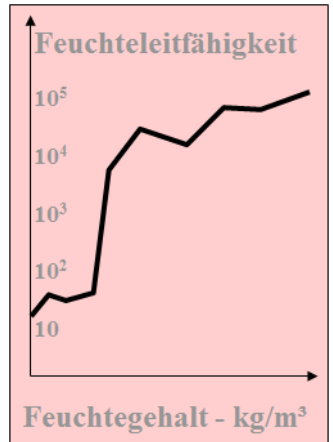


Wasserverdunstung durch Diffusion und kapillaren Wassertransport



$$\frac{\text{Masse (H}_2\text{O})}{\text{Fläche}} = F(u, t)$$







Verdunstung von Feuchtigkeit an Oberflächen poröser Stoffe

Übergangs- bedingung	Wasserdampf- übergangskoeffizient in g / dyn ˈs	Verdunstungmenge in g/cm²*s 20 °C / 100 % bis 20 °C / 50 %
Innenräume	0,30 x 10 ⁻⁶	2,9 x 10 ⁻⁶
Windstille im Freien	0,92 x 10 ⁻⁶	8,7 x 10 ⁻⁶
Wind von 5 m/s	1,75 x 10 ⁻⁶	17,0 x 10 ⁻⁶
Wind von 25 m/s	7,9 x 10 ⁻⁶	70,0 x 10 ⁻⁶



Übersicht

- •Allgemeines
- ■Porenstruktur von Baustoffen und ihre Eigenschaften
- Verwitterungsprozesse
- Kondensationsprozesse
- Befeuchtungsprozesse
- Deformationsprozesse



Verwitterungsprozesse

- Mechanische Verwitterung
- Chemische Verwitterung
- Metallische Verwitterung
- ■Biologische Verwitterung



Mechanische Verwitterung

- ■Frost Tau Wechsel
- Kristallisation von Salzen
- Hydratationsdruck
- ■Spannungen durch thermisches und hygrisches Dehnen
- Auswaschen und Ausspülen



Chemische Verwitterung

- Umwandlung von wasserunlöslichen Salzen in wasserlösliche durch Feuchte und Fremdstoffe
- Schichtenbildung durch chemische Prozesse



Metallische Verwitterung

- Carbonatisierung
- elektrochemische Prozesse durch minimale Materialunterschiede,
 Umgebungsbedingungen und Belüftungsverhältnisse

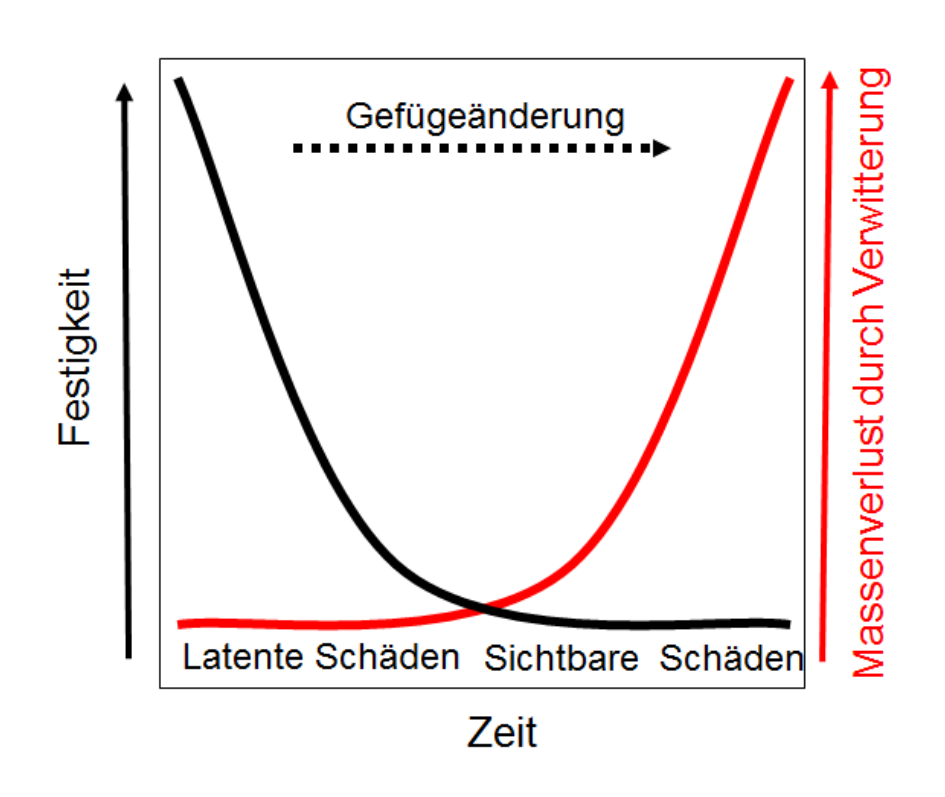


Biologische Verwitterung

- Veränderung des Feuchtehaushaltes durch Bewuchs und Besiedelung
- Wurzeldruck und Schadstoffeintrag durch pflanzliche und tierische Ausscheidungen
- Stoffzersetzung und -umwandlung durch Algen, Pilze, und Bakterien

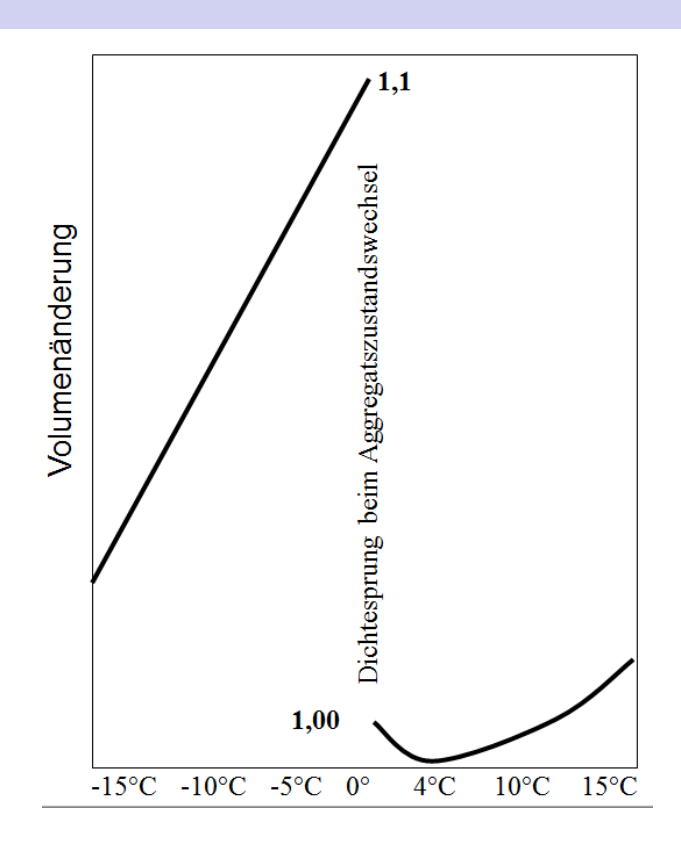


Ablauf einer Gesteinsschädigung im Verlauf von Jahrzehnten und Jahrhunderten





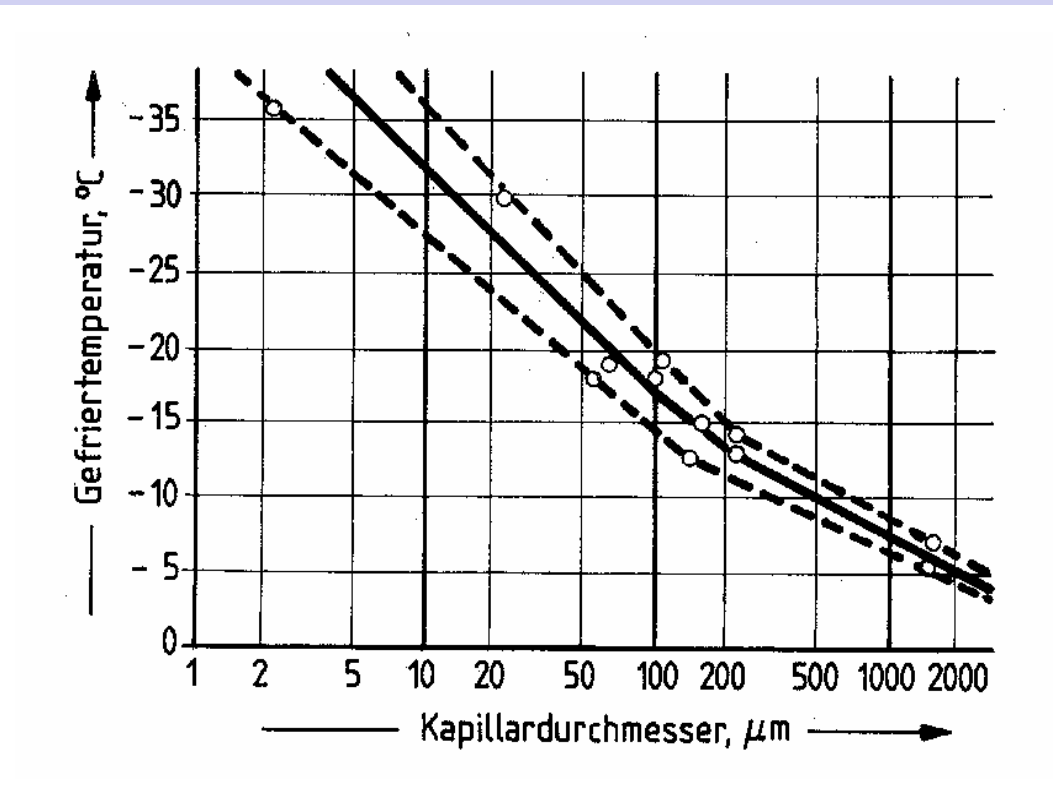
Volumenänderung bei einem Frost-Tau-Wechsel





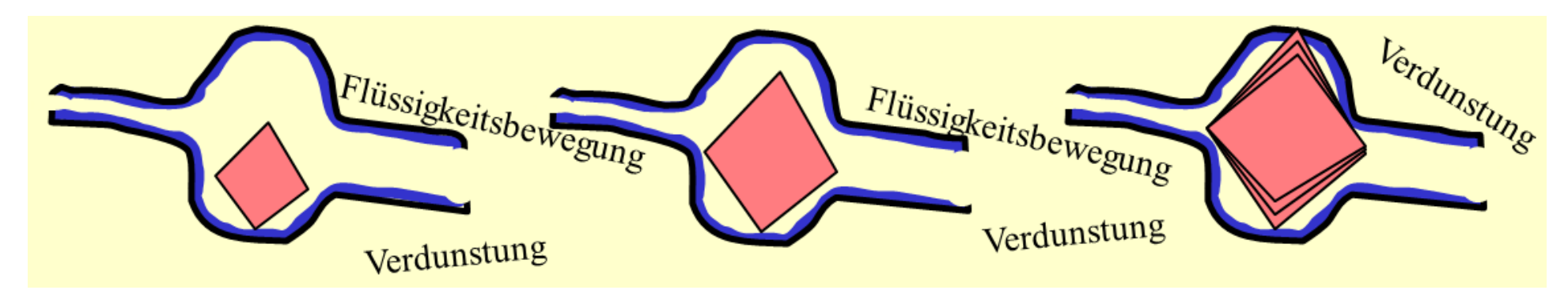
Frost-Tau-Wechsel

Abhängigkeit des Gefrierpunktes vom Porendurchmesser





Kristallwachstum und Entwicklung von Kristallisationsdruck





Salzausblühungen





Λ.	100 000	***
A 111	hvd	
4	,	

Dodekahydrat

Epsomit

Gips

Halit

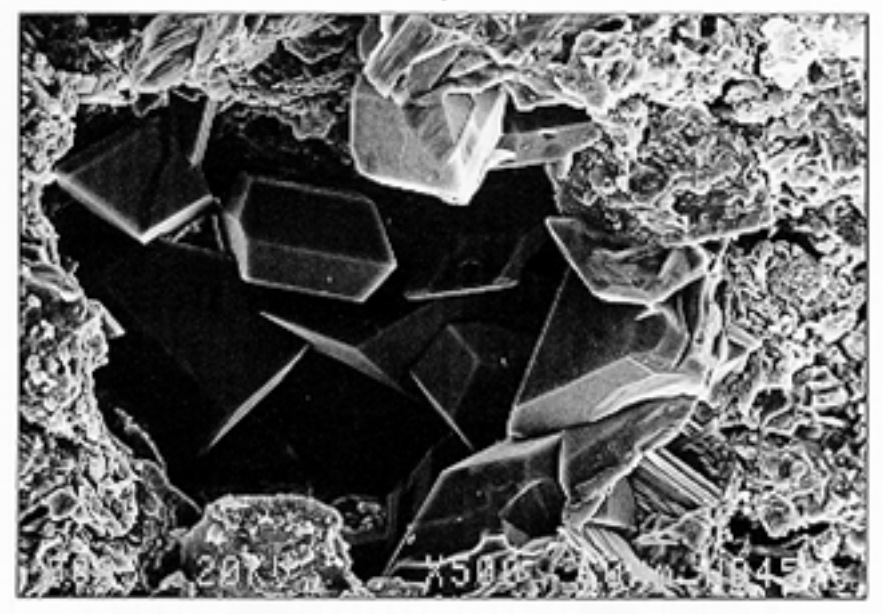
Heptahydrit

Hexahydrit

Kieserit

Natron

Thermonatrit



REM-Aufnahme des Gipskristallwachstums in der Pore eines bewitterten Ziegelsteins

8,0 N/mm² (20°C)

12,5 N/mm² (20°C)

33,4 N/mm² (20°C)

65,4 N/mm2 (20°C)

11,9 N/mm² (20°C)

14,1 N/mm² (20°C)

32,4 N/mm² (20°C)

9,2 N/mm² (20°C)

33,3 N/mm² (20°C)



wichtige bauschädliche Salze

Salzgruppe	Chem. Formel	Name	Löslichkeit in g/l	Kristallisations- druck in N/mm ²
	MgSO ₄ * 7 H ₂ O	Bittersalz	710	41,5
Sulfate	CaSO ₄ * 2 H2O	Gips	2,4	111
	Na ₂ SO ₄ *10 H ₂ O	Glaubersalz	110	27,7
	3CaO*Al ₂ O ₃ * 3CaSO ₄ *32H ₂ O	Ettringit		
	Mg(NO ₃) ₂ * 6 H ₂ O	Magnesiumnitrat	1250	
Nitrate	Ca(NO ₃) ₂ * 4 H ₂ O	Calciumnitrat	2660	
	5Ca(NO ₃) ₂ * 4NH ₄ NO ₃ :10H ₂ O	Kalksalpeter	266	
Chloride	CaCl ₂ * 10 H ₂ O	Calciumchlorid	750	
	NaCl	Kochsalz	360	65,4
	Na ₂ CO ₃ *10H ₂ O	Soda	210	30,8
Carbonate	K ₂ CO ₃	Pottasche	1120	
	CaCO ₃	Kalk	0,015	

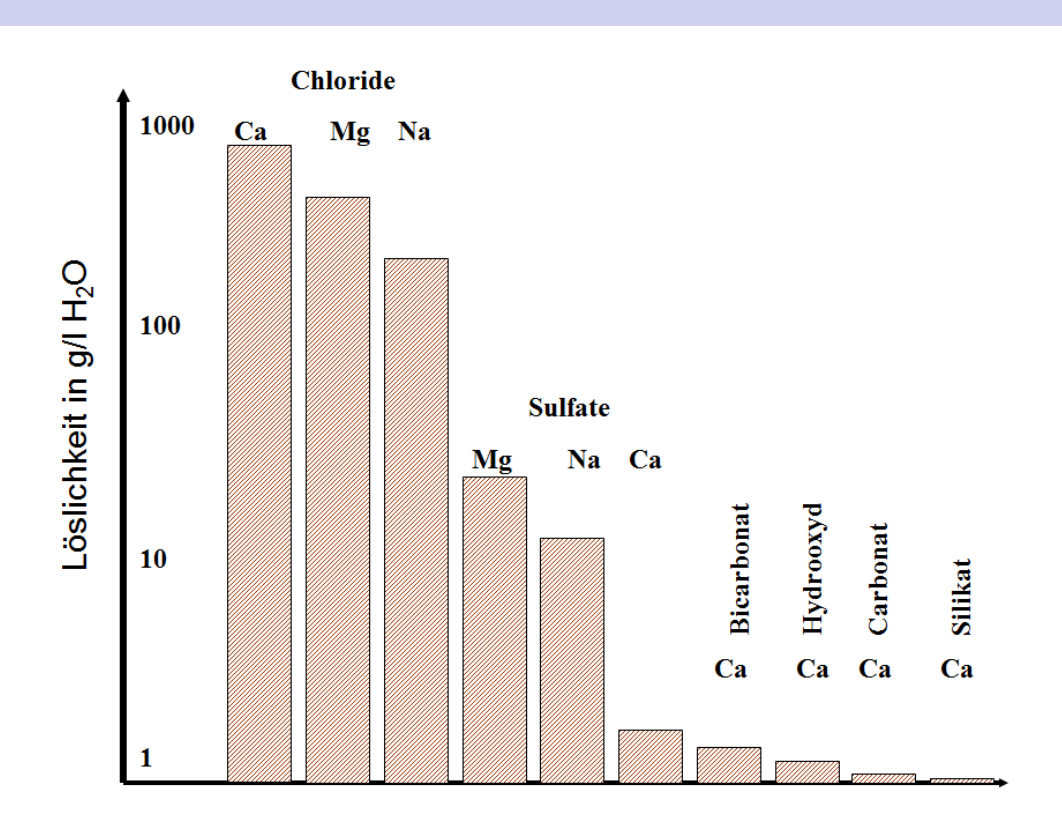


Löslichkeit von Salzen in Wasser

Löslichkeit von Salzen in Wasser					
		100 ml Wasser (kalt)	100 ml Wasser (warm)		
CaCO ₃	Calciumcarbonat,Kalk	0,0015 g	0,0019 g		
CaCl ₂	Calciumchlorid	75 g	159 g		
Ca(NO ₃) ₂ * 4 H ₂ O	Calciumnitrat, Salpeter	266 g	660 g		
$Ca(NO_3)_2$	Calciumnitrat	121 g	376 g		
CaSO ₄ * 2 H ₂ O	Calciumsulfat, Gips	0,24 g	0,22 g		
CaF ₂	Calciumfluorid	0,002 g	0,002 g		
K2CO ₃	Kaliumcarbonat, Pottasche	112 g	156 g		
K2CO3 * 2 H2O	Kaliumcarbonat, Dihydrat	147 g	331 g		
2 K ₂ CO ₃ * 3 H ₂ O	Kaliumcarbonat, Trihydrat	129 g	268 g		
MgSO ₄ * 7 H ₂ O	Magnesiumsulfat, Bittersalz	71 g	91 g		
MgCl ₂ * 6 H ₂ O	Magnesiumchlorid	167 g	367 g		
Mg(NO ₃) ₂ * 6 H ₂ O	Magnesiumnitrat	125 g			
NaSO ₄ * 10 H ₂ O	Natriumsulfat, Glaubersalz	11 g	92 g		
NaCO ₃ * 10 H ₂ O	Natriumcarbonat, Soda	21 g	420 g		
NaCl	Natriumchlorid, Kochsalz	96 g	39 g		
NaF	Natriumfluorid	4 g	-		
BaSO ₄	Bariumsulfat	0,0002 g	0,0004 g		
PbSO ₄	Bleisulfat	0,004 g	0,005 g		
PbCl,	Bleichlorid	1 g	3 g		



Löslichkeit von Salzen in Wasser



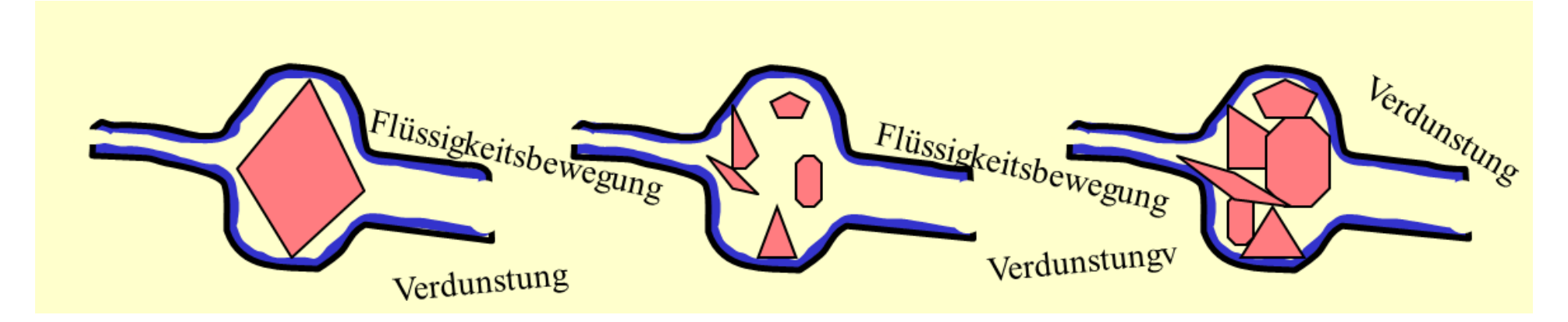


Kristallisationsdruck der wichtigsten bauschädlichen Salze

Kristallisat	Kristallisationsdruck der wichtigsten bauschädlichen Salze					
Chemische bezeichnung	Mol- volumen	Kristallisationsdruc k bei C/Cs = 2		Kristallisationsdructure bei C/CS = 10		
		0 ° C	50 °C	0 °C	50 °C	
CaSO4*1/2*H2O	46	33,5	39,8	112,0	132,5	
CaSO4*2*H2O	55	28,2	33,4	93,8	111,0	
MgSO4*7*H2O	147	10,5	12,5	35,0	41,5	
MgSO4*6*H2O	130	11,8	14,1	39,5	49,5	
MgSO4*1*H2O	57	27,2	32,4	91,0	107,9	
NaSO4*10*H2O	220	7,2	8,3	23,4	27,7	
NaSO4	53	29,2	34,5	97,0	115,0	
NaCl	28	55,4	65,4	184,5	219,0	
Na2CO3*10*H2O	199	7,8	9,2	25,9	30,8	
Na2CO3*7*H2O	154	10,0	11,9	33,4	36,5	
Na2CO3*1*H2O	55	28,0	33,3	93,5	110,9	



Kristallwachstum und Entwicklung von Hydratationsdruck



Kristallbildung unter Einbau von Kristallwasser Dehydratation in einer Trocknungsphase

Hydratationsdruck durch H2O-Anlagerung bei Befeuchtung



Hydratationsdrücke

Salz	50 % Luftfeuchtigkeit	70% Luftfeuchtigkeit	100% Luftfeuchtigkeit
Cina		-	
Gips	57,5 N/mm²	114,5N /mm²	175,5 N/mm²
Magnesiumsulfat	1,9 N/mm²	6,8 N/mm²	11,7 N/mm²
Natriumcarbonat	0 N/mm²	28,4 N/mm²	61,1 N/mm²



Hydratationsdrücke - Calciumsulfat

Salz – Calciumsulfat CaSO4*1/2H2O→CaSO4*2H2O	0 °C	20 °C	60 °C
100 %	219,0 N/mm ²	175,5 N/mm ²	92,6 N/mm²
70 %	160,0 N/mm ²	114,5 N/mm²	25,4 N/mm²
50 %	107,2 N/mm²	57,5 N/mm²	0,0 N/mm²



Hydratationsdrücke - Magnesiumsulfat

Salz – Magnesiumsulfat MgSO4*6*H2O→MgSO4*7*H2O	0 °C	20 °C	60 °C
100 %	14,6 N/mm²	11,7 N/mm²	9,2 N/mm²
70 %	9,7 N/mm²	6,8 N/mm²	4,0 N/mm²
50 %	5,0 N/mm²	1,9 N/mm²	0,0 N/mm²



Hydratationsdrücke - Natriumcarbonat

Salz – Natriumcarbonat Na2CO3*H2O→Na2CO3*7*H2O	0 °C	20 °C	60 °C
100 %	93,8 N/mm²	61,1 N/mm²	43,0 N/mm ²
70 %	63,7 N/mm²	28,4 N/mm²	9,4 N/mm²
50 %	24,3 N/mm²	0,0 N/mm²	0,0 N/mm²



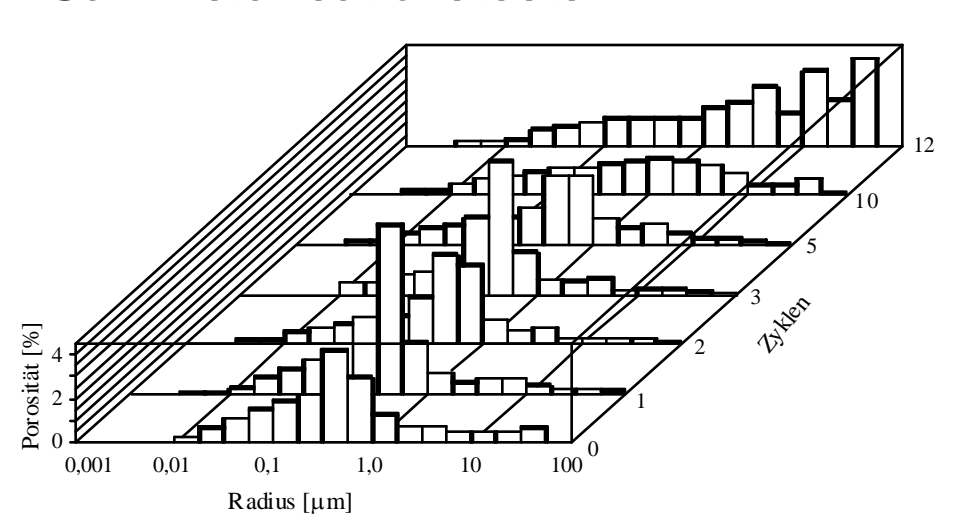
Schädigung von Mauerwerk durch Salze



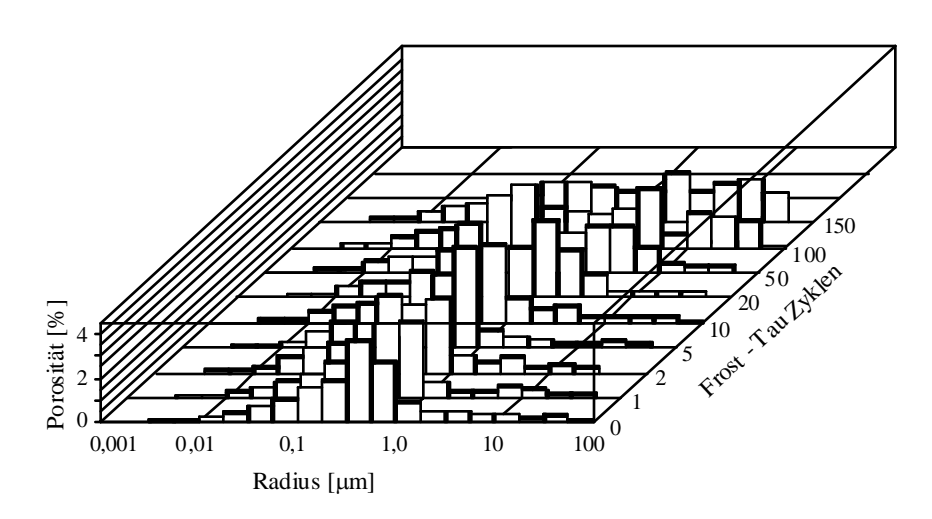


Salzkristallisation vs. Frost-Tau-Wechsel

Porenbildung während eines Salzkristallisationstests



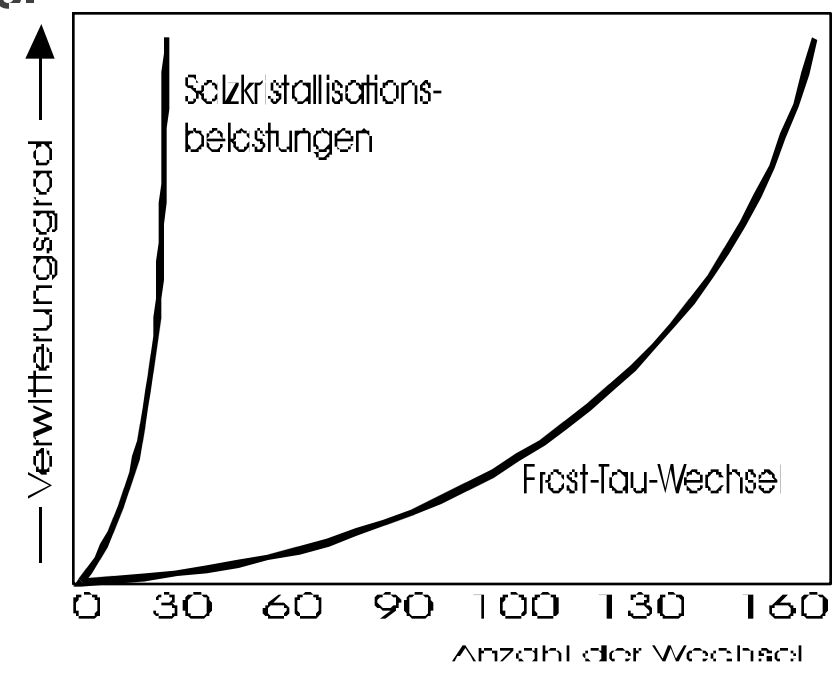
Porenbildung während eines Frost-Tau-Wechsel-Tests





Salzkristallisation vs. Frost-Tau-Wechsel

- Veränderungen der Porenstruktur, Gefügelockerungen, Absanden, Abplatzen





Schadenswirkung von Salzen

Salzart	Salzkonzentrationen [M-%]				
Sulfate	0 - 0,030	0,030 - 0,08	0,08 - 0,25	0,25 - 0,8	
Nitrate	0 - 0,018	0,018 - 0,05	0,05 - 0,16	0,16 - 0,5	
Chloride 0 - 0,010		0,010 - 0,03	0,03 - 0,09	0,09 - 0,3	
Schadens- wirkung	keine Beeinträchti- gung	keine akute Beeinträchtigung, aber bei baulichen Maßnahmen berücksichtigen	Erhöhte Hygroskopische Wasseraufnahme, Baustoffzer- Mürbung	Starke Ausblühungen Dauerhafte Durchfeuchtung	



Bewertung von Salzen

Salzart	Gering [M-%]	Mittel [M-%]	Hoch [M-%]
Gesamtsalzgehalt	< 0,10	0,10 - 0,25	> 0,25
Sulfat	< 0,10	0,10 - 0,25	> 0,25
Nitrat	< 0,05	0,05 - 0,15	> 0,15
Chlorid	< 0,03	0,03 - 0,10	> 0,10

Orientierungshilfe für die Bewertung oberflächennaher Proben bei 3 cm Bohrtiefe



Bewertung von Salzen

Chloride ¹	< 0,2 M-%	0,2 - 0,5 M-%	> 0,5 M-%
Nitrate	< 0,1 M-%	0,1 - 0,3 M-%	> 0,3 M-%
Sulfate ²	< 0,5 M-%	0,5 - 1,5 M-%	> 1,5 M-%
Bewertung ³	Belastung gering Maßnahmen im Ausnahmefall erf.	Belastung mittel Weitergehende Untersuchungen zum Gesamtsalzgehalt (Salzverbindung, Kationenbestimmung) erforderlich Maßnahmen im Einzelfall erforderlich	Belastung hoch Weitergehende Untersuchungen zum Gesamtsalzgehalt (Salzverbindung, Kationenbestimmung) erforderlich Maßnahmen erforderlich



Bewertung von Salzen

Bewertung der schadensverursachenden Wirkung verschiedener Salzionen in Mauerwerkskörpern nach [Wta99]

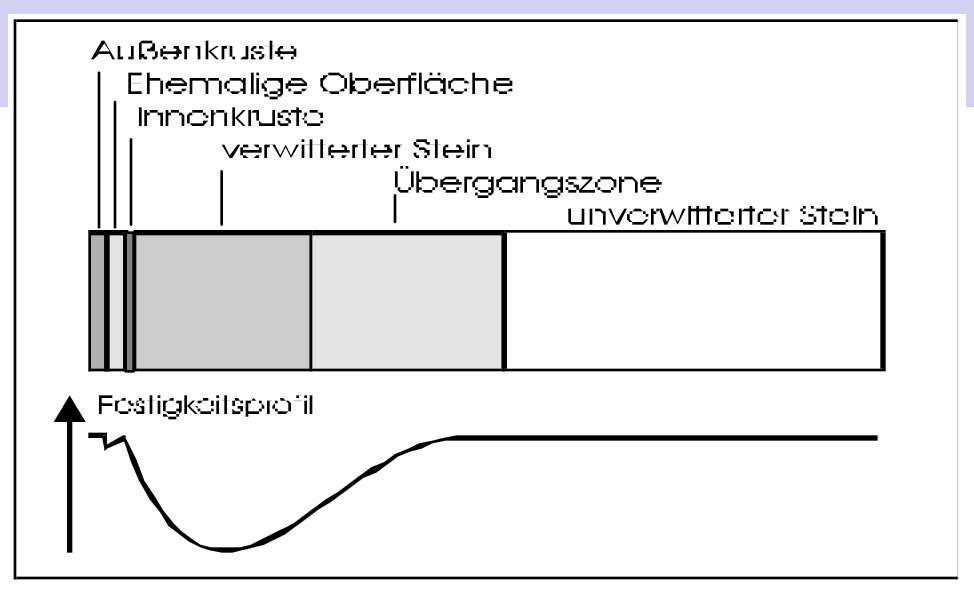
- Bei tragwerksichernden Maßnahmen, wie dem Einbau von Ankern/Nadeln, ist bei Chloridbelastungen > 0,1 M-% auf die Auswahl besonderer Stahlgüten und speziell rezeptierter Verpreß-/Verfüllmörtel zu achten
- 2 Beurteilung bezogen auf leicht lösliche Sulfate; besonders zu bewerten sind sulfathaltige Baustoffe
- Für die Entscheidung über das Erfordernis von Maßnahmen sind nicht allein die Ergebnisse der Salzuntersuchungen ausschlagebend Für einfache Rückschlüsse zum Gesamtsalzgehalt ist der ermittelte höchste Gehalt von

Salzionen, unabhängig ob Chlorid, Nitrat oder Sulfat und die Bewertung o.a. Tabelle

maßgebend



Entstehen von Verwitterungsprofilen



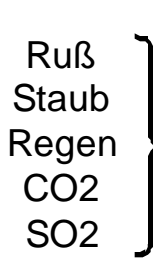


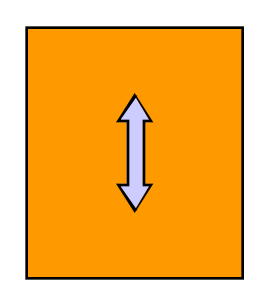


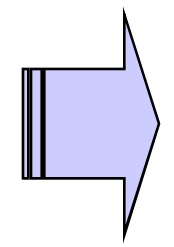
Verwitterungsprofil

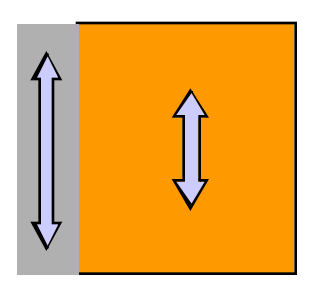
Wärme- und Feuchtigkeitsdehnung homogen und einheitlich

Wärme- und Feuchtigkeitsdehnung unterschiedlich







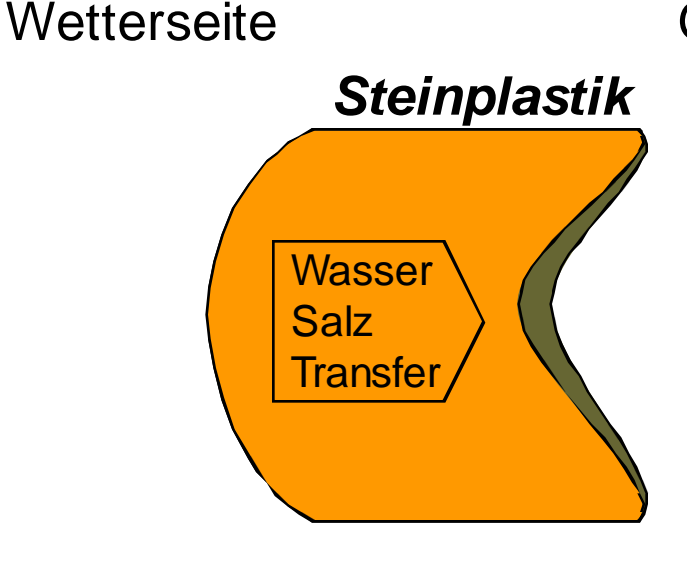


Krustenbildung: Staub- und Rußteilchen werden an die Gesteinsschicht angelagert und durch Kristallbildung (Kalzit, Gips) fixiert. Durch die dadurch bedingte Verdichtung und chemische Veränderung entsteht eine Oberflächenschicht mit abweichenden Eigenschaften im Vergleich zum homogenen Ausgangsmaterial.



Darstellung einer Rückseitenverwitterung

Sonne Ruß Staub Regen CO₂ SO2



Geschützte Seite

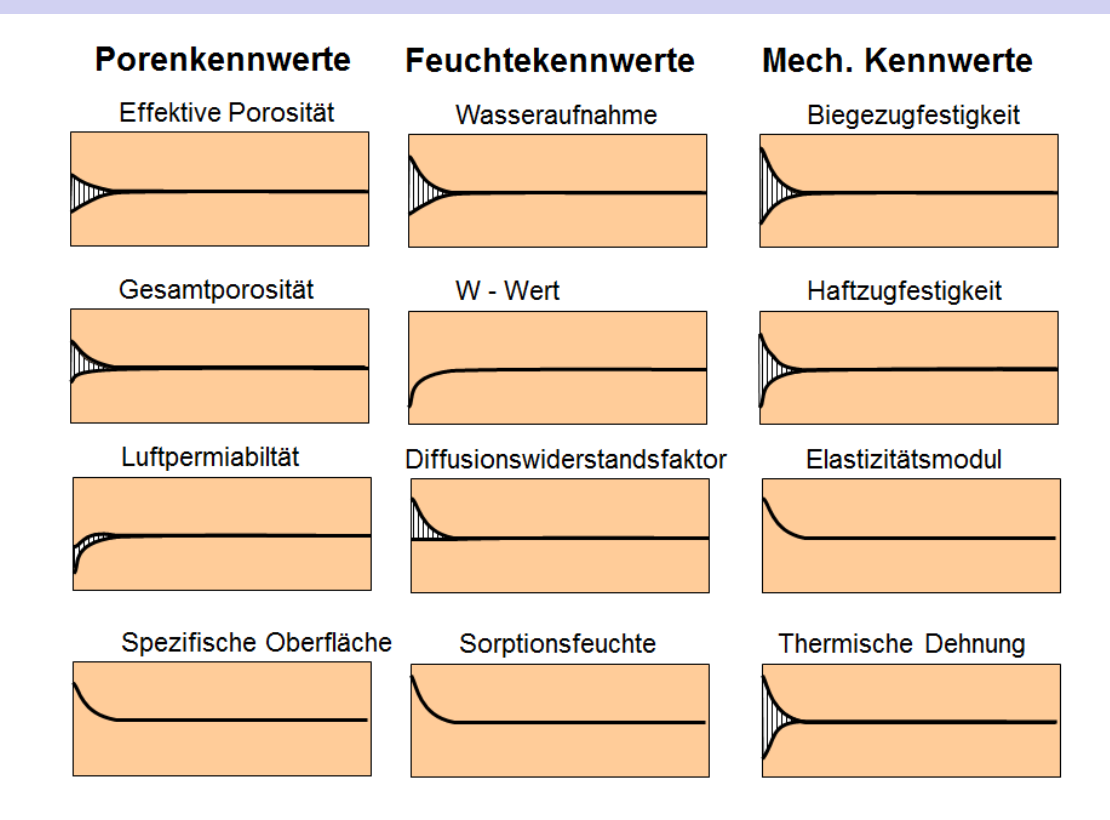
Schatten Benetzung Staubablagerung Krustenbildung



Rückseitenverwitterung

- •Auf der Wetterseite werden Staub und Schmutz durch häufiges Beregnen ab- und ausgewaschen, die Trocknung erfolgt rasch und das Temperatur und Dampfdruckgefälle ist zur geschützten Seite gerichtet.
- An der geschützten Seite kann sich Staub ablagern, es herrscht kein Abwascheffekt und es können sich Krusten bilden.
- Durch den Wassertransport werden gelöste Stoffe in die Kruste transportiert. Der erhöhte Salz- und Wassergehalt führt zur Steinschädigung.







Übersicht

- •Allgemeines
- ■Porenstruktur von Baustoffen und ihre Eigenschafte
- Verwitterungsprozesse
- Kondensationsprozesse
- Befeuchtungsprozesse
- Deformationsprozesse



Kondensationsprozesse

- Einflussgrößen
- Oberflächenkondensation und erhöhte Luftfeuchtigkeit
- Oberflächentemperaturen
- Wärmetransportkennwerte
- Wärmebrücken
- Instationäre Kondensationsprozesse
- Kernkondensation



Kondensationsprozesse

Bauphysikalische Beschreibung von Kondensationserscheinungen und Zuständen mit erhöhter Luftfeuchtigkeit



Oberflächenkondensation und erhöhte Luftfeuchtigkeit

- Zur Schimmelpilzbildung kommt es, wenn sich auf inneren Oberflächen Kondenswasser bildet.
- Es kann aber ebenfalls bereits bei höheren Luftfeuchtigkeiten im Bereich der Wandoberfläche zur Schimmelpilzbildung kommen.
- Eine genaue Grenze ist nicht anzugeben, da verschiedene Zustände und deren Häufigkeit eine Rolle spielen.



Einflussgrößen

- Luftfeuchtigkeit (absolute, relative, Wasserdampfpartialdruck, Taupunkttemperatur
- ■Wärmetransportgrößen (Wärmeleitfähigkeit, Oberflächentemperaturen, Wärmebrücken)
- Feuchteproduktion (Arbeiten, Wohnen, Schlafen, Zimmerpflanzen, feuchte Bauteile, Möblierung)



Beschreibung der Luftfeuchtigkeit in der Bauphysik

- ■Die absolute Luftfeuchtigkeit in Gramm Wasserdampf pro Kubikmeter Luft f in g / m³
- Der Wasserdampfpartialdruck in Pascal p in Pa
- Die relative Luftfeuchtigkeit in Prozent

$$\varphi = \frac{f}{f_{S\ddot{a}ttigung}} \cdot 100\% , \quad \varphi = \frac{p}{p_{S\ddot{a}ttigung}} \cdot 100\%$$



Taupunkttemperatur für verschiedene Luftzustände

$$t_{Taupkt} = \left(109,8^{\circ}C + t_{i}\right) \cdot \left(\frac{\varphi_{i}}{100\%}\right)^{0,1247} - 109,8^{\circ}C$$



Berechnung von Oberflächentemperaturen

$$\frac{\Delta t}{t_i - t_a} = \frac{R}{R_T} \quad , \quad \Delta t = \frac{R}{R_T} \cdot \left(t_i - t_a \right)$$

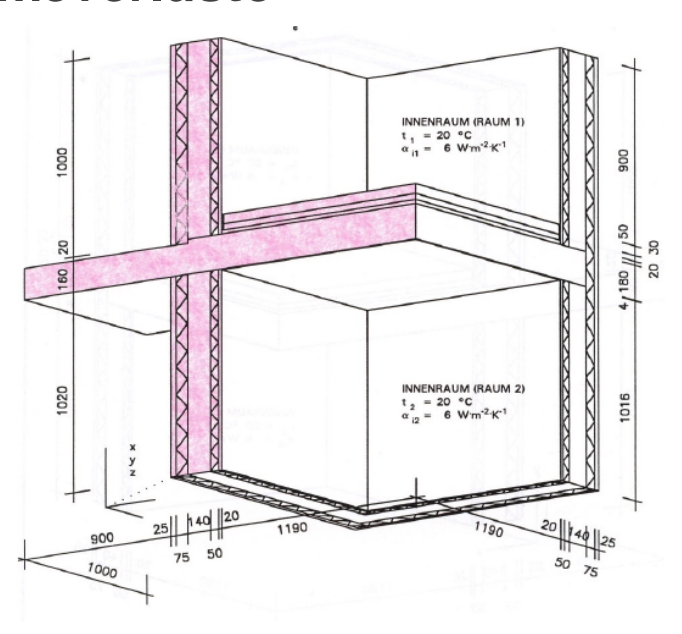
Die Oberflächentemperatur auf inneren Bauteiloberflächen berechnet sich nach folgender Gleichung:

$$t_{oi} = t_i - \frac{R_{si}}{R_T} \cdot (t_i - t_a), \ t_{oi} = t_i - \frac{0.13 \cdot \frac{m^2 \cdot K}{W}}{R_T} \cdot (t_i - t_a),$$

$$t_{oi} = t_i - U \cdot 0.13 \frac{m^2 \cdot K}{W} \cdot (t_i - t_a).$$



Wärmeverluste

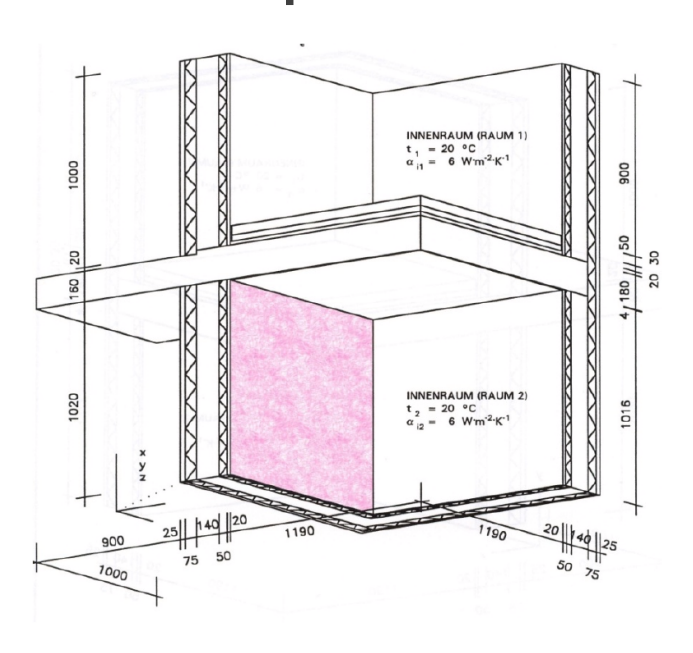


Auswirkungen auf

- Heizlast
- Baukosten
- Heizwärmebedarf
- Schadstoffemissionen
- Betriebskosten



Oberflächentemperaturen



Auswirkungen auf

- Gesundheit (Schimmelbildung)
- Behaglichkeit
- Lebensdauer
- Betriebskosten (bei Sanierungserfordernis)



Wärmetransportmechanismen

Wärmestrahlung

Wärmetransport durch (langwellige) elektromagnetische Strahlung ohne Beteiligung eines Mediums

Konvektion

Wärmetransport in Verbindung mit Massentransport (Wärmeträgermedium z. B. Wasser, Luft, ...)

Wärmeleitung

Wärmetransport als Ausgleichsmechanismus in einem Medium (Festkörper, Flüssigkeit, Gas)



Wärmestrahlung

Jeder Körper strahlt in Abhängigkeit von seiner Temperatur Wärme ab. Der Wärmetransport durch Wärmestrahlung erfolgt ohne Vermittlung eines materiellen Mediums.

Stefan-Boltzmann'sches Gesetz

Die Gesamtemission des schwarzen Körpers ist proportional zur

4. Potenz der absoluten Temperatur der Oberfläche.

Themenkreise: Strahlungsfeld im Raum (Behaglichkeit),

Wärmeübergang an den Oberflächen,

Flächenheizsysteme, Wärmedurchgang durch Hohlräume, ...



Konvektion

Mit der Strömung eines Gases oder einer Flüssigkeit wird Masse transportiert. Gleichzeitig wird auch die aufgrund der Temperatur im bewegten Medium enthaltene Wärme transportiert.

Themenkreise: Lüftungswärmeverluste,

Wärmeübergang an den Oberflächen,

Wärmetransport mit Heiz- und Kühlmedien,

Wärmedurchgang durch Hohlräume, ..



Wärmeleitung

In einem Medium fließt Wärme immer von Orten höherer Temperatur zu Orten niedrigerer Temperatur (**Ausgleichsvorgang**).

Fourier'scher Wärmestromansatz

Die Wärmestromdichte – d. h. der flächenbezogene Wärmestrom – ist proportional zum Temperaturgefälle.

Der Proportionalitätsfaktor ist die Wärmeleitfähigkeit.

Themenkreise: Wärmeströme durch Baukonstruktionen,

Transmissionswärmeverluste, Temperaturverteilungen,

Oberflächentemperaturen, Kondensationsrisiko, ...



Oberflächentemperaturen

Für jeden Punkt jeder Oberfläche einer Baukonstruktion kann ein **Satz von Temperaturgewichtungsfaktoren** angegeben werden. Die Oberflächentemperatur am Punkt (x,y,z) errechnet sich gemäß

$$\Theta_s^*(x,y,z) = \sum_j g_j(x,y,z) \cdot \Theta_j$$

Nach Norm (national: **ONorm B8110-2**; international **EN ISO 10211**) sind u. a. als Ergebnis einer Wärmebrückenberechnung die Sätze von Temperaturgewichtungsfaktoren für die Punkte tiefster Oberflächentemperatur für alle Innenräume anzugeben.

Anmerkung: Für den stationären Fall gilt: $\sum_{j} g_{j} = 1$



Kondensationsrisiko

Bei bekannter Oberflächentemperatur kann unmittelbar Θ angegeben werden, bei welcher relativen Feuchtigkeit der Raumluft es zur Bildung von Kondensat kommen wird.

Jener Wert der relativen Feuchtigkeit der Raumluft, bei dessen Überschreitung es zur Kondensatbildung kommt, wird **Grenzfeuchtigkeit** genannt.

In der **ÖNorm B8110-2:2003** wird ein "Norm-Innenraum-Klima" definiert und gefordert, dass unter diesen Verhältnissen es an keiner Stelle der inneren Oberflächen zu Kondensatbildung kommen darf.

Zudem wird ein weiteres Kriterium zur "Hintanhaltung von Schimmelbildung" Eingeführt.



Beschreibung von Wärmeleitungsvorgängen

- Eindimensionales Modell
- Zweidimensionales Modell
- Dreidimensionales Modell



Das eindimensionale Modell

- Von eindimensionaler Wärmeleitung wird dann gesprochen, wenn die Wärmeleitungsvorgänge mit einer Ortskoordinate allein beschreibbar sind.
- Ein Beispiel für eindimensionale Wärmeleitung ist der Wärmedurchgang durch einen plattenförmigen, homogen geschichteten Bauteil (Wand, Fußboden, Decke, ...).
- Das Verwenden des eindimensionalen thermischen Modells hat den Vorteil, dass Ergebnisse per Handrechnung erhalten werden können.

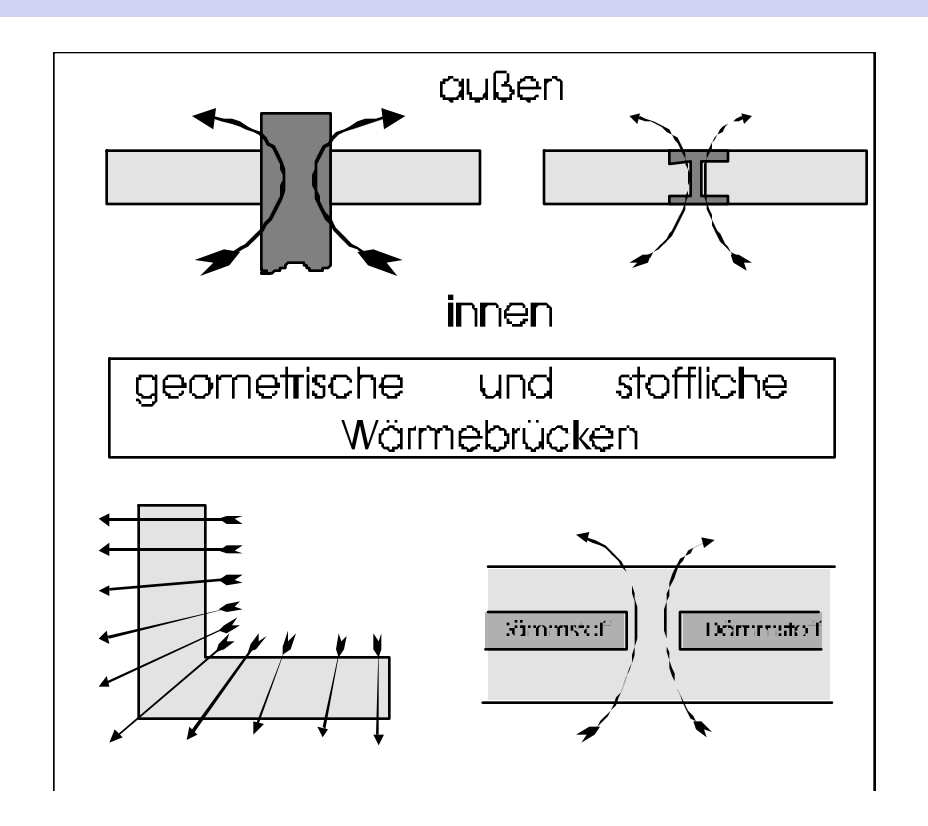


Das zweidimensionale Modell

- Von zweidimensionaler Wärmeleitung wird dann gesprochen, wenn zur Beschreibung der Wärmeleitungsvorgänge zwei Ortskoordinaten notwendig sind.
- Berechnet werden Wärmeströme und Temperaturverteilungen für jeweils eine
 Ebene.
- In Richtung der dritten Koordinate (senkrecht zur betrachteten Ebene) bleibt die Temperaturverteilung unverändert; entlang dieser Koordinatenachse fließt kein Wärmestrom.
- Die Berechnungen können nur numerisch unter Verwendung eines Wärmebrückenprogramms durchgeführt werden



Wärmebrücken





Das dreidimensionale Modell

- Von dreidimensionaler Wärmeleitung wird dann gesprochen, wenn zur Beschreibung der Wärmeleitungsvorgänge alle drei Ortskoordinaten notwendig sind.
- Die Berechnungen können nur numerisch unter Verwendung eines Wärmebrückenprogramms durchgeführt werden



Anschlussdetail

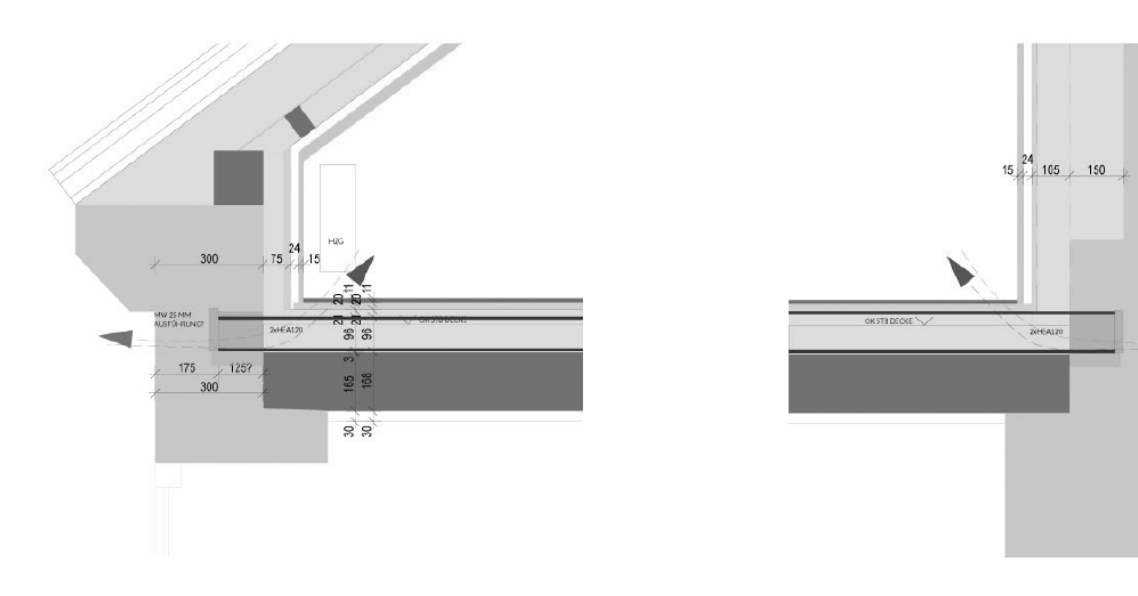
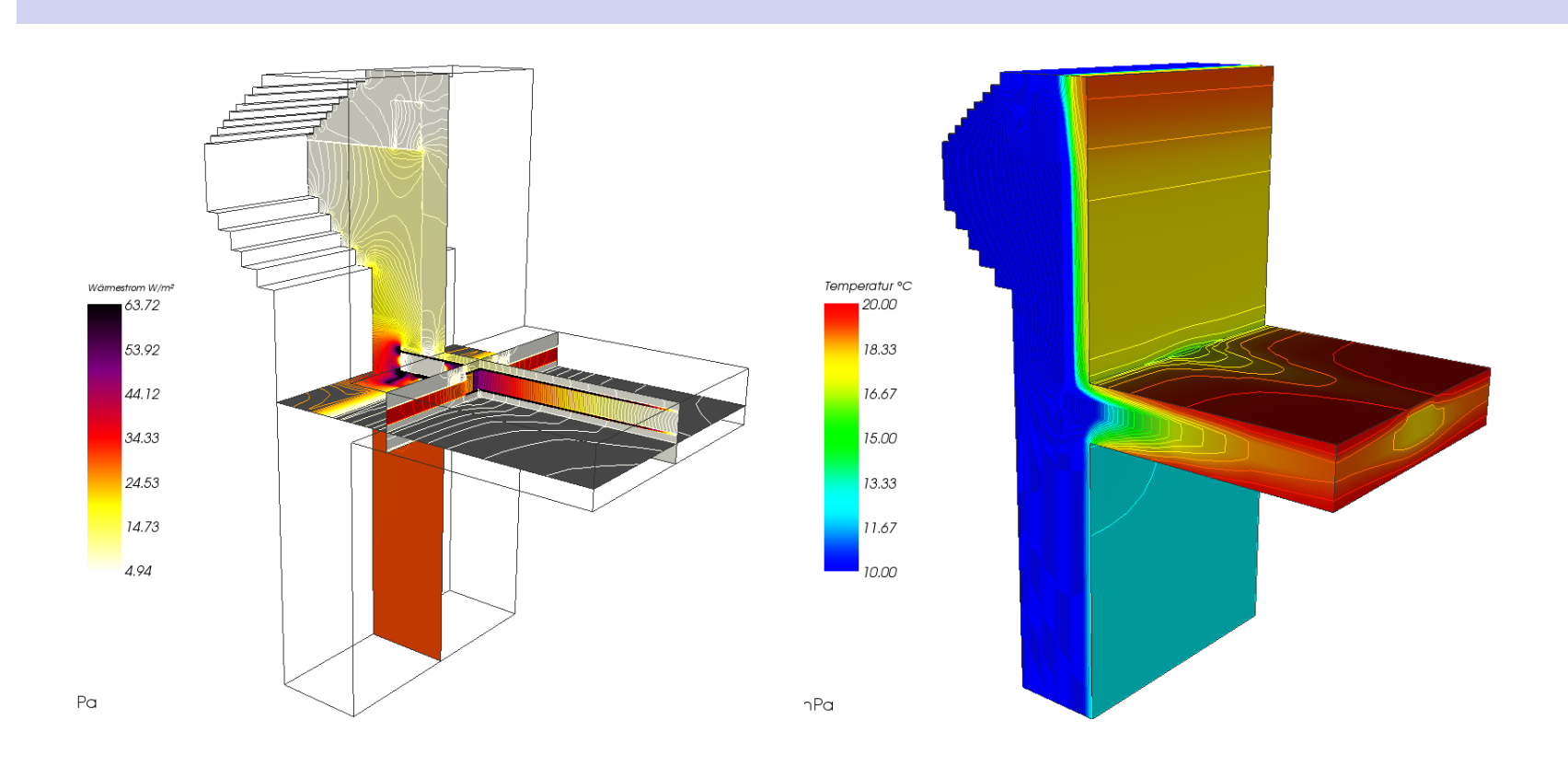


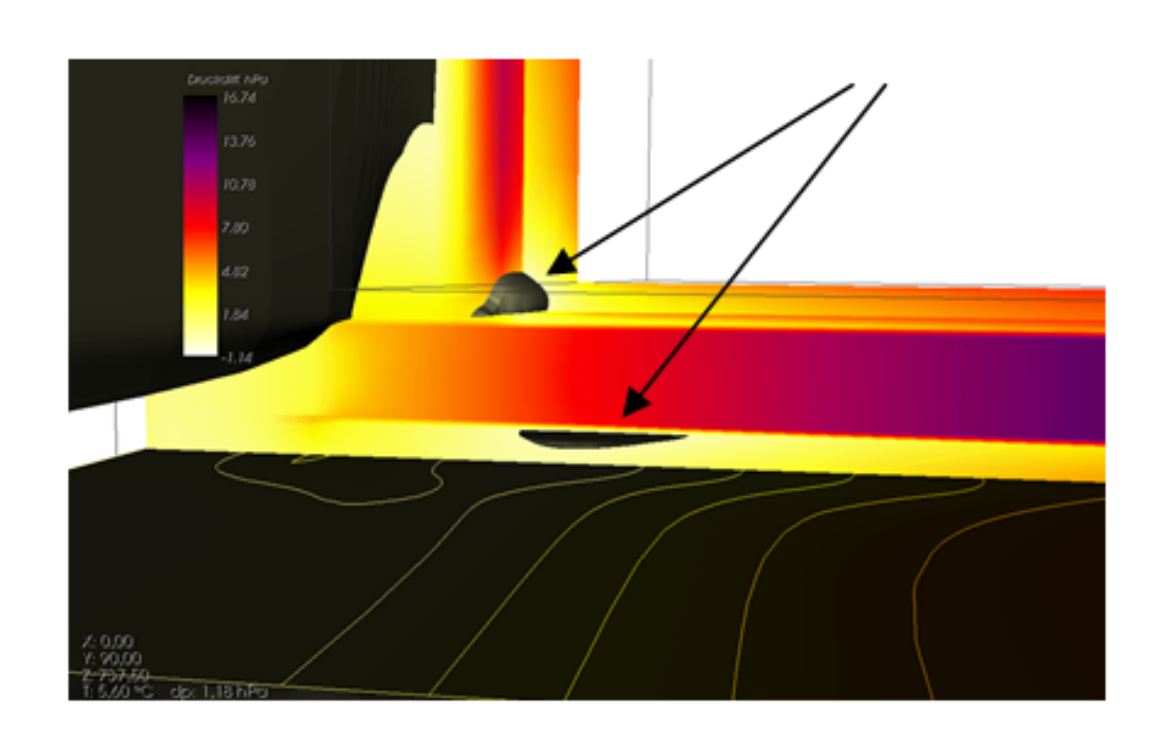
Abbildung 10: Detail C (o.M.)

Abbildung 11: Detail D (o.M.)





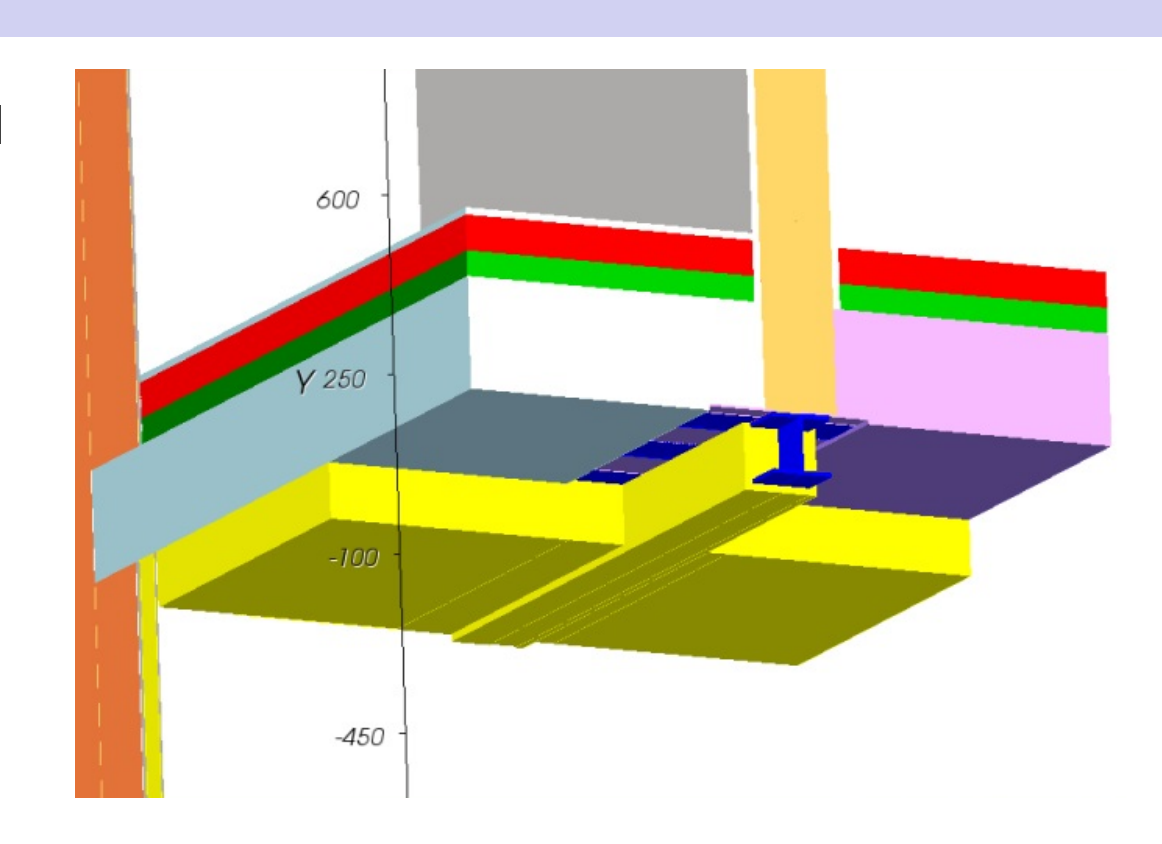




Kondensatbildung im Bereich Fußboden zu aufgehender Innendämmkonstruktion, sowie Kondensatbildung zwischen Stahlträger und Dippelbaumdecke

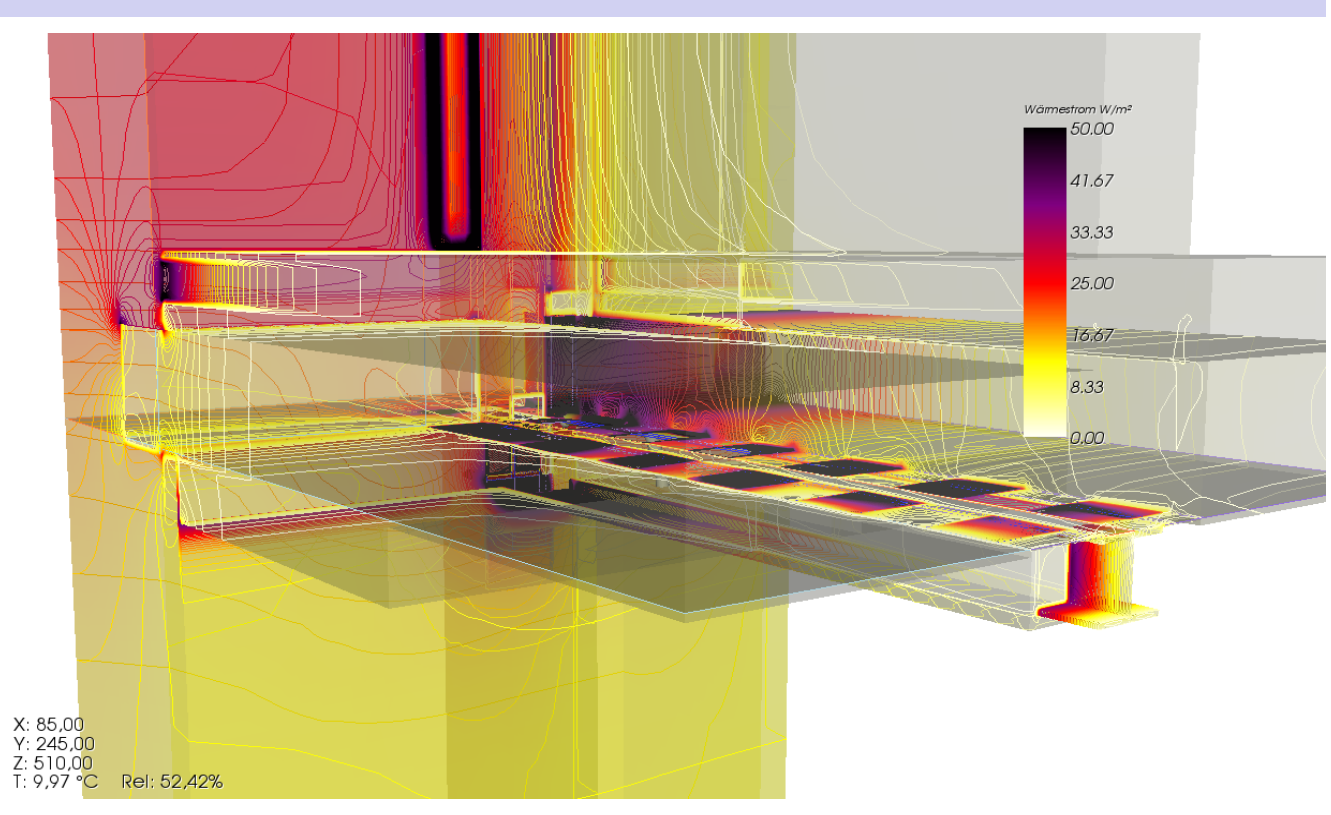


Anschlussdetail





Anschlussdetail





Berechnung von Wärmetransportkennwerten

$$R = \frac{1}{\alpha_i} + \frac{s_1}{\lambda_1} + \frac{s_2}{\lambda_2} + \frac{s_3}{\lambda_3} + \frac{1}{\alpha_e}$$

$$\frac{1}{U} = R_T = \frac{1}{\alpha_i} + R + \frac{1}{\alpha_e}$$

$$U = \frac{1}{R_T} = \frac{1}{\frac{1}{\alpha_i} + R + \frac{1}{\alpha_e}}$$

$$\lambda_j$$
 Wärmeleitfähigkeit

$$\frac{1}{\alpha_e} \frac{1}{\alpha_i}$$
 Übergangswiderstand



Kernkondensation

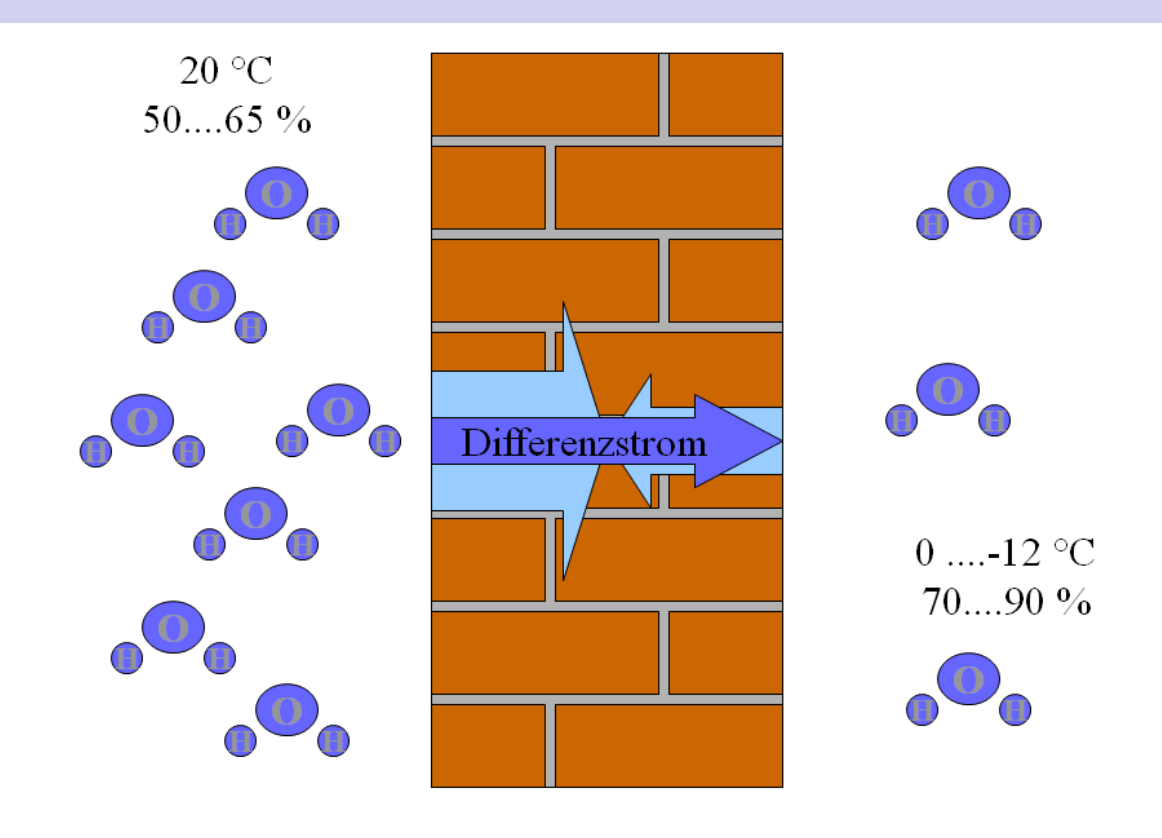
- Kernkondensat ist Kondenswasser, das in einem Bauteil auftritt.
- ■Die Wasserdampfdiffusion durch einen porösen Körper ist die Ursache für diese Art der Feuchtigkeitsanreicherung in Bauteilen.
- Der Transport des Wasserdampfes erfolgt vom höheren zum niedrigeren Wasserdampfteildruck.



Kernkondensation

- Im Winter treten durch die Raumbeheizung relativ große Partialdruckdifferenzen zwischen der Innen- und Außenluft auf.
- Zur Kondensation von Wasserdampf kommt es jedoch nur, wenn der Wasserdampfteildruck an einer Stelle im Bauteil den Wasserdampfsättigungsdruck erreicht.





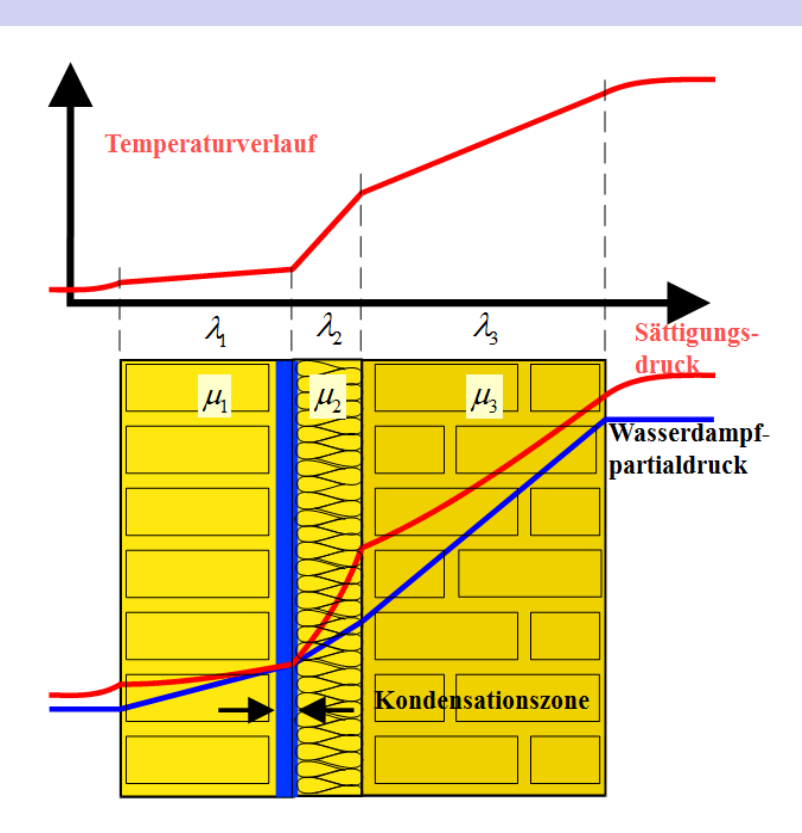


Einflussgrößen

- Wasserdampfdiffusion (Diffusionswiderstandszahl, äquivalente Luftschichtstärke)
- •Kapillarer Wassertransport (Wasseraufnahme-, Wassereindringkoeffizient, kapillare Leitfähigkeit, Feuchtespeicherung, Sorptionsisotherme)
- Wärmetransport(Wärmeleitfähigkeit einzelner Schichten, Eigenschaftsänderung durch Feuchteeinfluss)

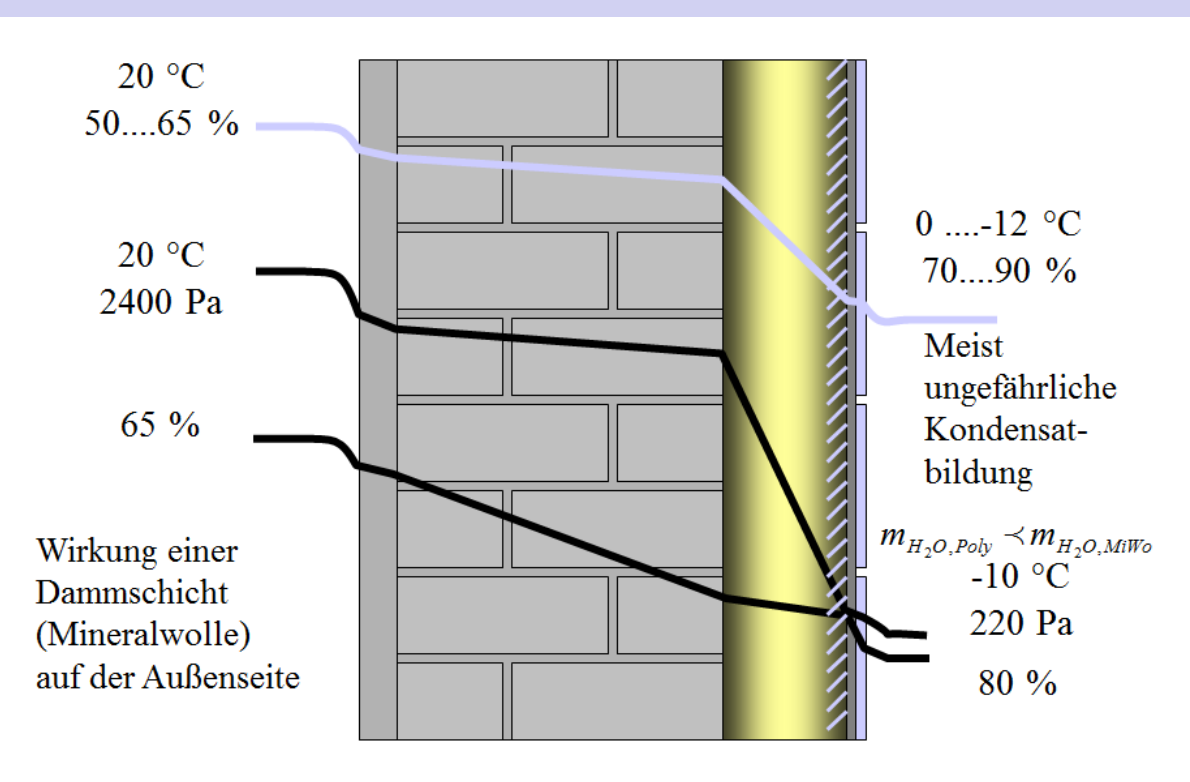


Glaserdiagramm



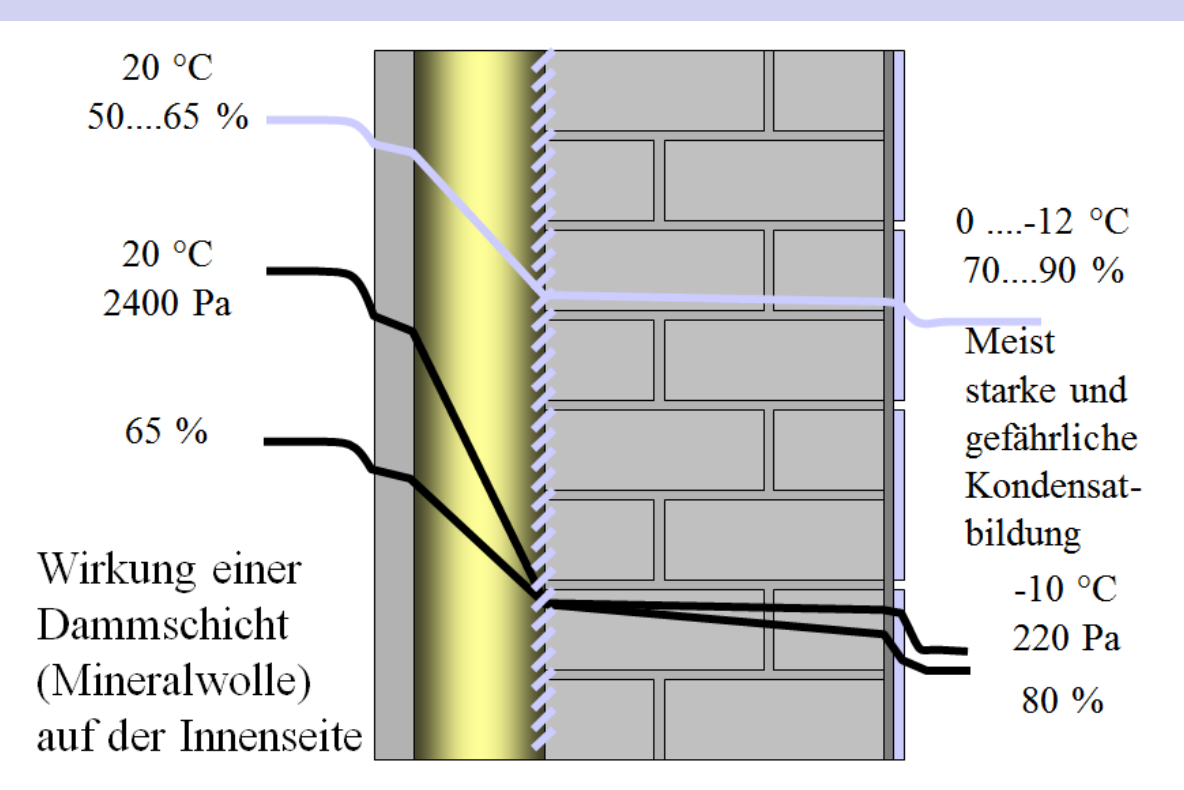


Temperatur und Dampfdurckverlauf



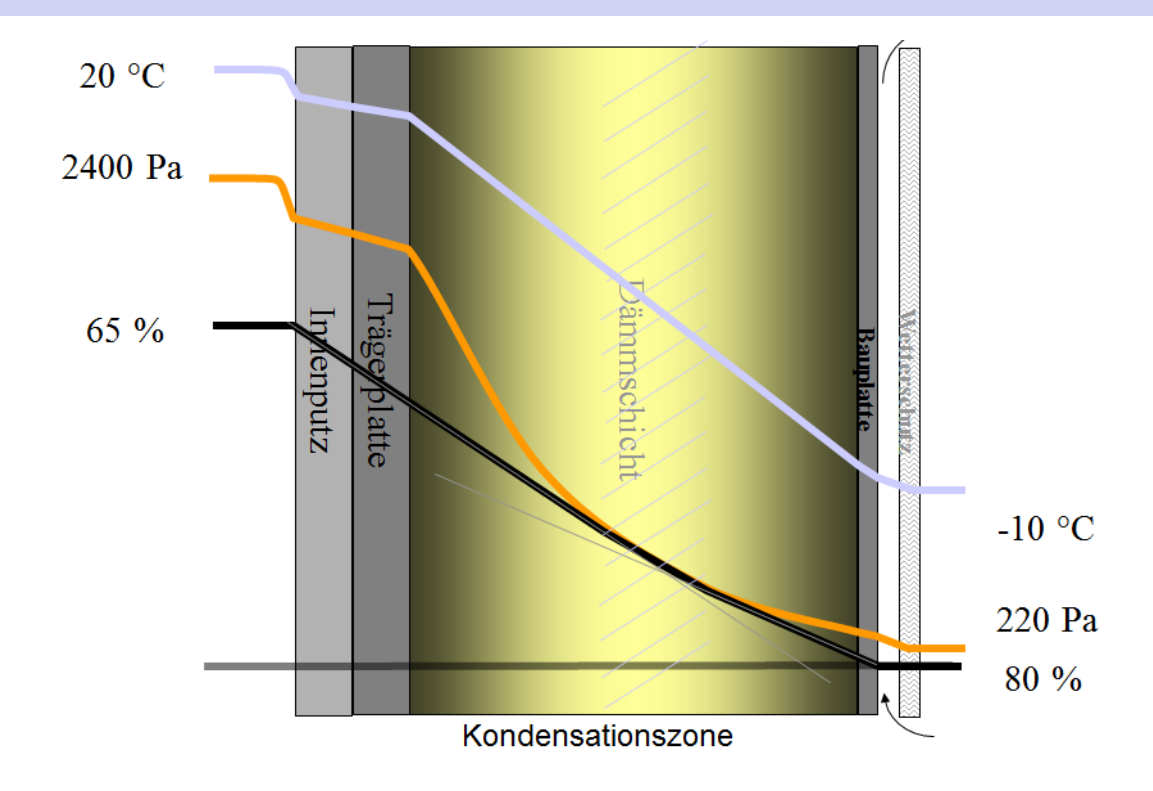


Temperatur und Dampfdurckverlauf



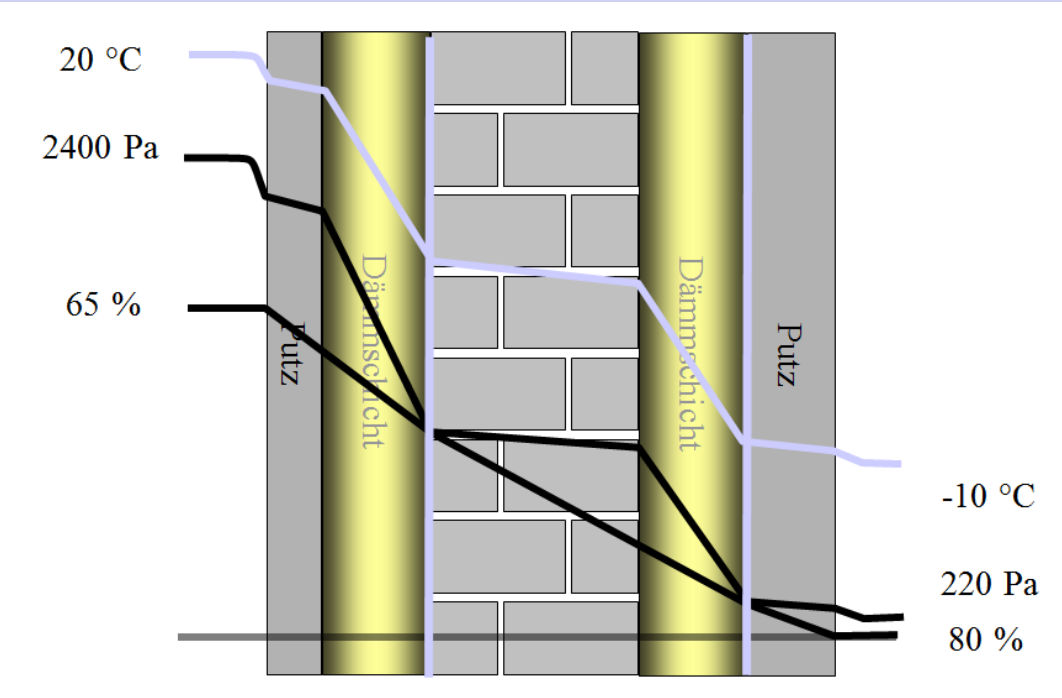


Temperatur und Dampfdurckverlauf





Temperatur und Dampfdurckverlauf



Tauwasserbildung mit zwei Kondensationsebene



Übersicht

- •Allgemeines
- ■Porenstruktur von Baustoffen und ihre Eigenschafte
- Verwitterungsprozesse
- Kondensationsprozesse
- Befeuchtungsprozesse
- Deformationsprozesse



Befeuchtungsprozesse

- Befeuchtungsmechanismen
- Oberflächentemperaturen
- Kapillare Wasseraufnahme
- Wasseraufnahme durch drückende Feuchtigkeit
- Wasseraufnahme durch Kondensation
- Wasseraufnahme durch Sorption
- Hygroskopische Wasseraufnahme
- Bewitterung



Befeuchtungsmechanismen

- Kapillare Wasseraufnahm
- ■Wasseraufnahme durch drückende Feuchtigkeit
- Wasseraufnahme durch Kondensation
- Wasseraufnahme durch Sorption
- Hygroskopische Wasseraufnahme





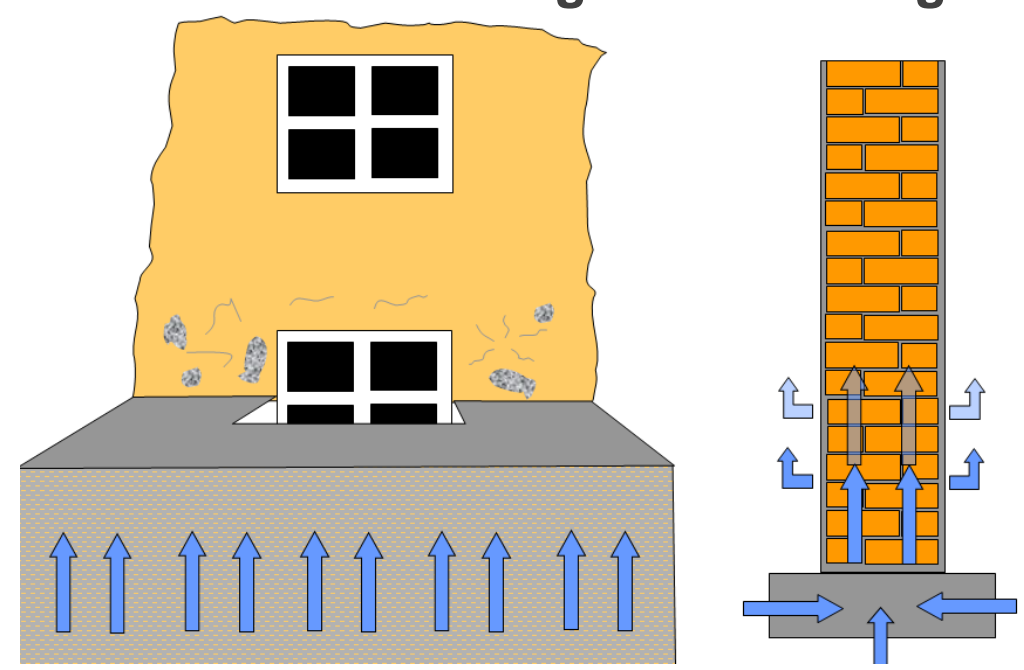




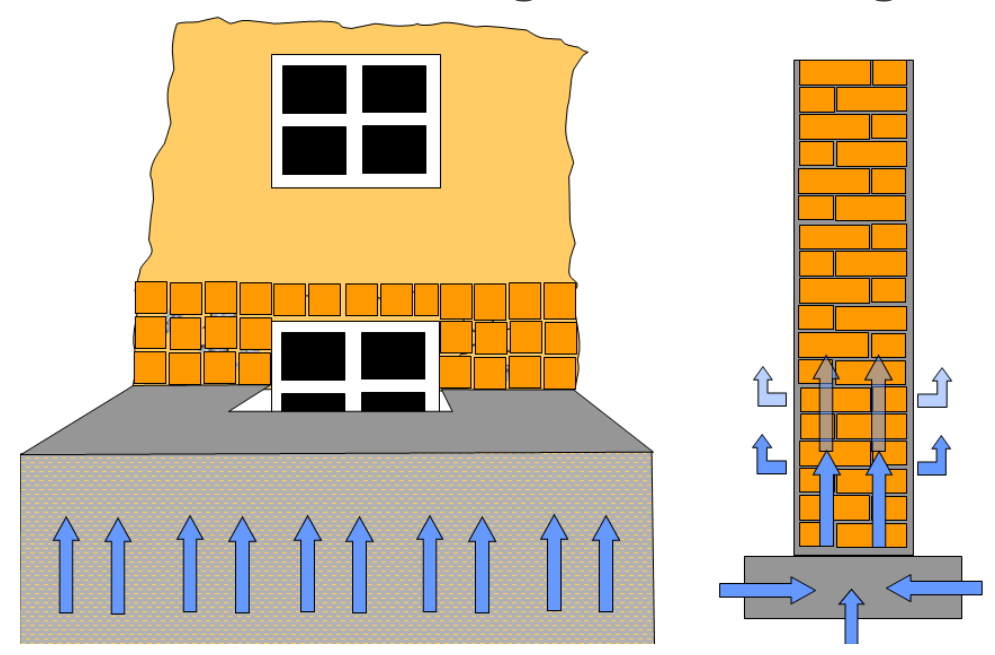




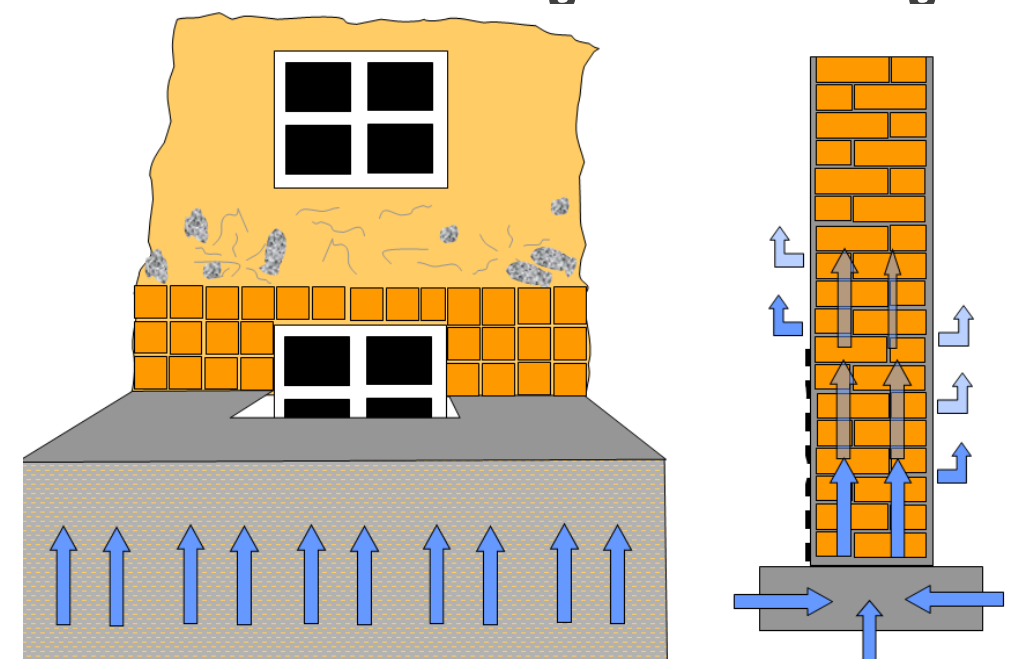






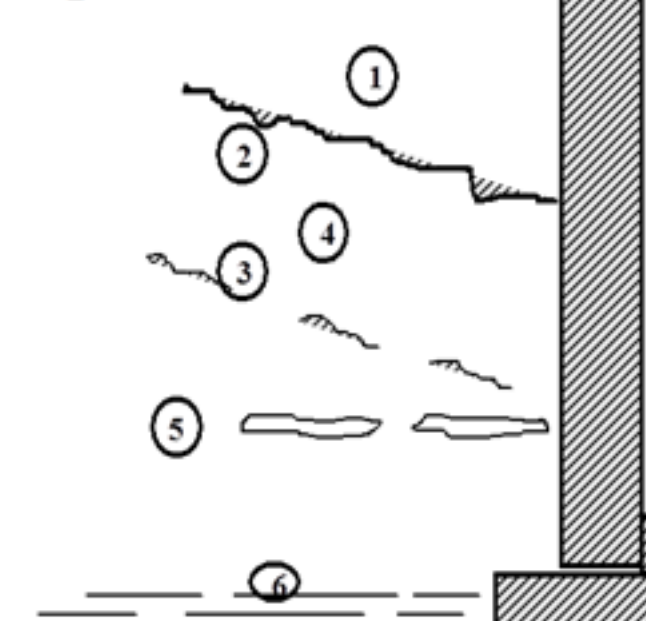












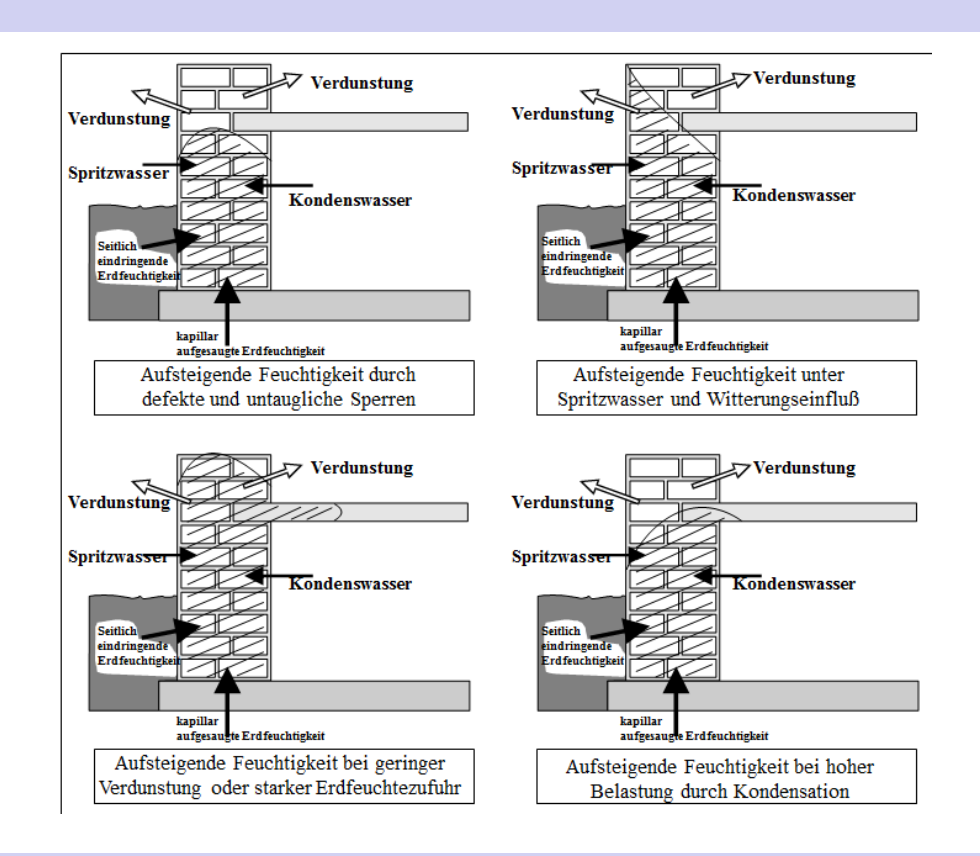
- 1 Oberflächenwasser
- 2 Sickerwasser
- 3 Stau- und Hangwasser
- 4 Kapillar- und Haftwasser
- 5 Schichtenwasser
- 6 Grundwasser



Seitlich ins Mauerwerk eindringende Feuchte

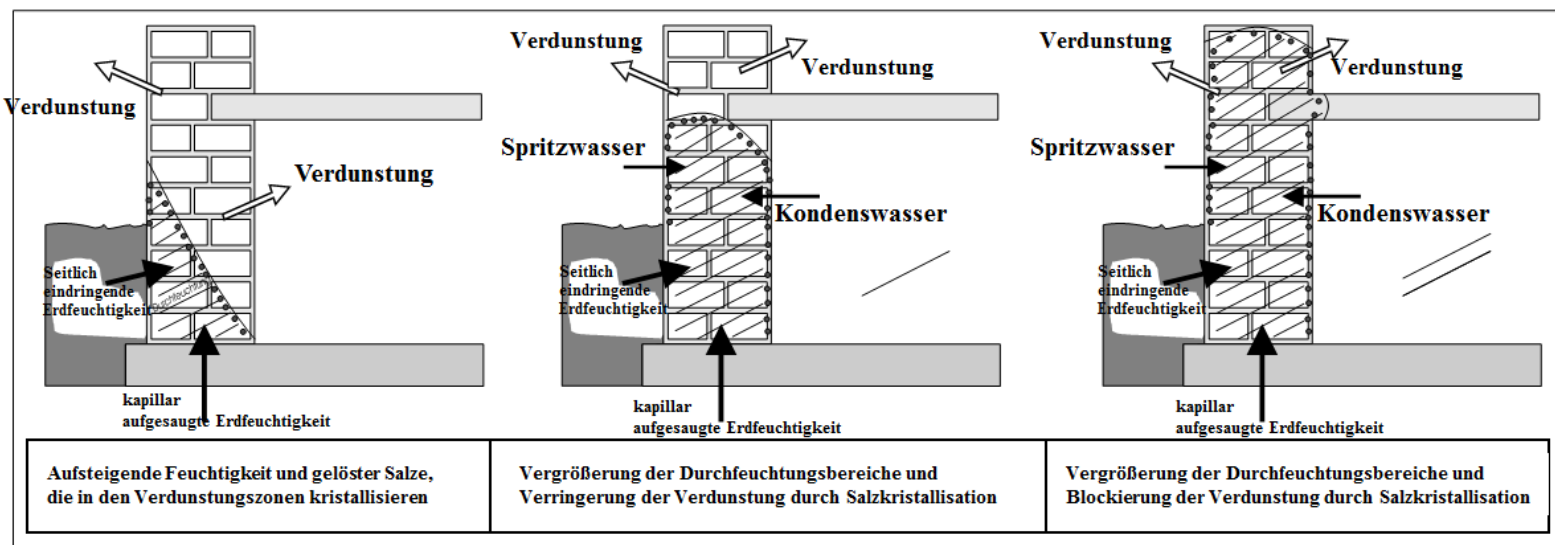








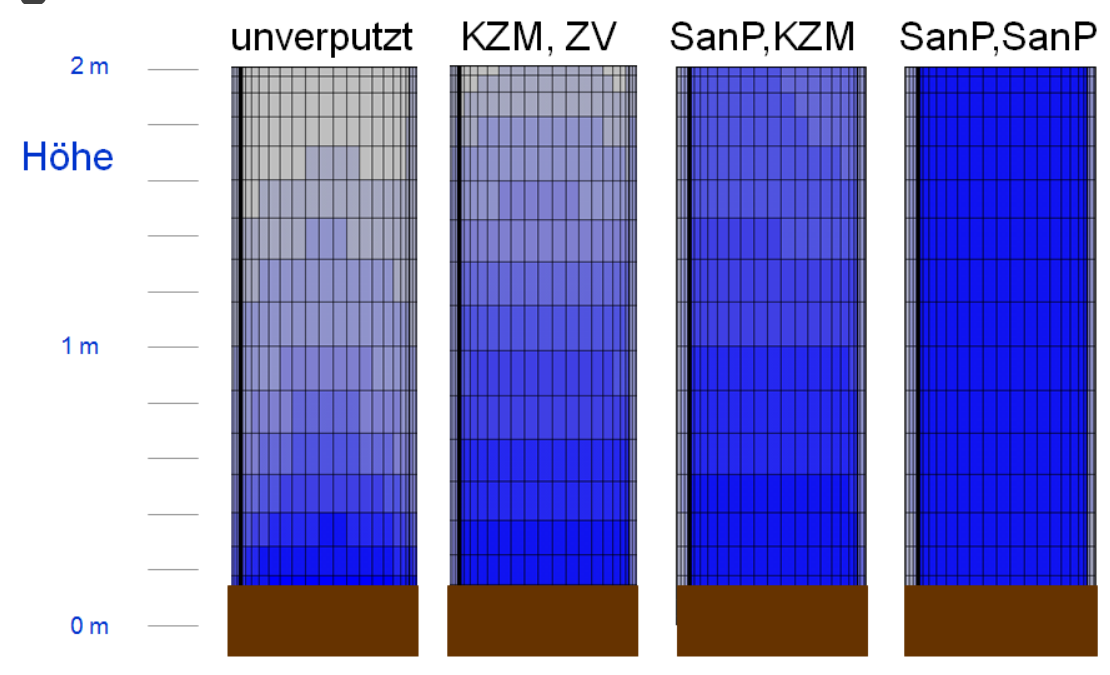
Schadensentwicklung – Feuchtigkeits- und Salztransport



Schematische Darstellung der Schadensentwicklung durch die Wechselwirkung von Feuchtigkeits- und Salztransport in der Wand

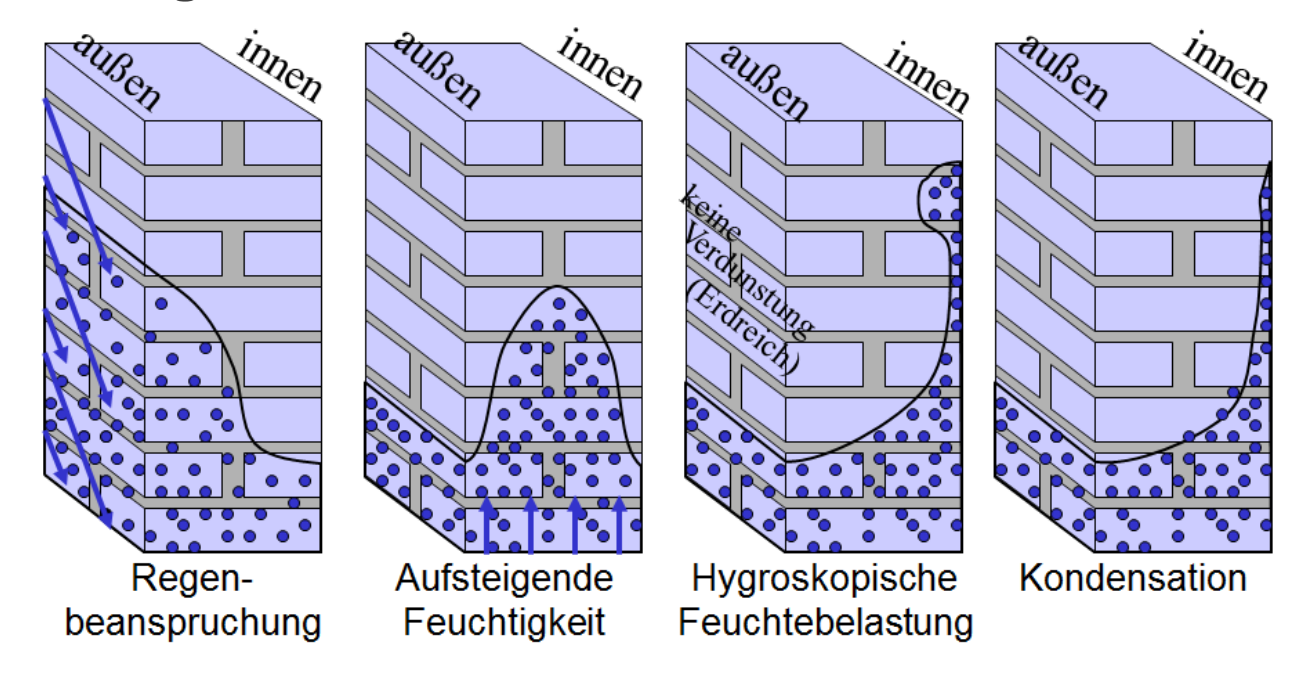


Beispiel: Aufsteigende Mauerfeuchte





Beispiel: Aufsteigende Mauerfeuchte

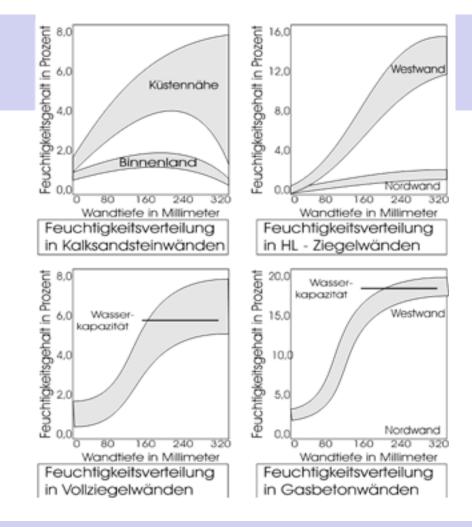




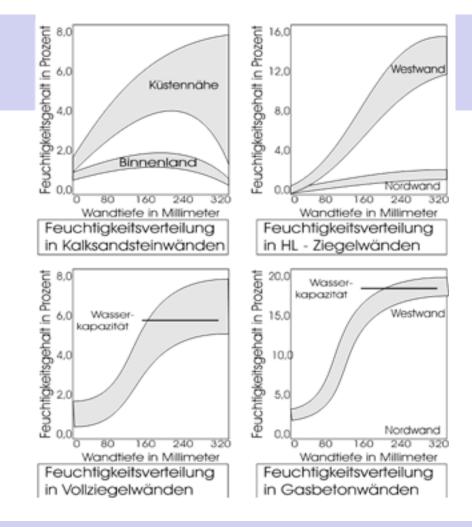
Bewitterung

- Ursachen und Erscheinungsform von eindringendem Regenwasser
- Wasseraufnahme
- Wasserabgabe durch Verdunstung und Diffusion



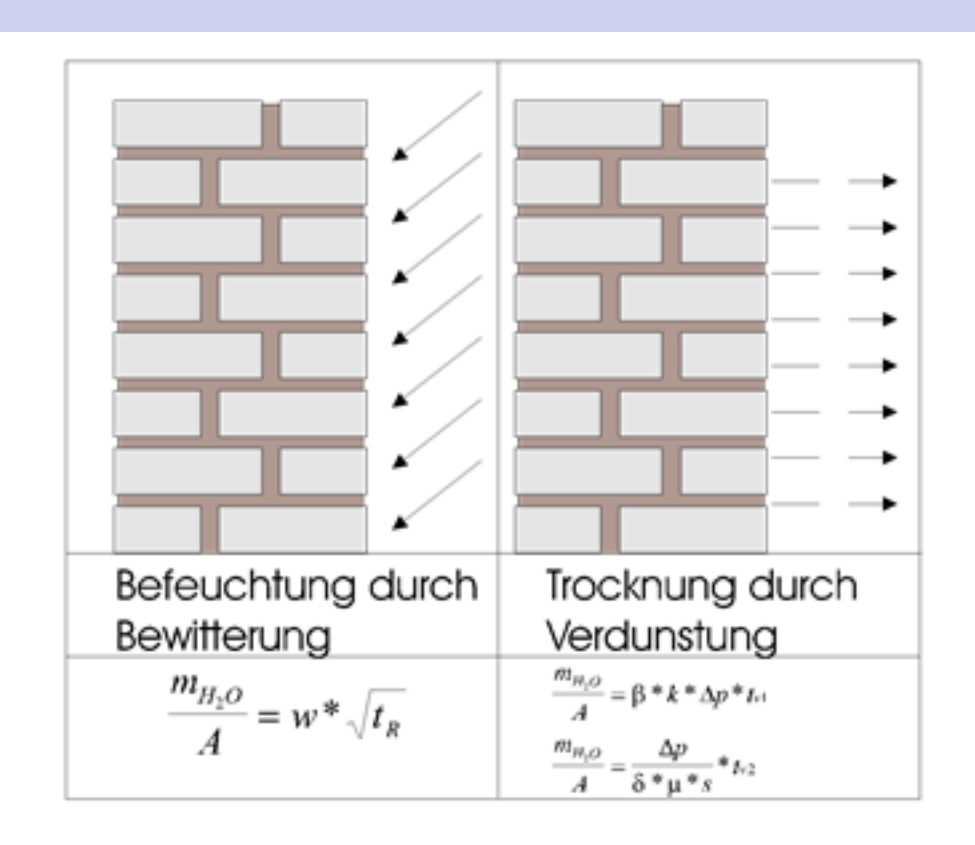






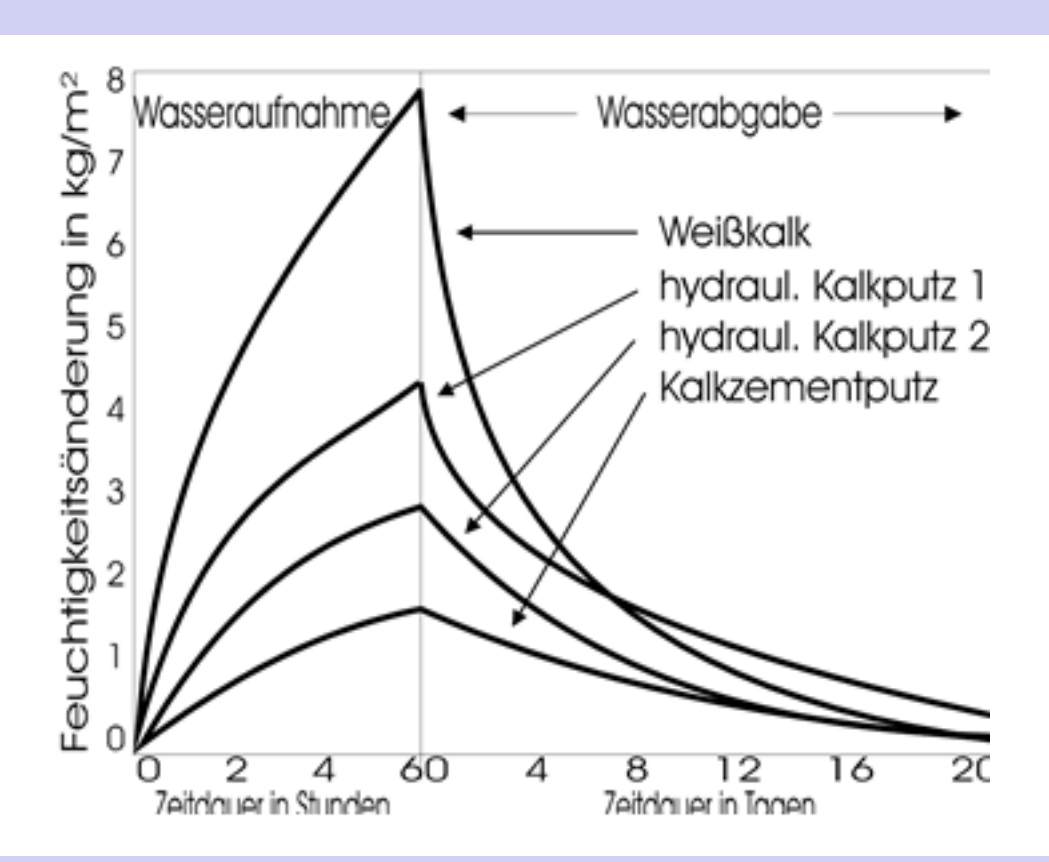


Feuchtebilanz von Fassaden





Wasseraufnahme und Feuchtigkeitsabgabe von Außenputzen





Wasseraufnahme und Feuchtigkeitsabgabe von Außenputzen

Zusammenfassend ergeben sich daraus für die Kennzeichnung der Wasseraufnahmefähigkeit von Baustoffen folgende Gruppeneinteilung

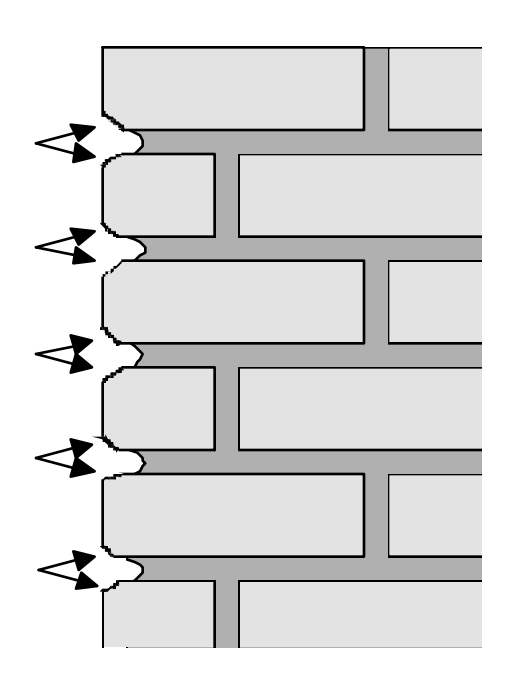
$$\begin{split} &w \leq 2.0 \; kg \; / \left(m^2 \cdot \sqrt{h}\right), \; s_d \leq 2.0 \; m \quad \text{wasserhemmend,} \\ &w \leq 0.5 \; kg \; / \left(m^2 \cdot \sqrt{h}\right), \; s_d \leq 2.0 \; m \quad \text{wasserabweisend,} \\ &w \leq 0.001 \; kg \; / \left(m^2 \cdot \sqrt{h}\right) \quad \text{wasserdicht.} \end{split}$$

Für fassadentaugliche Beschichtungen sollten folgende Bedingungen erfüllt sein

$$w \le 0.5 \ kg / (m^2 \cdot \sqrt{h}), \ s_d \le 2.0 \ m \ s_d \cdot \mu = 0.1 \ \frac{kg}{m \cdot \sqrt{h}}$$

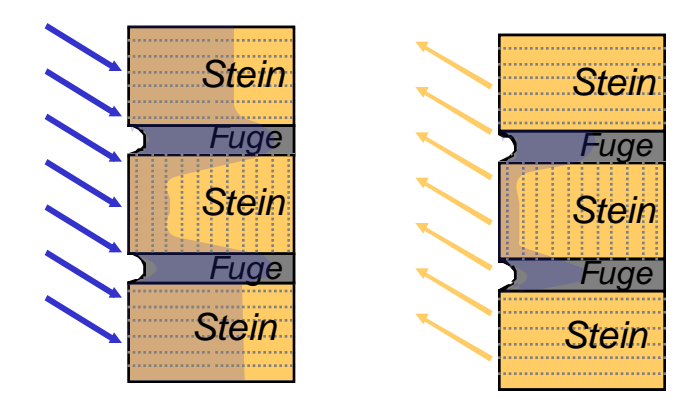


Kantenverwitterung



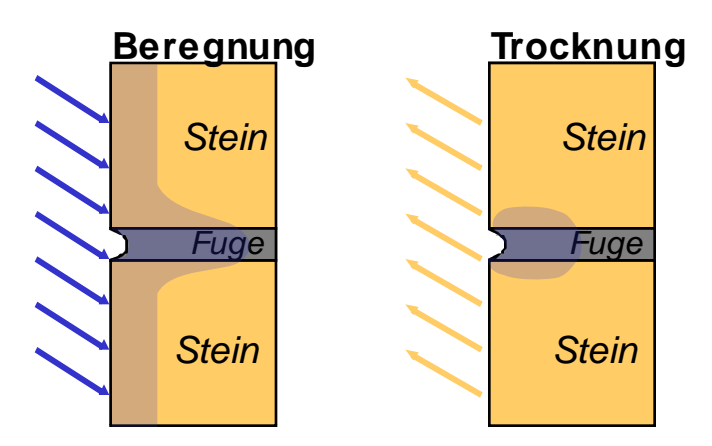
Schematische Darstellung der Kantenverwitterung an Mauerwerk als Folge der hygrischen Belastung im Bereich Stein-Fuge





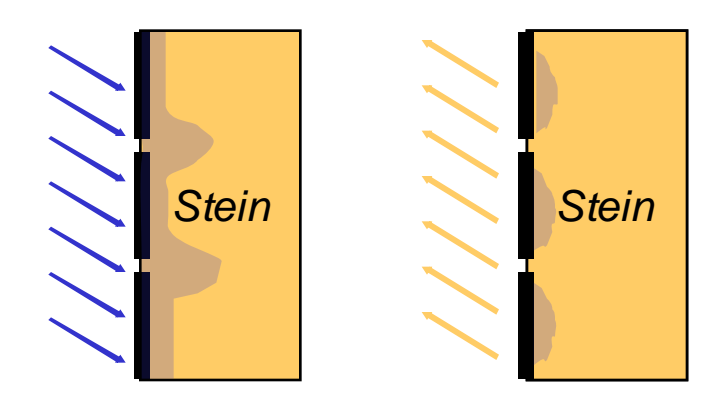
Anisotropie bei Sandsteinen und Bildung von Feuchtigkeitsnestern





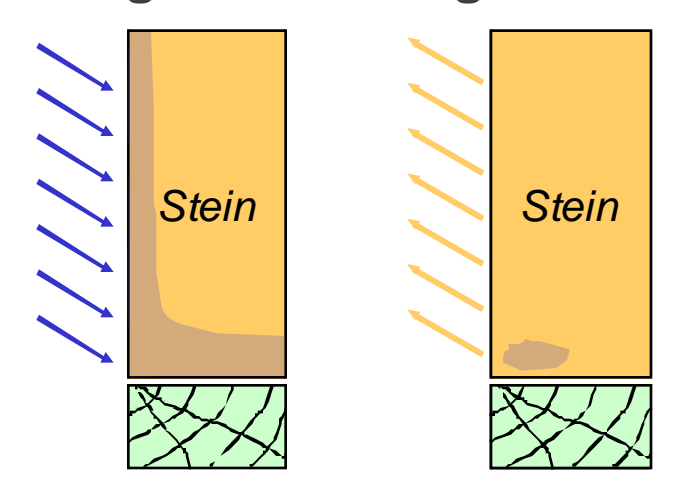
Fugenwirkung und Bildung von Feuchtigkeitsnestern





Oberflächenverkleidung und Bildung von Feuchtigkeitsnestern

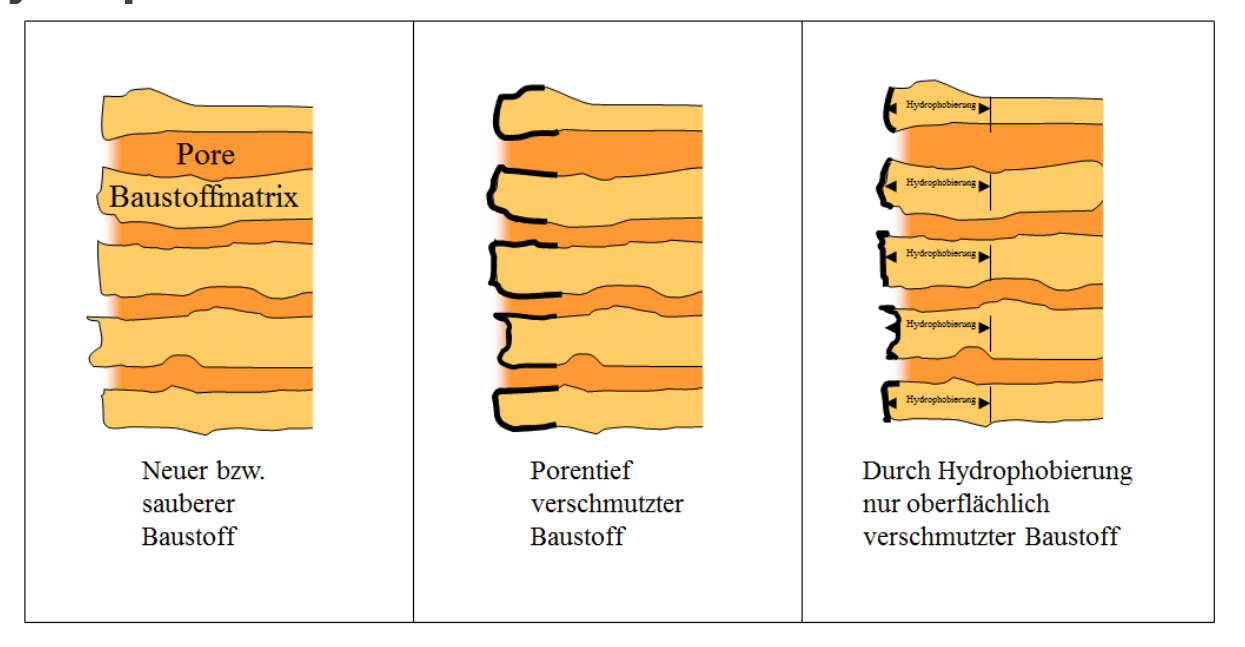




Wasseraufnahme bei Fachwerk und Bildung von Feuchtigkeitsnestern

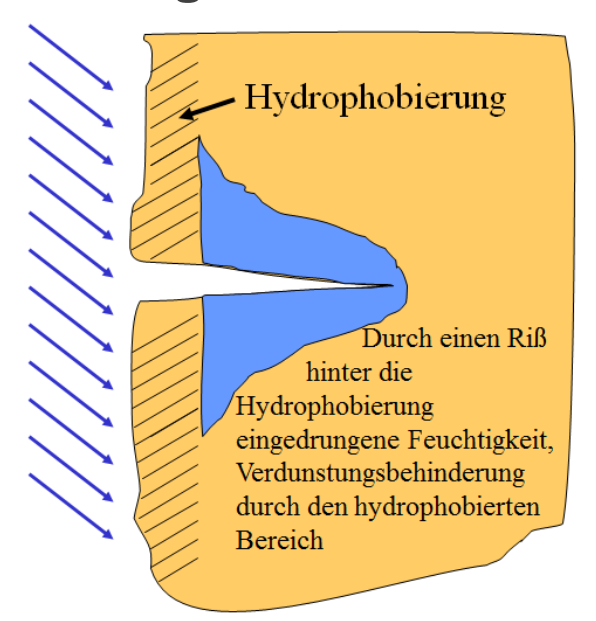


Verschmutzung eines nicht hydrophobierten und eines hydrophobierten Baustoffs

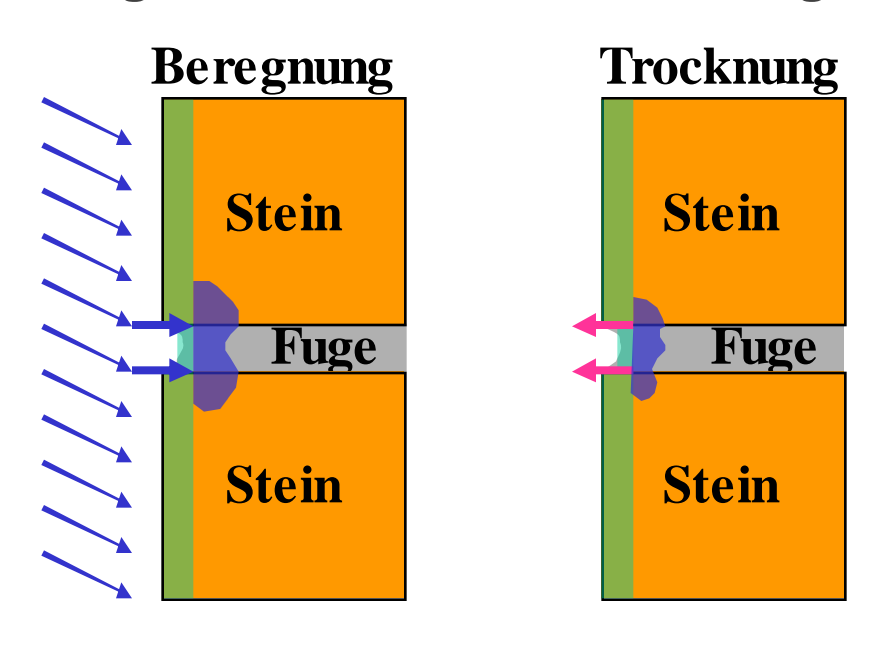




Hinterwanderung einer Hydrophobierung durch einen Riss bei Schlagregenbelastung

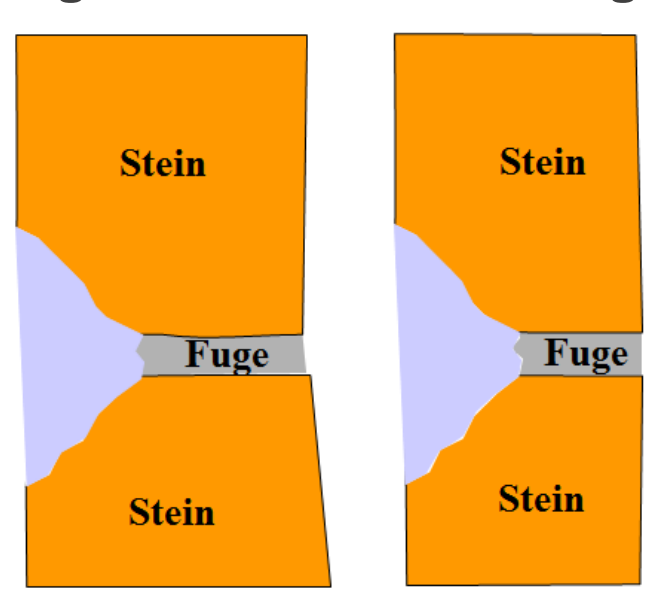






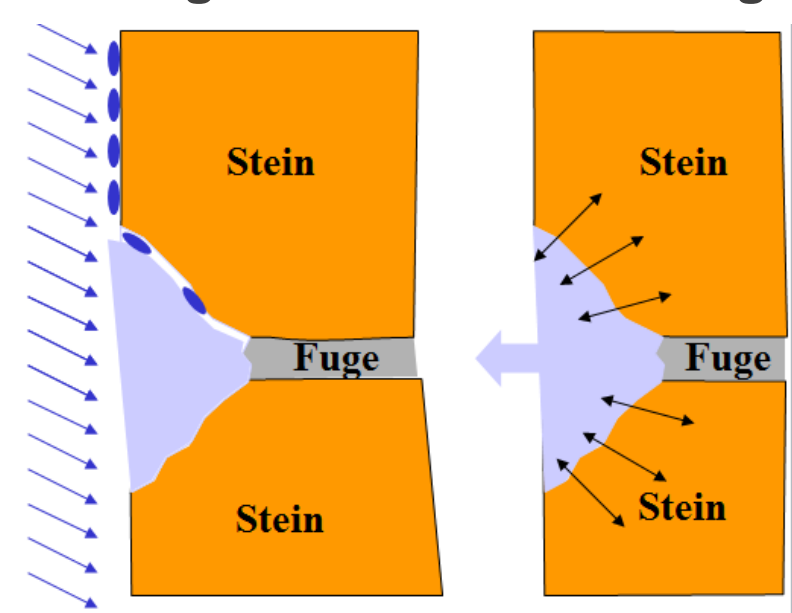
Ausbildung von Feuchtigkeits-Anreicherungen im Bereich von Fugen bei einer Oberflächen-Hydrophobierung





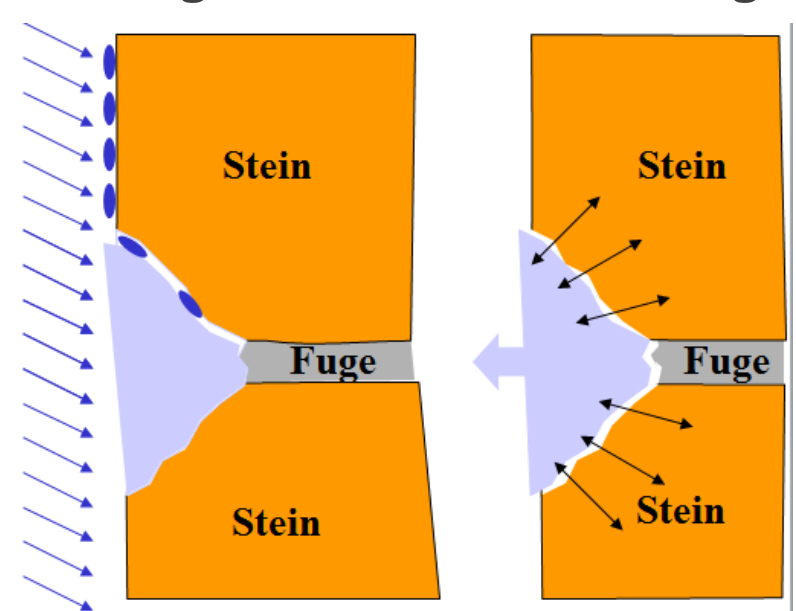
Wasseranreichernde Wirkung einer unrichtig sanierten Fuge





Wasseranreichernde Wirkung einer unrichtig sanierten Fuge





Wasseranreichernde Wirkung einer unrichtig sanierten Fuge



Übersicht

- •Allgemeines
- ■Porenstruktur von Baustoffen und ihre Eigenschafte
- Verwitterungsprozesse
- Kondensationsprozesse
- Befeuchtungsprozesse
- Deformationsprozesse



Deformationsprozesse

- ■Thermische Formänderungsprozesse
- Hygrische Formänderungsprozesse



Thermische Formänderungsprozesse

Verändert sich die Temperatur eines Bauteils, so verändern sich durch die thermische Ausdehnung und Kontraktion die geometrischen Maße, die Längen und die Form des Bauteils. Die thermische Ausdehnung wird durch die folgenden beiden Gleichungen beschrieben:

$$\Delta l = \alpha \cdot l_0 \cdot \Delta t \qquad l = l_0 \cdot (1 + \alpha \cdot \Delta t)$$

lpha linearer Ausdehnungskoeffizient

 $l_{
m 0}$ Ausgangslänge

 Δt Temperaturveränderung



Thermische Formänderungsprozesse

Kann diese thermische Ausdehnung als Folge des eingebauten Zustandes nicht kräftefrei erfolgen, so können sogenannte thermische Spannungen auftreten. Wenn keine Ausdehnung möglich ist, erreichen diese einen Maximalwert von

$$\sigma = E \cdot \alpha \cdot \Delta t$$

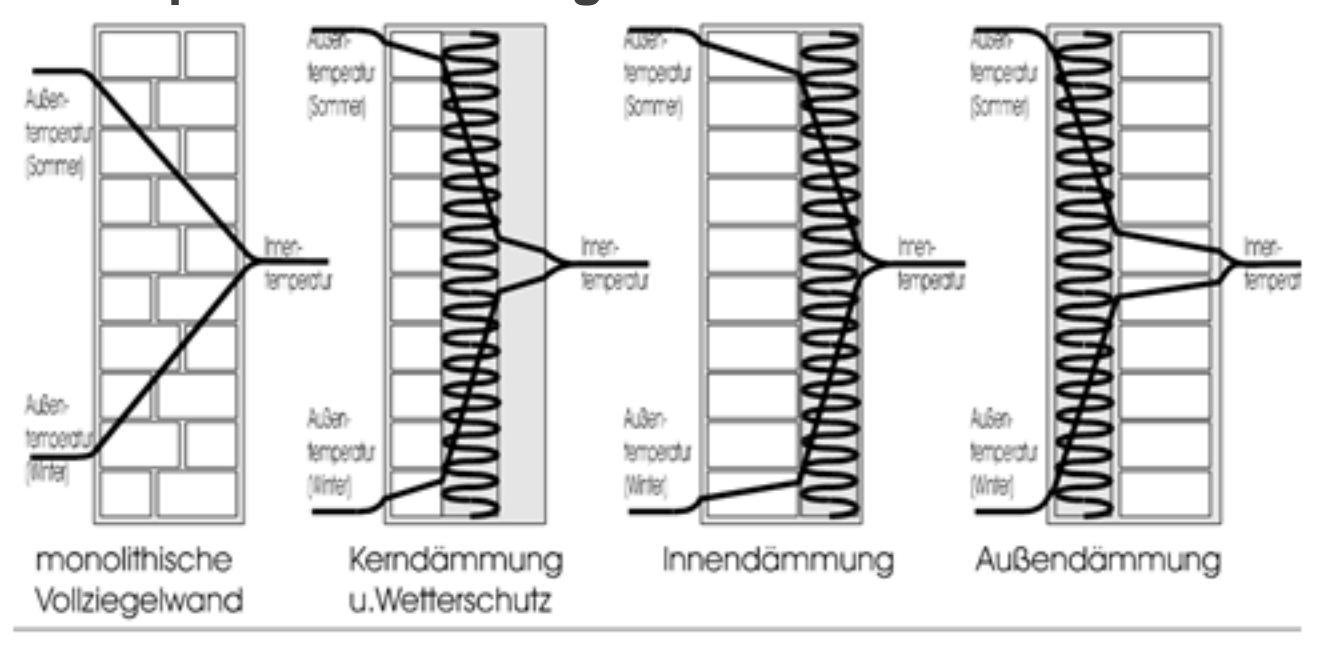
E - Elastizitätsmodel



Baustoff	Ausdehnungskoeffizient in K ⁻¹	Elastizitätsmodul E in N/mm²	
Kalkmörtel	0,000012	6000	
Zementmörtel	0,000010	20000	
Vollklinker	0,000006	15000	
Klinker	0,000005	30000	
Beton	0,000012	30000	
Porenbeton	0,00008	1000	
Kalksandstein	0,00008	15000	
Sandstein	0,000012	40000	
Kalkstein	0,000006	30000	
Granit	0,000007	20000	

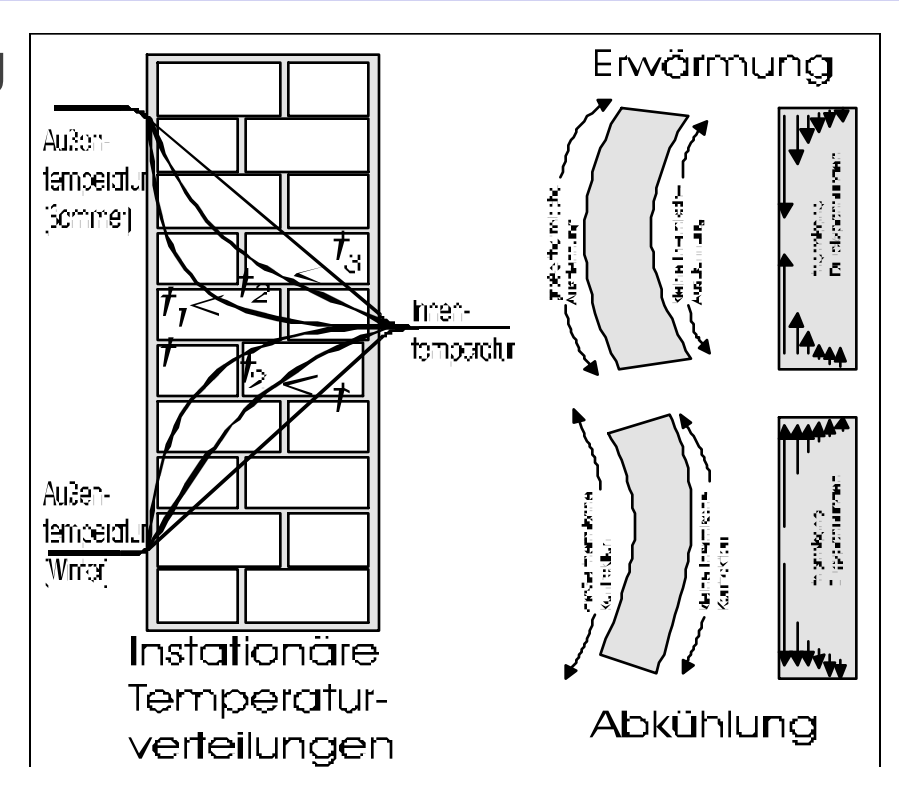


Stationäre Temperaturverteilung von Außenwänden





Verstärkung der Deformationswirkung durch instationäre Einflüsse





Wirkungen

Außenwandtyp	thermische Ausdehnung	therm. Verwölbungsverh.	
monolithische Wand	etwas gemäßigte (durch Wärmeableitung) thermische Ausdehnung und Kontraktion der Außenseite der Wand	relativ starke Verwölbung der tragenden Schicht durch große Temperaturdifferenzen	
Kerndämmung	starke Erwärmung und Abkühlung der Wetterschutzschicht, geringe Temperaturbelastung der tragenden Schicht, große Längendifferenzen zwischen tragender Schicht und Wetterschutzschicht	Geringe Verwölbung der tragenden Schicht und der Wetterschutzschicht	
Innendämmung	starke Erwärmung und Abkühlung der tragenden Schicht, starke Temperaturbelastung und starkes thermische Arbeiten	Geringe Verwölbung der tragenden Schicht	
Außendämmung	starke Erwärmung und Abkühlung der Putzschichten und starke Temperaturbelastung und starkes thermische Arbeiten, geringe Temperaturbelastung der tragenden Schicht	Geringe Verwölbung der tragenden Schicht	



Hygrische Formänderungsprozesse

Analog zu der thermischen Belastung und der dadurch hervorgerufenen Formveränderung bzw. Spannungsbelastung ruft auch die Einlagerung von Feuchtigkeit und die Trocknung Quell- und Schwindvorgänge hervor. Zur Beschreibung der hygrischen Formveränderungsvorgänge benutzt man folgenden Zusammenhang:

$$\Delta l = \varepsilon_F \cdot l_0$$

 \mathcal{E}_F .. relative Dehnung bei Sättigung des Baustoffs mit Feuchtigkeit



Hygrische Formänderungsprozesse

Im allgemeinen wird nur die Dehnung bei Sättigungsfeuchtigkeit verwendet. Ein vom Feuchtigkeitsgehalt abhängigen hygrischen Ausdehnungskoeffizienten wird weniger benutzt.

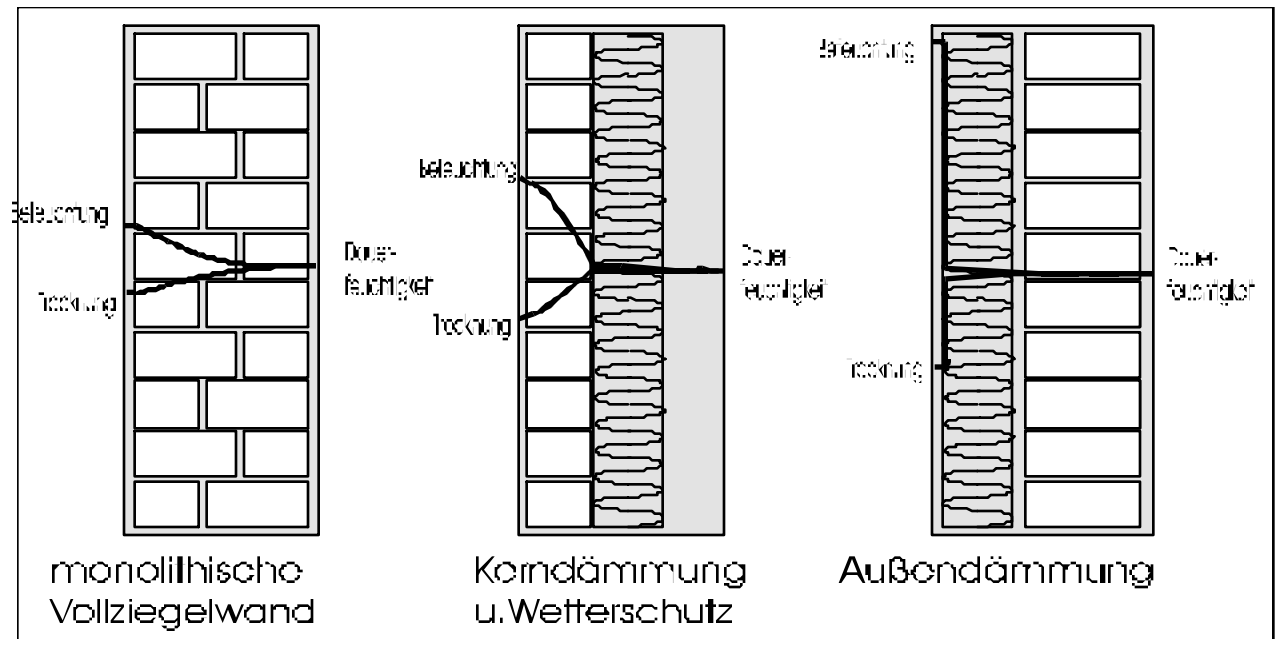


Quell- und Schwindmaße für Baustoffe

Baustoff	Quell- und Schwindmaß $arepsilon_{F}$ in mm/m
Beton	0,050,140,2
Leichtbeton	0,20,30,81,0
Gassilikatbeton	0,2
Gips	0,08 . 0,5
Holzbeton	3,05,0
Sandstein	0,03 6,0
Ziegel	0,12
Epoxidharz	0,010,02
Polyesterharz	0,02 0,025



Feuchtigkeitsverteilung von Außenwänden





Wirkungen

Außenwandtyp	hygrische Ausdehnung	hygr. Verwölbungsverhalten		
monolithische Wand	gemäßigte (durch Feuchtigkeitsableitung) hygrische Ausdehnung und Kontraktion der Außenseite der Wand	geringfügige Verwölbung der tragenden Wand		
Kerndämmung	stärkere Befeuchtung und Trocknung der Wetterschutz- schicht, da durch die Wärmedämmschicht die Feuchtigkeitslast nicht mehr "abgepuffert" wird.	Geringe Verwölbung der Wetterschutzschicht		
Außendämmung	starke Befeuchtung und Trocknung der Putzschichten und Bekleidungen, da durch die Wärmedämmschicht keine "Abpufferung" mehr erfolgt.			



Maximale Druck- und Zugfestigkeit von Baustoffen

Baustoff	Elastizitätsmodul in N/mm²	Druckfestigkeit in N/mm²	Zugfestigkeit in N/mm²
Mauerziegel	15000 - 20000	10 - 35	2
Klinker	20000 - 40000	45 - 75	5 - 10
Beton	20000 - 40000	45	3,5
Zementmörtel	20000	10	1 - 2
Mörtelgruppe III	8000 - 15000	10	1 - 2
Mörtelgruppe II	6000	2 - 5	0,3
Mörtelgruppe I	6000	1	≈ 0



Maximalspannung - Temperatur

•Unterliegen Baustoffe einer Temperaturveränderung ohne das sie sich thermisch ausdehnen können, da sie im Gebäude oder Steinverband eingebaut sind, entwickeln sich laut Gleichung die Maximalspannung

$$\sigma_{\Lambda t} = E \cdot \alpha \cdot \Delta t$$



Maximalspannung - Feuchtigkeit

Ist ein Baustoff mit Feuchtigkeit gesättigt ohne das sich der hygrische Quellvorgang durch einen eingebauten Zustand vollziehen kann, so entwickeln sich die folgende hygrischen Spannungen:

$$\sigma_F = \varepsilon_F \cdot E$$



Maximalspannung – Kombination Temperatur und Feuchtigkeit

■Wirken sowohl Temperatur- als auch Feuchte-Belastungen zur gleichen Zeit, können sich beide Effekte überlagern:

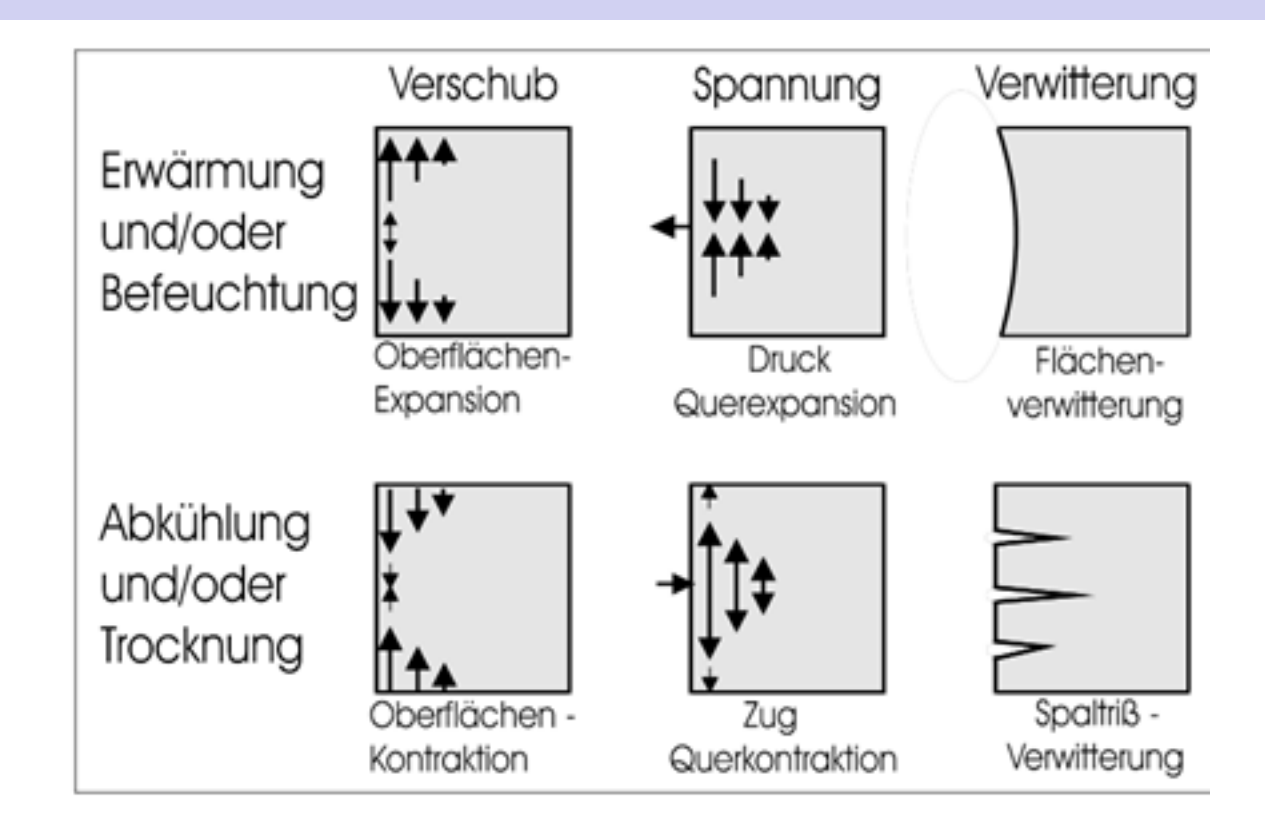
$$\sigma_{\max} = \sigma_{\Delta t} + \sigma_F = E \cdot (\alpha \cdot \Delta t + \varepsilon_F)$$



Maximale Spannungen in Baustoffen - Verwitterungsverhalten

Baustoff	Zugf.in	E-Modul	αin	α·10° in	$\varepsilon_{\scriptscriptstyle F}$ in	$E(\alpha\Delta t + \varepsilon_F)$	Verwitterung
	N/mm²	in	mm/m*K		mm/	in	
		N/mm²		mm/m	m	N/mm²	
Kalkmörtel	0,3	6000	0,012	0,12	0,40	3,1	stark
Zementm.	1,5	20000	0,010	0,10	0,20	6	stark
Gasbeton	0,3	1000	0,008	0,08	0,40	0,48	stark
Ziegel	2	15000	0,006	0,06	0,07	2	gering
Beton	3,5	30000	0,012	0,12	0,14	7,8	mittel
Kalksand-	0,8	10000	0,008	0,08	0,10	1,8	mittel
stein							
Sandstein	6	30000	0,011	0,11	0,30	13	mittel
Kalkstein	8	30000	0,006	0,06	0,10	5	gering
Granit	10	10000	0,007	0,07	0,08	1,5	gering







Schadensbilder von Putzschichten

